

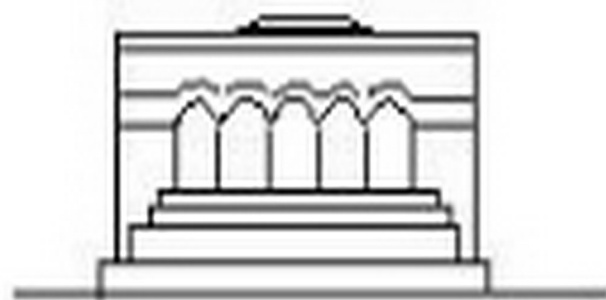
ՄԵԽԱՆԻԿԱ



МЕХАНИКА



MECHANICS



1971

Г. А. БАБАДЖАНЫН, А. Е. ДАНИЕЛЯН

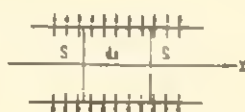
НЕУСТАНОВИВШЕЕСЯ ДВИЖЕНИЕ РЕАЛЬНОГО ГАЗА В ЦИЛИНДРИЧЕСКОЙ ТРУБЕ С ПРОНИЦАЕМЫМИ СТЕНКАМИ

Решение задачи о неустановившемся движении реального газа по длинному газопроводу с учетом пористости газопровода имеет большое теоретическое и практическое значение.

В настоящей работе при помощи численных методов исследуется нестационарное движение реального газа в цилиндрической трубе с проницаемыми стенками. Определяются законы распределений давления, скорости и плотности, а также изменение расхода газа в газопроводе, в зависимости от заданного закона расхода в конце газопровода.

§ 1. Дифференциальные уравнения движения. Начальные и граничные условия

Рассмотрим нестационарное, изотермическое движение реального газа в длинном газопроводе с проницаемыми стенками. Движение газа принимается одномерным [1].



Фиг. 1.

Скорость отсоса принимаем пропорциональной давлению, то есть

$$v = \alpha p$$

где α — коэффициент пропорциональности, зависящий от степени проницаемости стенок трубы.

Задача в такой постановке описывается системой дифференциальных уравнений

$$\begin{aligned} \frac{\partial p}{\partial x} &= \frac{\xi \rho u^2}{8r_0} \\ - \frac{\partial \rho}{\partial t} &= \frac{\partial}{\partial x} (\rho u) + \frac{2\alpha \rho}{r_0} p \\ p &= \rho g R T, \quad G = g \rho u \end{aligned} \quad (1.1)$$

где p , u и ρ — соответственно средние по сечению давление, скорость и плотность газа,

ξ — безразмерный коэффициент сопротивления,

δ — гидравлический радиус сечения трубы,

K — газовая постоянная,

T — абсолютная температура,

g — ускорение силы тяжести,

r_0 — радиус трубы,

G — песовой расход,

s — площадь поперечного сечения трубы.

Требуется определить давление, плотность, скорость и расход газа в любой момент времени и любом сечении газопровода при нестационарном режиме работы, обусловленном переменным потреблением газа в сутки.

Система дифференциальных уравнений (1.1) приводится к следующему нелинейному уравнению относительно квадрата давления:

$$\frac{\partial^2 P}{\partial x^2} = \sqrt{-\frac{\xi}{4\delta gRT} \frac{1}{P} \frac{\partial P}{\partial x} \frac{\partial P}{\partial t} + \frac{aP}{r_0}} \sqrt{-\frac{4\xi}{gRT\delta} \frac{\partial P}{\partial x}} \quad (1.2)$$

где

$$P(x, t) = p^2(x, t)$$

Решим уравнение (1.2) при следующих граничных и начальных условиях:

$$\text{при } x = 0 \quad P = P_n = \text{const}$$

$$\text{при } x = L \quad \frac{\partial P}{\partial x} = -\frac{RT}{4g\delta s^2} G^2(t) \quad (1.3)$$

$$\text{при } t = 0 \quad P = P_0(x)$$

Здесь $G(t)$ — заданная функция, характеризующая закон изменения расхода в конце трубопровода;

$P_0(x)$ — функция, показывающая закон изменения квадрата давления вдоль трубопровода при стационарном режиме;

L — длина трубопровода.

§ 2. Определение функции $P_0(x)$

Стационарное одномерное движение реального газа в цилиндрической трубе с проницаемыми стенками описывается системой дифференциальных уравнений

$$\frac{dp}{dx} = \frac{\xi p^2}{8\delta}$$

$$\frac{d}{dx}(\rho u) + \frac{2\rho}{r_0} p = 0 \quad (2.1)$$

$$p = \rho gRT$$

Систему (2.1) легко привести к нелинейному обыкновенному дифференциальному уравнению второго порядка относительно квадрата давления

$$\frac{d^2 P}{dx^2} = \frac{aP}{r_0} \left| - \frac{4}{gRT^2} \frac{dP}{dx} \right| \quad (2.2)$$

Уравнение (2.2) можно привести к квадратуре.

Решение этого уравнения выражается через функцию Вейерштрасса.

Так как основная задача, то есть уравнение (1.2) решается численным методом, то считаем целесообразным уравнение (2.2) решать численно и применить результат как начальное условие для задачи (1.2) — (1.3).

Итак, стационарная задача приводится к решению уравнения (2.2) с граничными условиями

$$\begin{aligned} P &= P_n \quad \text{при} \quad x = 0 \\ P &= P_k \quad \text{при} \quad x = L \end{aligned} \quad (2.3)$$

где P_n и P_k — значения квадратов давления в начале и конце трубопровода.

Припядя уравнение (2.2) и граничные условия (2.3) к безразмерному виду, решаем методом проб и ошибок [2].

Имеем

$$\begin{aligned} P'' &= 2aP \left| - \overline{P'} \right| \\ P &= 1 \quad \text{при} \quad x = 0 \\ P &= \frac{P_k}{P_n} \quad \text{при} \quad x = 1 \end{aligned} \quad (2.4)$$

где

$$a = \frac{\lambda}{r_0} \left| \sqrt{\frac{2L^2 P_n}{gRT^2}} \right|$$

Обозначим $\left| - \overline{P'} \right| = |z|$ или $P' = -z^2$

$$P'' = -2zz'$$

Подставляя в (2.4), получаем

$$z' = -aP \frac{|z|}{z}$$

Уравнение (2.4) заменяем системой двух дифференциальных уравнений первого порядка

$$\begin{aligned} \frac{dP}{dx} &= -z^2 \\ \frac{dz}{dx} &= -aP \frac{|z|}{z} \end{aligned} \quad (2.5)$$

Обозначим $z(0)$ через l и попробуем найти два таких значения λ_1 и λ_2 ($\lambda_1 < l < \lambda_2$), чтобы

$$\text{для } \lambda_1: P(1) < \frac{P_0}{P_n}; \quad \text{для } \lambda_2: P(1) > \frac{P_0}{P_n} \quad (2.6)$$

Так как $P(1)$ есть непрерывная функция от λ , то можно методом проб быстрее сузить длину отрезка $|\lambda_1 - \lambda_2|$ и найти такое значение l , при котором $P(1)$ с желаемой точностью равняется $\frac{P_0}{P_n}$.

Решение уравнения (2.4) для различных значений α приводится в виде таблицы.

Таблица

№ №	x	$\alpha = 5,6 \cdot 10^{-8}$	$\alpha = 5,6 \cdot 10^{-6}$	$\alpha = 5,6 \cdot 10^{-4}$	$\alpha = 5,6 \cdot 10^{-3}$
		$\text{м}^3/\text{кг} \cdot \text{сек}$	$\text{м}^3/\text{кг} \cdot \text{сек}$	$\text{м}^3/\text{кг} \cdot \text{сек}$	$\text{м}^3/\text{кг} \cdot \text{сек}$
—1	—0.025	1.02121914	1.02122988	1.02278533	1.03666673
0	0.025	0.97878086	0.97877012	0.97721467	0.96333327
1	0.075	0.93634259	0.93631367	0.93198412	0.89417516
2	0.125	0.89390438	0.89386145	0.88718765	0.83008584
3	0.175	0.85146620	0.85141327	0.84280244	0.77052924
4	0.225	0.80902505	0.80896893	0.79880616	0.71503133
5	0.275	0.76658996	0.76652826	0.75517694	0.66317159
6	0.325	0.72415189	0.72409106	0.71189332	0.61457585
7	0.375	0.68171385	0.68165711	0.66893422	0.56891021
8	0.425	0.63927585	0.63922629	0.62627895	0.52587569
9	0.475	0.59683789	0.59679833	0.58390715	0.48520381
10	0.525	0.55439992	0.55437308	0.54179880	0.44665265
11	0.575	0.51196201	0.51195034	0.49993417	0.41000351
12	0.625	0.46952411	0.46952990	0.45829378	0.37505795
13	0.675	0.42708623	0.42711159	0.41685845	0.34163523
14	0.725	0.38464837	0.38469521	0.37560918	0.30957013
15	0.775	0.34221053	0.34228057	0.33452721	0.27871090
16	0.825	0.29977271	0.29986746	0.29359395	0.24891757
17	0.875	0.25733490	0.25745572	0.25279099	0.22006034
18	0.925	0.21489710	0.21504514	0.21210006	0.19201825
19	0.975	0.17245931	0.17263554	0.17150299	0.16467788
20	1.025	0.13008145	0.13022646	0.13096497	0.13779647

§ 3. Решение задачи (1.2) — (1.3)

Рассмотрим модельную задачу

$$\frac{\partial \Phi}{\partial t} = \frac{1}{M(x, t)} \frac{\partial^2 \Phi}{\partial x^2} - N(x, t) \frac{\partial \Phi}{\partial x} - H(x, t) \Phi + S(x, t) \quad (3.1)$$

$$\begin{aligned}
 \Phi(x, 0) &= f(x) \\
 \Phi(0, t) &= \varphi(t) \\
 \left. \frac{\partial \Phi}{\partial x} \right|_{x=1} &= \psi(t)
 \end{aligned}
 \quad (3.2)$$

Возьмем сетку узлов:

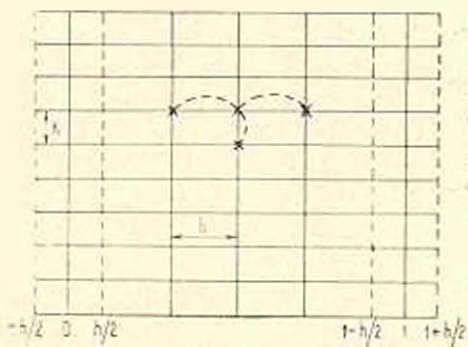
$$\begin{aligned}
 x_i &= \left(i + \frac{1}{2}\right)h; \quad t_j = jk \\
 \left(i = -1, 0, 1, 2, \dots, N; \quad j = 0, 1, 2, \dots; \quad h = \frac{1}{N}\right)
 \end{aligned}
 \quad (3.3)$$

и для внутреннего узла (i, j) запишем разностное уравнение

$$\begin{aligned}
 \frac{\Phi_{i,j} - \Phi_{i,j-1}}{k} &= \frac{1}{M_{ij}} \frac{\Phi_{i+1,j} - 2\Phi_{i,j} + \Phi_{i-1,j}}{h^2} - \\
 &- N_{ij} \frac{\Phi_{i,j} - \Phi_{i-1,j}}{h} - H_{i,j} \Phi_{i,j} + S_{i,j} \\
 (i = 0, 1, 2, \dots, N-1; \quad j = 1, 2, 3, \dots)
 \end{aligned}
 \quad (3.4)$$

аппроксимирующее уравнение (3.1) в узле (i, j) с точностью до $O(k + h^2)$.

Здесь h — шаг по переменной x , а k — шаг по переменной t .
 Схема разбиения показана на фиг. 2.



Фиг. 2.

Выбор шага по времени k производится в зависимости от шага по переменной x , сохраняя условие устойчивости конечно-разностной схемы. Как показано на фиг. 2, для решения данной задачи применена устойчивая, неявная разностная схема [3].

Аппроксимации начальных и граничных условий будут:

$$\begin{aligned}
 \Phi(x_i, 0) &= f(x_i) \quad (i = -1, 0, 1, 2, \dots, N) \\
 \Phi(0, t_j) &= \varphi(t_j) \quad (j = 1, 2, 3, \dots) \\
 \frac{\Phi_{N,j} - \Phi_{N-1,j}}{h} &= \psi(t_j) \quad (j = 1, 2, 3, \dots)
 \end{aligned}
 \quad (3.5)$$

Решение задачи (3.4)–(3.5) производим методом прогонки [4]. Видоизменив уравнение (3.4), получим

$$\begin{aligned} \Phi_{i+1, j} - \left(2 + \frac{h^2}{k} M_{i, j} + hM_{i, j} N_{i, j} + h^2 M_{i, j} H_{i, j} \right) \Phi_{i, j} + \\ + (1 + hM_{i, j} N_{i, j}) \Phi_{i-1, j} + \frac{h^2 M_{i, j}}{k} \Phi_{i, j-1} + h^2 M_{i, j} S_{i, j} = 0 \end{aligned} \quad (3.6)$$

которое при $j = m$ принимает вид

$$\Phi_{i+1, m} - A_{i, m} \Phi_{i, m} + C_{i, m} \Phi_{i-1, m} + B_{i, m} = 0 \quad (3.7)$$

где

$$A_{i, m} = 2 + \frac{h^2}{k} M_{i, m} \left(1 + \frac{k}{h} N_{i, m} + kH_{i, m} \right)$$

$$C_{i, m} = 1 + hM_{i, m} N_{i, m}$$

$$B_{i, m} = \frac{h^2}{k} M_{i, m} (\Phi_{i, m-1} + kS_{i, m})$$

$$(m = 1, 2, 3, \dots)$$

Будем перегонять левое граничное условие в правый граничный узел, то есть будем находить такие $D_{i, m}$ и $E_{i, m}$, чтобы при всех $i = 0, 1, 2, \dots, N$

$$\Phi_{i-1, m} = D_{i, m} \Phi_{i, m} + E_{i, m} \quad (3.8)$$

Подставляя $\Phi_{i-1, m}$ из (3.8) в (3.7), будем иметь

$$\Phi_{i+1, m} - A_{i, m} \Phi_{i, m} + C_{i, m} (D_{i, m} \Phi_{i, m} + E_{i, m}) + B_{i, m} = 0$$

или, разрешая относительно $\Phi_{i, m}$

$$\Phi_{i, m} = D_{i+1, m} \Phi_{i+1, m} + E_{i+1, m} \quad (3.9)$$

где

$$D_{i+1, m} = \frac{1}{A_{i, m} - C_{i, m} D_{i, m}} \quad (3.10)$$

$$E_{i+1, m} = (B_{i, m} + C_{i, m} E_{i, m}) D_{i+1, m} \quad (3.11)$$

Зная $A_{i, m}$, $B_{i, m}$, $C_{i, m}$, находим с помощью рекуррентных соотношений (3.10) и (3.11) $D_{i, m}$, $E_{i, m}$ и, далее, с помощью (3.8) обратной прогонкой находим последовательно $\Phi_{i-1, m}$ ($i = N-1, N-2, \dots, 0$). Вернемся конкретно к задаче (1.2)–(1.3).

Имеем

$$\frac{\partial^2 P}{\partial x^2} = \sqrt{\frac{\xi}{4\alpha g RT}} \frac{1}{P} \frac{\partial P}{\partial x} \frac{\partial P}{\partial t} = \frac{\tau P}{r_0} \sqrt{\frac{\xi}{2\alpha g RT}} \frac{\partial P}{\partial x}$$

или

$$\frac{\partial P}{\partial t} = \frac{1}{\sqrt{\frac{4\lambda gRT}{P} \frac{\partial^2 P}{\partial x^2}}} \frac{\sqrt{2} \lambda}{r_0} \rho^{1/2} \quad (3.12)$$

Обозначим

$$\sqrt{\frac{1}{\frac{4\lambda gRT}{P} \frac{\partial P}{\partial x}}} = M(x, t)$$

$$\frac{\sqrt{2} \lambda}{r_0} \rho = H(x, t)$$

Уравнение (3.12) принимает вид

$$\frac{\partial P}{\partial t} = \frac{1}{M(x, t)} \frac{\partial^2 P}{\partial x^2} H(x, t) P \quad (3.13)$$

Для удобства вычислений уравнение (3.13), граничные и начальные условия (1.3) предварительно приводим к безразмерному виду с помощью соотношений

$$P = P_0 P', \quad x = Lx', \quad t = t_0 t' \quad (3.14)$$

где P_0 — квадрат давления в начале трубопровода,

L — характерная длина (длина трубопровода),

t_0 — характерное время.

Сравнивая уравнение (3.13) с уравнением (3.1), замечаем, что в данном случае $N(x, t) = 0$, $S(x, t) = 0$, а $M(x, t)$ и $H(x, t)$ определяются вышенаписанными формулами, аппроксимация которых в узле (i, j) будет:

$$M_{i,j} = \sqrt{\frac{1}{\frac{4\lambda gRT}{P_{i,j-1}} \frac{P_{i,j-1} - P_{i-1,j-1}}{h}}} \quad (3.15)$$

$$H_{i,j} = \frac{\sqrt{2} \lambda}{r_0} \rho_{i,j-1} \quad (3.16)$$

Следовательно, вышезложенный разностный метод решения модельной задачи (3.11)–(3.12) вполне применим для решения задачи (1.2)–(1.3). С этой целью на основе формул, соответствующих формулам (3.6)–(3.11), была составлена программа на ЭВМ „Раздан-3“, реализующая метод прогонки.

Определяя давление из уравнения (1.2), можно вычислить плотность, скорость и расход газа в любом сечении газопровода для любого момента времени по формулам:

$$\rho(x, t) = \frac{1}{gRT} p(x, t) \quad (3.17)$$

$$u(x, t) = \sqrt{\frac{8\lambda gRT}{p} \frac{1}{\rho} \frac{\partial p}{\partial x}} \quad (3.18)$$

$$G_1(x, t) = \frac{S}{RT} p(x, t) u(x, t) \quad (3.19)$$

$$G_2(x, t) = \frac{2\pi r_0^2}{RT} p^*(x, t) \quad (3.20)$$

где $G_1(x, t)$ — расход газа, протекающего через сечение S со скоростью u ,

$G_2(x, t)$ — расход газа, протекающего через пористую боковую поверхность цилиндрической трубы единичной длины со скоростью $v = v_p$.

§ 4. Численный пример

Для вычисления численного примера были использованы метод вычисления и данные работы [5], кроме длины трубопровода, которую в этом случае приняли 10 км ($L = 10$ км).

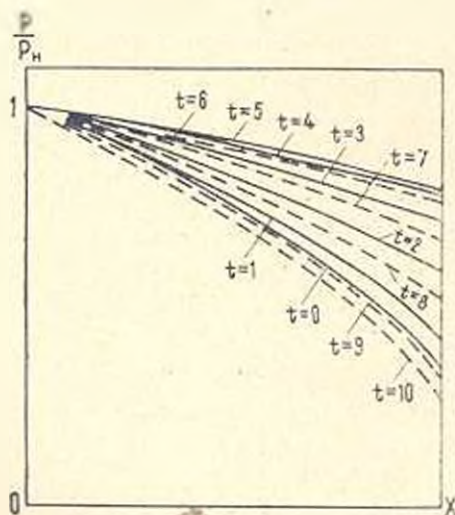
Интервал $[0; 1]$, соответствующий длине газопровода, разбивается на 20 участков, то есть

$$h = 0.05, \text{ а } k = 0.01$$

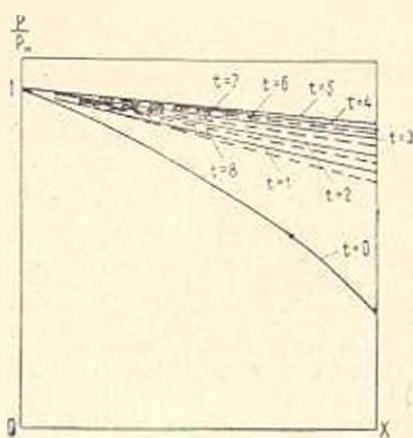
Для проверки точности вычислений задачи решаем, уменьшая шаги h и k вдвое, вчетверо, и сравниваем полученные результаты. Совпадение с достаточной степенью точности результатов говорит о практической сходимости метода.

Вычисления произведены для случаев

$$\alpha = 0; 5.6 \cdot 10^{-3}; 5.6 \cdot 10^{-4}; 5.6 \cdot 10^{-4}; 5.6 \cdot 10^{-3}$$



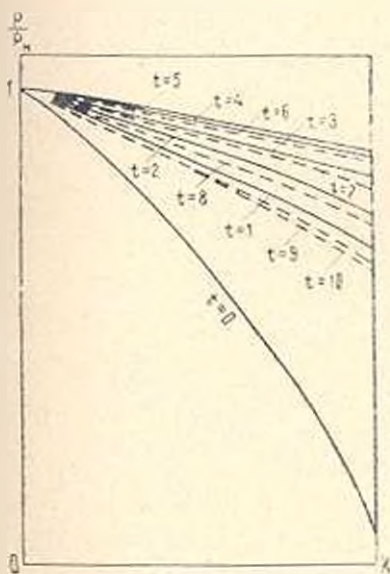
Фиг. 3.



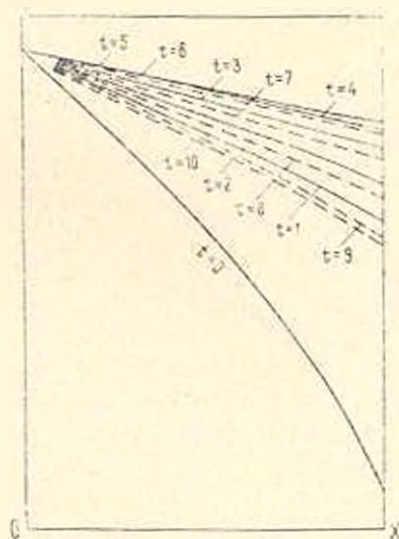
Фиг. 4.

Распределения давления по длине газопровода в любой момент времени приведены на фиг. 3, 4, 5, 6, 7.

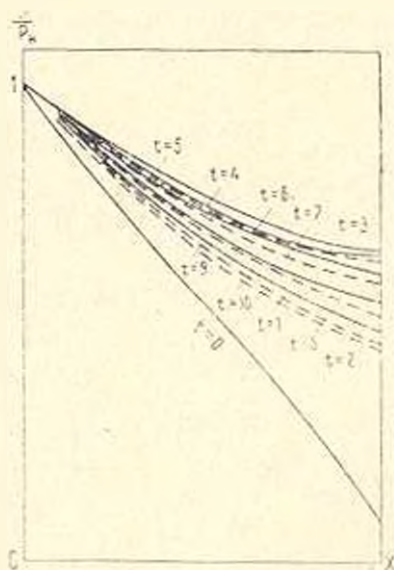
При $\alpha = 0$ получаем результаты в более уточненном виде. Здесь имеем в виду тот факт, что при выводе уравнения (1.2) из системы уравнений (1.1), в отличие от других работ, никаких допущений не делали. На основании полученных результатов можно сделать следующие выводы.



Фиг. 5.



Фиг. 6.



Фиг. 7.

1. В рассматриваемом интервале значений τ перепад давления по длине пористой трубы увеличивается. Это обстоятельство подтверждает экспериментальные результаты работы [6].

2. Значение давления в одинаковых сечениях для пористой трубы больше, чем значение его для непроницаемой трубы.

3. Давление при увеличении коэффициента α до некоторого критического значения $\alpha_{кр}$ увеличивается, после чего начинает падать.

Ереванский государственный
университет

Поступила 15 VII 1971

Գ. Հ. ԲԱԲԱԺՅԱՆԻ, Լ. Ե. ԳՈՆԵԼՅԱՆ

ԻՐԱԿԱՆ ԳԱԿՐ ՈՉ-ՍՏԱՅԻՐԱԼՐ ՀԱՐՓՈՒՄԸ ԾԱԿՈՏԿԻՆ ՊԱՏԵՐՈՒ
ԳՎԱՆԱՅԻՆ ԽՈՂՈՒՍԱԿՈՒՄ

Ա մ փ ո փ ո ս մ

Վերաբերված է իրական գազի ոչ-ստացիոնար, իզոթերմ շարժումը ծակոտկեն պատերով գլանային խողովակում: Որոշվում է ճնշման բաշխման օրենքը ծակոտկենության գործակցի տարրեր արժեքների համար:

Խնդիրը բերվում է երկրորդ կարգի մասնական ածանցյալներով ոչ դժային դիֆերենցիալ հավասարման ինտեգրմանը՝ խառը եզրային պայմաններով: Լուծումը կատարվում է թվային մեթոդներով: Այդ նպատակով կազմված է ծրագիր «Հրապզան-3» էլեկտրոնային հաշիչ մեքենայի համար:

Որոշվում է գազի ճնշման բաշխման օրենքը ժամանակի տարրեր ակրն-թարթների համար:

Լուծված է թվային օրինակ: Կառուցված են ճնշման գրաֆիկները ժամանակի տարրեր պատերի և ծակոտկենության գործակցի տարրեր արժեքների համար:

UNSTEADY MOTION OF THE REAL GAS IN A CYLINDRICAL TUBE WITH PERMEABLE WALLS

G. H. BABADJANIAN, L. E. DANIELIAN

S u m m a r y

Unsteady isothermal motion of the real gas in a cylindrical permeable tube is considered. The problem is reduced to the solution of a second order nonlinear differential equation in partial derivations with mixed boundary conditions.

The solution is obtained by a numerical method on the "Razdan-3" computer.

Л И Т Е Р А Т У Р А

1. Райзберг Б. А. и Самсонов К. П. О применимости одномерной модели к описанию стационарного течения вязкой несжимаемой жидкости в цилиндрической трубе с пористыми стенками. Инж. ж., т. 4, вып. 1, 1964.
2. Хемминг Р. В. Численные методы. Изд. Наука, Физматгиз, ИЛ, 1968.
3. Рихтмайер Р. Д. Разностные методы решения краевых задач. ИЛ, М., 1960.
4. Берёзин И. С. и Жидков Н. П. Методы вычислений, т. 11. Физматгиз, М., 1960.
5. Диниелян Л. Е. Неустановившееся движение реального газа в длинном газоприводе. Изв. АН АрмССР, Механика, т. 23, № 1, 1970.
6. Каченов И. С. и Баранова Л. И. Течение в каналах с пористыми стенками. Тепло- и массообмен, т. 1, Минск, 1965.
7. Смирнов А. С., Гонкина Л. А., Хушпулян М. М., Чернов Д. А. Транспорт и хранение газа. М., 1962.

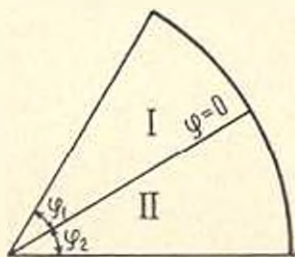
Р. К. АЛЕКСАНЯН

СТАЦИОНАРНОЕ ТЕМПЕРАТУРНОЕ ПОЛЕ В СОСТАВНОМ КРУГОВОМ СЕКТОРЕ

Температурная задача или эквивалентные ей задачи теории упругости и электростатики для неоднородных сред рассмотрены в работах [1—5] и др.

В настоящей статье рассматривается задача о плоском стационарном температурном поле в составном круговом секторе. Решение строится при помощи системы собственных функций обыкновенного дифференциального оператора, порождаемого рассматриваемой краевой задачей для уравнения Лапласа.

1. Поместим начало полярной системы координат в вершине составного сектора, направим полярную ось по линии раздела сред с различными коэффициентами теплопроводности (фиг. 1). Предполагается, что контакт между средами является идеальным и что отсутствуют тепловые источники.



Фиг. 1.

Функции распределения температуры в областях I и II удовлетворяют уравнению Лапласа [1]

$$\frac{\partial^2 U_i}{\partial r^2} + \frac{1}{r} \frac{\partial U_i}{\partial r} + \frac{1}{r^2} \frac{\partial^2 U_i}{\partial \varphi^2} = 0 \quad (i = 1, 2) \quad (1.1)$$

и следующим условиям на линии раздела и на границе области:

$$\begin{aligned} U_1|_{\varphi=\varphi_1} &= U_2|_{\varphi=\varphi_1} = 0 & 0 < r < 1 \\ \Delta U_1|_{\varphi=\varphi_1} &= f_1(\varphi) & 0 < \varphi < \varphi_1 \\ U_2|_{\varphi=\varphi_2} &= f_2(\varphi) & -\varphi_2 < \varphi < 0 \end{aligned} \quad (1.2)$$

$$U_1|_{\varphi=0} = U_2|_{\varphi=0}, \quad k_1 \frac{\partial U_1}{\partial \varphi} \Big|_{\varphi=0} = k_2 \frac{\partial U_2}{\partial \varphi} \Big|_{\varphi=0} \quad 0 < r < 1$$

где k_1 и k_2 — коэффициенты теплопроводности соответствующих материалов.

Решение (1.1) в областях I и II представляем в следующем виде:

$$U_i(r, \varphi) = r^{\lambda_i} (A_i \cos \lambda_i^{(i)} \varphi + B_i \sin \lambda_i^{(i)} \varphi) \quad (i = 1, 2) \quad (1.3)$$

Удовлетворяя условиям (1.2), на основании (1.3) находим

$$\begin{aligned} \lambda_1^{(1)} = \lambda_1^{(2)} = \lambda, \quad B_2 = \mu B_1, \quad A_1 = A_2 \\ A_1 \cos \lambda \varphi_1 + B_1 \sin \lambda \varphi_1 = 0 \\ A_2 \cos \lambda \varphi_2 - B_2 \sin \lambda \varphi_2 = 0 \end{aligned} \quad (1.4)$$

где $\mu = \frac{k_1}{k_2}$.

Из условия существования нетривиального решения однородной системы (1.4) для λ получим следующее уравнение:

$$(\mu + 1) \sin \lambda (\varphi_1 + \varphi_2) + (1 - \mu) \sin \lambda (\varphi_1 - \varphi_2) = 0; \quad (1.5)$$

Функции распределения температуры в областях I и II можно представить в виде ряда по функциям (1.3), соответствующим положительным корням уравнения (1.5). Отрицательные корни уравнения (1.5) для функции распределения температуры не представляют интереса, так как температура должна быть ограниченной.

Для каждого собственного числа λ_n , не являющегося одновременно корнем уравнения $\cos \lambda_n \varphi_1 = 0$, из системы (1.4) получим

$$A_{1n} = A_{2n} = -B_{1n} \operatorname{tg} \lambda_n \varphi_1, \quad B_{2n} = \mu B_{1n} \quad (n = 1, 2, \dots) \quad (1.6)$$

Общее решение рассматриваемой задачи можно представить в виде

$$U = \sum_{n=1}^{\infty} B_n r^{\lambda_n} U_n(\varphi) \quad (0 \leq r \leq 1, \quad -\varphi_2 \leq \varphi \leq \varphi_1) \quad (1.7)$$

где

$$U_n(\varphi) = \begin{cases} U_{1n}(\varphi) = \sin \lambda_n \varphi - \operatorname{tg} \lambda_n \varphi_1 \cos \lambda_n \varphi_1 & 0 \leq \varphi \leq \varphi_1 \\ U_{2n}(\varphi) = \mu \sin \lambda_n \varphi - \operatorname{tg} \lambda_n \varphi_1 \cos \lambda_n \varphi_1 & -\varphi_2 \leq \varphi \leq 0 \end{cases} \quad (1.8)$$

Если уравнения (1.5) и $\cos \lambda_n \varphi_1 = 0$ имеют общие корни, то в (1.7) появляется ряд вида $\sum A_n r^{\lambda_n} \cos \lambda_n \varphi$.

Система функций $U_n(\varphi)$ ортогональна в интервале $(-\varphi_2 \leq \varphi \leq \varphi_1)$ с кусочно-постоянным весом

$$k(\varphi) = \begin{cases} k_1 = \text{const} & 0 \leq \varphi \leq \varphi_1 \\ k_2 = \text{const} & -\varphi_2 \leq \varphi \leq 0 \end{cases} \quad (1.9)$$

Входящие в (1.7) коэффициенты B_n можно определить, задаваясь температурой или условием подвода тепла на дуговых частях контуров областей I и II.

Пусть $U|_{r=1} = f(\varphi)$ ($-\varphi_2 \leq \varphi \leq \varphi_1$). Разложим $f(\varphi)$ в области $(-\varphi_2 \leq \varphi \leq \varphi_1)$ в ряд по ортогональным функциям

$$f(\varphi) = \sum_{n=1}^{\infty} a_n U_n(\varphi) \quad (1.10)$$

где

$$a_n = \frac{\int_{-\varphi_2}^{\varphi_1} k(\varphi) f(\varphi) U_n(\varphi) d\varphi}{\int_{-\varphi_2}^{\varphi_1} k(\varphi) U_n^2(\varphi) d\varphi} \quad (n = 1, 2, \dots)$$

Для распределения температуры получим

$$U(r, \varphi) = \sum_{n=1}^{\infty} a_n r^{2n} U_n(\varphi) \quad (0 \leq r \leq 1, -\varphi_2 \leq \varphi \leq \varphi_1) \quad (1.11)$$

2. Рассмотрим температурное поле в полукруге для следующих частных случаев.

а) Пусть $\varphi_1 = \varphi_2 = \frac{\pi}{2}$, а температура на дуговых частях контуров областей I и II определяется следующим образом:

$$\begin{aligned} f_1(\varphi) = U_{01} = \text{const} & \quad \left(r = 1, 0 \leq \varphi < \frac{\pi}{2} \right) \\ f_2(\varphi) = U_{02} = \text{const} & \quad \left(r = 1, -\frac{\pi}{2} \leq \varphi < 0 \right) \end{aligned} \quad (2.1)$$

Для остальных граничных и контактных условий принимаем (1.2). Корни уравнения (1.5) в этом случае — натуральные числа $l = 1, 2, \dots$. Температурная функция в областях I и II имеет следующий вид:

$$\begin{aligned} U_1(r, \varphi) &= \sum_{n=1}^{\infty} B_{2n} r^{2n} \sin 2n\varphi + \sum_{n=1}^{\infty} B_{2n-1} r^{2n-1} \cos (2n-1)\varphi \\ & \quad \left(0 \leq r \leq 1, 0 \leq \varphi < \frac{\pi}{2} \right) \\ U_2(r, \varphi) &= \sum_{n=1}^{\infty} B_{2n} r^{2n} \sin 2n\varphi + \sum_{n=1}^{\infty} B_{2n-1} r^{2n-1} \cos (2n-1)\varphi \\ & \quad \left(0 \leq r \leq 1, -\frac{\pi}{2} \leq \varphi < 0 \right) \end{aligned} \quad (2.2)$$

Из граничных условий (2.1) находим

$$B_{2n} = \frac{2(U_{01} - U_{02})}{\pi(1-\mu)} \frac{1 - (-1)^n}{n} \quad (n = 1, 2, \dots) \quad (2.3)$$

$$B_{2n-1} = \frac{4(U_{02} + \mu U_{01})}{\pi(1+\mu)} \frac{(-1)^{n-1}}{2n-1}$$

Подставляя (2.3) в (2.2) и суммируя, получим

$$U_1(r, \varphi) = \frac{2(U_{01} - U_{02})}{\pi(1-\mu)} \operatorname{arctg} \frac{2r^2 \sin 2\varphi}{1-r^4} + \frac{2(U_{02} + \mu U_{01})}{\pi(1+\mu)} \operatorname{arctg} \frac{2r \cos \varphi}{1-r^2} \quad (2.4)$$

$$U_2(r, \varphi) = \frac{2\mu(U_{01} - U_{02})}{\pi(1-\mu)} \operatorname{arctg} \frac{2r^2 \sin 2\varphi}{1-r^4} + \frac{2(U_{02} + \mu U_{01})}{\pi(1+\mu)} \operatorname{arctg} \frac{2r \cos \varphi}{1-r^2}$$

В случае $U_{01} = U_{02} = U_0$ получим

$$U_i(r, \varphi) = \frac{2U_0}{\pi} \operatorname{arctg} \frac{2r \cos \varphi}{1-r^2} \quad (i = 1, 2)$$

Распределение температуры в областях I и II не зависит от отношения коэффициентов теплопроводности $\mu = \frac{k_1}{k_2}$. Теплообмен между составляющими частями полукруга в этом случае отсутствует и полученное решение совпадает с известными для отдельных областей I и II решениями [8].

б) Пусть $\varphi_1 = \frac{\pi}{4}$, $\varphi_2 = \frac{3\pi}{4}$ и $f_1(\varphi) = U_0$, $f_2(\varphi) = U_0$. Для собственных чисел i в этом случае из (1.5) получим

$$i_n^{(1)} = 2n, \quad i_n^{(1)} = \frac{2}{\pi} \operatorname{arccos} \frac{1-\mu}{2(1-\mu)} = 4(n-1) \quad (2.5)$$

$$i_n^{(2)} = -\frac{2}{\pi} \operatorname{arccos} \frac{1-\mu}{2(1-\mu)} + 4n \quad (n = 1, 2, \dots)$$

Температурные функции для этого случая строим в виде суммы

$$U_1 = U_{10} + U_{11} + U_{12} \quad \left(0 < r \leq 1, 0 < \varphi < \frac{\pi}{4}\right) \quad (2.6)$$

$$U_2 = U_{20} + U_{21} + U_{22} \quad \left(0 < r \leq 1, -\frac{3\pi}{4} < \varphi < 0\right)$$

Из уравнений (1.4) для корней $i_n^{(1)} = 2n$ ($n = 1, 2, \dots$) получим

$$A_{2n}^{(1)} = 0, \quad B_{2n}^{(1)} = 0$$



Для $\gamma_n = \gamma_n^{(1)} = \frac{2}{\pi} \arccos \frac{1-\mu}{2(1+\mu)} + 4(n-1)$, ($n = 1, 2, \dots$) из уравнений (1.4) получим

$$\begin{aligned} A_n^{(1)} \cos \gamma + B_n^{(1)} \sin \gamma &= 0 \\ A_n^{(1)} \cos 3\gamma - \mu B_n^{(1)} \sin 3\gamma &= 0 \end{aligned} \quad (2.7)$$

где

$$\gamma = \frac{1}{2} \arccos \frac{1-\mu}{2(1+\mu)} \quad (2.8)$$

Из (2.7) получим

$$A_n^{(1)} = -B_n^{(1)} \operatorname{tg} \gamma; \text{ или } A_n^{(1)} = -\mu B_n^{(1)} \operatorname{tg} 3\gamma \quad (n = 1, 2, \dots)$$

Эти два значения $A_n^{(1)}$ не противоречивые, так как

$$\operatorname{tg} \gamma = \mu \operatorname{tg} 3\gamma \quad (2.9)$$

При $\gamma_n = \gamma_n^{(2)} = \frac{2}{\pi} \arccos \frac{1-\mu}{2(1+\mu)} + 4n$ ($n = 1, 2, \dots$) из уравнений (1.4) получим

$$\begin{aligned} A_n^{(2)} \cos \gamma - B_n^{(2)} \sin \gamma &= 0 \\ A_n^{(2)} \cos 3\gamma - \mu B_n^{(2)} \sin 3\gamma &= 0 \end{aligned}$$

откуда

$$A_n^{(2)} = B_n^{(2)} \operatorname{tg} \gamma$$

Используя граничное условие на дуге $r = 1$, $f_i(z) = U_0$ ($i = 1, 2$), с помощью (1.10) и (2.5) для коэффициентов $B_{2n}^{(1)}$, $A_{2n-1}^{(1)}$, $B_n^{(1)}$, $B_n^{(2)}$ получим следующие значения:

$$\begin{aligned} B_{2n}^{(1)} &= 0, \quad A_{2n-1}^{(1)} = \frac{4U_0}{\pi(3+\mu)} \frac{(-1)^n}{2n-1} \\ B_n^{(1)} &= A \frac{(-1)^{n-1}}{i_n^{(1)}}, \quad B_n^{(2)} = A \frac{(-1)^n}{i_n^{(2)}} \quad (n = 1, 2, \dots) \end{aligned}$$

где

$$A = \frac{32 U_0 \sin^2 \gamma}{\pi (3\mu \sec^2 3\gamma + \sec^2 \gamma) \cos 3\gamma}$$

После некоторых преобразований окончательно для слагаемых, входящих в сумму (2.6), получим следующие выражения:

$$\begin{aligned}
 U_{10} &= \frac{2U_0(1-\mu)}{\pi(3+\mu)} \operatorname{arctg} \frac{2r^2 \cos 2\varphi}{1-r^4} \\
 U_{11} &= \frac{A\pi r^{\frac{4}{\pi\gamma}}}{4 \cos \gamma} \left\{ \sin \left(\frac{4}{\pi} \gamma \varphi - \gamma \right) \sum_{n=0}^{\infty} \frac{(-1)^n r^{4n} \cos 4n\varphi}{\pi n + \gamma} + \right. \\
 &\quad \left. + \cos \left(\frac{4}{\pi} \gamma \varphi - \gamma \right) \sum_{n=1}^{\infty} \frac{(-1)^n r^{4n} \sin 4n\varphi}{\pi n + \gamma} \right\} \\
 U_{12} &= \frac{A\pi r^{-\frac{4}{\pi\gamma}}}{4 \cos \gamma} \left\{ \sin \left(\gamma - \frac{4}{\pi} \gamma \varphi \right) \sum_{n=1}^{\infty} \frac{(-1)^n r^{4n} \cos 4n\varphi}{\pi n - \gamma} + \right. \\
 &\quad \left. + \cos \left(\gamma - \frac{4}{\pi} \gamma \varphi \right) \sum_{n=1}^{\infty} \frac{(-1)^n r^{4n} \sin 4n\varphi}{\pi n - \gamma} \right\} \\
 &\quad \left(0 \leq r \leq 1, \quad 0 \leq \varphi \leq \frac{\pi}{4} \right)
 \end{aligned} \tag{2.10}$$

$$U_{20} = U_{10}$$

$$\begin{aligned}
 U_{21} &= \frac{A\pi \mu r^{\frac{4}{\pi\gamma}}}{4 \cos 3\gamma} \left\{ \cos \left(\frac{4}{\pi} \gamma \varphi + 3\gamma \right) \sum_{n=1}^{\infty} \frac{(-1)^n r^{4n} \sin 4n\varphi}{\pi n + \gamma} + \right. \\
 &\quad \left. + \sin \left(\frac{4}{\pi} \gamma \varphi + 3\gamma \right) \sum_{n=0}^{\infty} \frac{(-1)^n r^{4n} \cos 4n\varphi}{\pi n + \gamma} \right\} \\
 U_{22} &= \frac{A\pi \mu r^{-\frac{4}{\pi\gamma}}}{4 \cos 3\gamma} \left\{ \cos \left(\frac{4}{\pi} \gamma \varphi + 3\gamma \right) \sum_{n=1}^{\infty} \frac{(-1)^n r^{4n} \sin 4n\varphi}{\pi n - \gamma} + \right. \\
 &\quad \left. - \sin \left(\frac{4}{\pi} \gamma \varphi + 3\gamma \right) \sum_{n=1}^{\infty} \frac{(-1)^n r^{4n} \cos 4n\varphi}{\pi n - \gamma} \right\} \\
 &\quad \left(0 \leq r \leq 1, \quad -\frac{3\pi}{4} \leq \varphi \leq 0 \right)
 \end{aligned} \tag{2.11}$$

При других значениях углов φ_1 и φ_2 для распределения температуры в областях I и II получаются разложения, аналогичные (2.10) и (2.11).

Ряды собственных функций, соответствующие нецелым значениям собственных чисел λ_n , можно выразить через неполную бэта-функцию

$$U_{11} = 2\varphi_2^*(r, \varphi) \sum_{n=0}^{\infty} \frac{(-1)^n r^{4n} \cos 4n\varphi}{p-n} + 2\varphi_1^*(r, \varphi) \sum_{n=0}^{\infty} \frac{(-1)^n r^{4n} \sin 4n\varphi}{p-n}$$

Вводя обозначение $z = -r^{\mu} e^{i\varphi}$ ($0 \leq r \leq 1$, $0 \leq \varphi \leq \frac{\pi}{4}$), после некоторых преобразований получим

$$U_{11} = \frac{2\varphi_2^*}{p} + (\varphi_2^* - i\varphi_1^*) F(z) + (\varphi_2^* + i\varphi_1^*) \bar{F}(z)$$

или

$$U_{11} = 2 \left| \frac{\varphi_2^*}{p} + \varphi_2^* \operatorname{Re} F(z) + \varphi_1^* \operatorname{Im} F(z) \right| \quad (2.12)$$

где

$$F(z) = z^{-p} \int_0^z \frac{z_1^p}{1-z_1} dz_1, \quad p = \frac{\mu}{\pi} = \frac{1}{2\pi} \arccos \frac{1-\mu}{2(1+\mu)}$$

$$\varphi_1^* = \frac{Ar^{4p} \cos(4p\varphi - \gamma)}{8 \cos \gamma}, \quad \varphi_2^* = \frac{Ar^{4p} \sin(4p\varphi - \gamma)}{8 \cos \gamma}$$

$$\frac{1}{6} < p < \frac{1}{3} \quad \text{при} \quad 0 \leq \mu < \infty$$

Аналогичным путем получим

$$U_{12} = -\frac{r^4}{1-p} (\varphi_3^* \sin 4\varphi + \varphi_4^* \cos 4\varphi) + \varphi_4^* \operatorname{Re} \Phi(z) + \varphi_3^* \operatorname{Im} \Phi(z) \quad (2.13)$$

$$U_{21} = \mu \left| \frac{\varphi_3^*}{p} + \varphi_4^* \operatorname{Re} F(z) + \varphi_3^* \operatorname{Im} F(z) \right| \quad (2.14)$$

$$U_{22} = -\frac{\mu r^4}{1-p} (\varphi_3^* \sin 4\varphi + \varphi_4^* \cos 4\varphi) + \mu \varphi_4^* \operatorname{Re} \Phi(z) + \mu \varphi_3^* \operatorname{Im} \Phi(z) \quad (2.15)$$

где

$$\Phi(z) = z^{\mu} \int_0^z \frac{z_1^{1-p}}{1-z_1} dz_1$$

$$\varphi_3^* = \frac{Ar^{-4p} \cos(\gamma - 4p\varphi)}{4 \cos \gamma}, \quad \varphi_4^* = \frac{Ar^{-4p} \sin(\gamma - 4p\varphi)}{4 \cos \gamma}$$

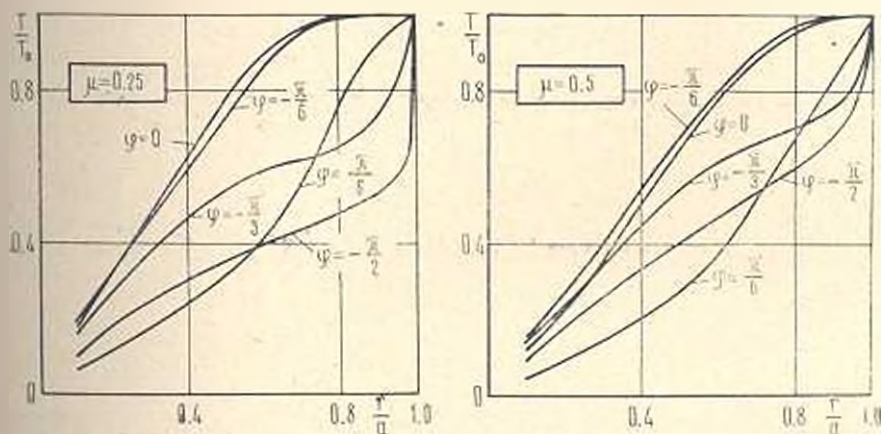
$$\varphi_1^* = \frac{Ar^{4p} \cos(4p\varphi + 3\gamma)}{4 \cos 3\gamma}, \quad \varphi_2^* = \frac{Ar^{4p} \sin(4p\varphi + 3\gamma)}{4 \cos 3\gamma}$$

$$\varphi_3^* = \frac{Ar^{-4p} \cos(4p\varphi + 3\gamma)}{4 \cos 3\gamma}, \quad \varphi_4^* = \frac{Ar^{-4p} \sin(4p\varphi + 3\gamma)}{4 \cos 3\gamma}$$

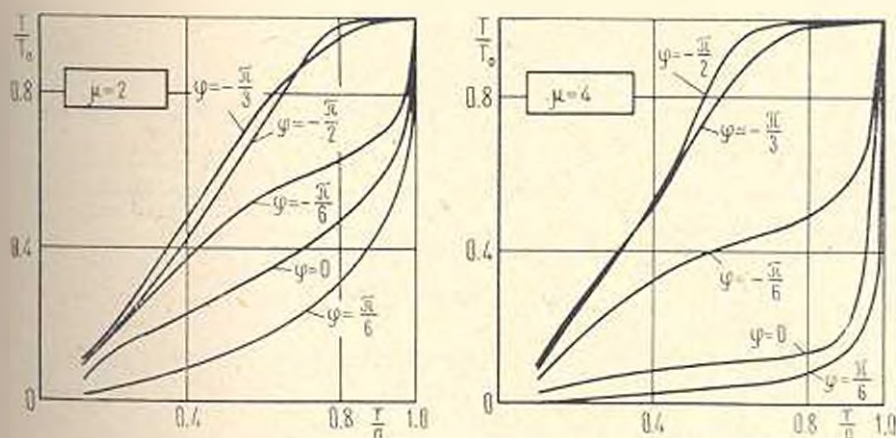
Для рациональных значений параметра p распределение температуры в областях I и II выражается через элементарные функции.

При некоторых значениях отношения коэффициентов теплопроводности составляющих сектор материалов вычислено распределение температуры в областях I и II в случае $\varphi_1 = \frac{\pi}{4}$, $\varphi_2 = \frac{3\pi}{4}$. Результаты

вычисления для сектора круга радиуса a представлены графически (фиг. 2, 3).



Фиг. 2.



Фиг. 3.

3. Рассмотрим распределение температуры в составном секторе, когда на его контуре задана температура.

Распределение температуры ищем в следующем виде:

$$T_i(r, \varphi) = U_i(r, \varphi) + V_i(r, \varphi) \quad (i=1, 2) \quad (3.1)$$

где функции $U_i(r, \varphi)$ ($i = 1, 2$) удовлетворяют уравнению (1.1) и условиям (1.2), а функции $V_i(r, \varphi)$ определяются уравнением

$$\Delta V_i = 0 \quad (i=1, 2) \quad (3.2)$$

и условиями

$$\begin{aligned} V_1|_{r=r_1} &= v_1(r), & V_2|_{r=r_2} &= v_2(r) \\ V_1|_{r=a} &= V_2|_{r=a}, & k_1 \frac{\partial U_1}{\partial \varphi} \Big|_{\varphi=\varphi_0} &= k_2 \frac{\partial U_2}{\partial \varphi} \Big|_{\varphi=\varphi_0} \end{aligned} \quad (3.3)$$

Функции $\gamma_i(r)$ ($i = 1, 2$) непрерывны и удовлетворяют условию $\gamma_i(0) = \gamma_i(1)$.

Рассмотрим множество чисел $\{\beta_n\}$, среди которых нет корней уравнения (1.5). Пусть множество $\{\beta_n\}$ удовлетворяет условиям теоремы Мюнтца-Соса [7], на основании которой произвольную непрерывную функцию можно равномерно аппроксимировать на $(0, 1)$ полиномами вида

$$\epsilon_n + \sum_{k=1}^n c_k r^{\beta_k} \quad (3.4)$$

Представляя функции $\gamma_i(r)$ ($i = 1, 2$) в виде степенных рядов

$$\gamma_{i1}(r) = a_0 + \sum_{n=1}^{\infty} a_n r^{\beta_n}, \quad \gamma_{i2}(r) = b_0 + \sum_{n=1}^{\infty} b_n r^{\beta_n} \quad (3.5)$$

местное решение уравнений (3.2) в окрестности начала координат ищем в виде

$$\begin{aligned} v_1(r, \varphi) &= A_0 + \sum_{n=1}^{\infty} r^{\beta_n} (A_n \cos \beta_n \varphi + B_n \sin \beta_n \varphi) \\ v_2(r, \varphi) &= C_0 + \sum_{n=1}^{\infty} r^{\beta_n} (C_n \cos \beta_n \varphi + D_n \sin \beta_n \varphi) \end{aligned} \quad (3.6)$$

Удовлетворяя при помощи (3.5) и (3.6) условиям (3.3), для искомым коэффициентов получим

$$\begin{aligned} A_0 - C_0 &= a_0 - b_0 \\ A_n - C_n &= \frac{2}{\beta_n} (a_n \beta_n \sin \beta_n \varphi_2 + b_n \sin \beta_n \varphi_1) \\ \frac{1}{\beta_n} D_n - B_n &= \frac{2}{\beta_n} (a_n \cos \beta_n \varphi_2 - b_n \cos \beta_n \varphi_1) \end{aligned} \quad (3.7)$$

где

$$\Delta(\beta_n) = (\beta_n + 1) \sin(\varphi_1 + \varphi_2) \beta_n - (\beta_n - 1) \sin(\varphi_1 - \varphi_2) \beta_n \quad (3.8)$$

Согласно условию подбора чисел β_n $\Delta(\beta_n) \neq 0$. Подставляя значения коэффициентов из (3.7) в (3.5), получим решения уравнений (3.2), удовлетворяющие условиям (3.3). Заменим $f_i(\varphi)$ в (1.2) функциями $f(\varphi) - f'_i(\varphi)$, где $f'_i(\varphi)$ — значения $V_i(r, \varphi)$ при $r = 1$. Тогда $T_i(r, \varphi)$ будут решениями стационарной задачи теплопроводности для составного сектора, когда на дугонных и радиальных частях контура задана температура, которая в рассматриваемой области может быть представлена в следующем виде:

$$T_1(r, \varphi) = T_0 + \sum_{n=1}^{\infty} r^{\lambda_n} (A_n \cos \vartheta_n \varphi + B_n \sin \vartheta_n \varphi) + \sum_{n=1}^{\infty} E_n r^{\lambda_n} U_{1n}(\varphi) \quad (3.9)$$

$$(0 \leq r \leq 1, \quad 0 \leq \varphi \leq \varphi_1)$$

$$T_2(r, \varphi) = T_0 + \sum_{n=1}^{\infty} r^{\lambda_n} (C_n \cos \vartheta_n \varphi + D_n \sin \vartheta_n \varphi) + \sum_{n=1}^{\infty} E_n r^{\lambda_n} U_{2n}(\varphi) \quad (3.10)$$

$$(0 \leq r \leq 1, \quad -\varphi_2 \leq \varphi \leq 0)$$

где

$$U_{1n}(\varphi) = \sin \lambda_n \varphi - \operatorname{tg} \lambda_n \varphi_1 \cos \lambda_n \varphi, \quad (0 \leq \varphi \leq \varphi_1)$$

$$U_{2n}(\varphi) = \mu \sin \lambda_n \varphi - \operatorname{tg} \lambda_n \varphi_2 \cos \lambda_n \varphi, \quad (-\varphi_2 \leq \varphi \leq 0)$$

Отметим, что решение задачи теплопроводности для составного сектора может быть представлено в виде (3.9) и (3.10) при более общих граничных условиях, например, когда на границе области задан подвод тепла или на некотором участке границы задан подвод тепла, а на остальном — температура.

Определение распределения температуры в составном секторе необходимо для исследования полей температурных напряжений в окрестности края поверхности соединения составного элемента.

Институт математики и механики
АН Армянской ССР

Поступила 22 X 1970

Թ. Կ. ԱՆՔՍԱՆՅԱՆ

ՄՏԱՑԻՌՆԵՐ ԶԻՐԴԱՍՏԻԾԱՆԿԱՆ ԳՈՒՇԸՐ ԲԱԳՎԱԳՐՅԱԼ ՇՐՋԱՆԱԵՆԻ ՍԵԿՏՈՐՈՒՄ

Ա մ Վ ռ Վ ի ռ ի մ

Գիտարկվում է հարթ, ստացիոնար ջերմաստիճանային դաշտի սրճման խնդիրը երկու տարրեր նյութերից պատրաստված բաղադրյալ շրջանային սեկտորում:

Ջերմաստիճանի բաշխումը ներկայացվում է համապատասխան երկին տերվայային կոչային խնդրի սեփական ֆունկցիաների շարքի տեսքով:

Սրճվում է ջերմաստիճանի բաշխումը $\varphi_1 = 45^\circ$, $\varphi_2 = 135^\circ$ դեպքում. սեկտոր կազմող նյութերի ջերմահաղորդականության գործակիցների հարաբերության շքոչ արժևրների համար:

STATIONARY TEMPERATURE FIELD IN A COMPOSITE CIRCULAR SECTOR

R. K. ALEXANIAN

S u m m a r y

The problem of a plane stationary temperature field in a composite circular sector made of two different materials is considered.

The temperature distribution is represented as a series of eigenfunctions of a corresponding two-interval boundary problem.

The temperature distribution at $\varphi = 45^\circ$, $\varphi = 135^\circ$ is determined for some values of the ratio of thermal conduction coefficients for the sector materials.

Л И Т Е Р А Т У Р А

1. Дыкоп А. В. Теория теплопроводности. Изд. Высшая школа, М., 1967.
2. Гринберг Г. А. Избранные вопросы математической теории электрических и магнитных явлений. Изд. АН СССР, М., 1949.
3. Арутюкян Н. Х. и Абрамян Б. А. Кручение упругих тел. Физматгиз, М., 1963.
4. Минсян Р. С. Об одной задаче установившегося распространения тепла в составном параллелепипеде. Докл. АН Арм.ССР, т. 38, № 2, 1964.
5. Минсян Р. С. О плоском установившемся течении тепла в составном цилиндре при наличии теплообмена с двумя различными окружающими средами. Докл. АН Арм.ССР, т. 34, № 5, 1964.
6. Геноркян С. Х. Исследование особенностей решений в некоторых задачах теории упругости анизотропного тела. Изв. АН Арм.ССР, Механика, т. XXI, № 1, 1968.
7. Винер Н. и Пели Р. Преобразования Фурье в комплексной области. Изд. Наука, М., 1964.
8. Карслоу Г., Егер Д. Теплопроводность твердых тел. Изд. Наука, М., 1964.
9. Грешштейн И. С. и Рыжик И. М. Таблицы интегралов, сумм, рядов и произведений. Физматгиз, М., 1962.

Р. М. КИРАКОСЯН

НЕКОТОРЫЕ ТЕОРЕМЫ ОБ УПРУГО-ПЛАСТИЧЕСКОМ РАВНОВЕСИИ ТЕЛА ПРИ ПЕРЕМЕННЫХ ВНЕШНИХ ВОЗДЕЙСТВИЯХ

На основе общих теорем теории упруго-пластических сред, доказываются некоторые теоремы об упруго-пластическом равновесии тела при переменных внешних воздействиях, при этом рассматриваются устойчивые в смысле постулата Друккера идеально-пластические и произвольно упрочняющиеся материалы.

1. В прямоугольной декартовой системе координат x_i рассмотрим тело, находящееся под действием массовых сил X_i , поверхностных нагрузок P_i , приложенных на части поверхности S_p , и перемещений u_i , заданных на остальной части поверхности тела S_u . Будем считать, что эти воздействия зависят от времени t , но они настолько медленно изменяются, что можно пренебречь инерционными эффектами. Все деформации считаются малыми, в силу чего при составлении уравнений равновесия и граничных условий пренебрегаются изменения геометрии тела, вызванные его деформированием. Материал тела предполагаем устойчивым в смысле постулата Друккера, идеально-пластическим или произвольно упрочняющимся с регулярной или сингулярной поверхностью текучести. Для упрочняющихся материалов дополнительно будем считать, что функции упрочнения не зависят от скоростей напряжений. Таким образом, рассматриваются те материалы, для которых доказаны общие теоремы теории упруго-пластических сред [1].

Известно, что распределение скоростей напряжений $\dot{\sigma}_i$ в упрочняющемся материале статически возможно, если оно удовлетворяет дифференциальным уравнениям равновесия в объеме тела V и крайевым условиям для напряжений на S_p . Статически возможное распределение скоростей напряжений в идеально-пластическом материале должно также удовлетворять дополнительному условию

$$f' \equiv \frac{df}{d\dot{\sigma}_{ij}} \dot{\sigma}_{ij} \leq 0, \text{ если } f = 0 \quad (1.1)$$

так как материал не может воспринимать напряжения, превыщающие предел текучести (f — функция текучести).

Согласно минимальному принципу для скоростей напряжений [1], абсолютный минимум выражения*

* Случай разрывных полей не рассматривается.

$$\frac{1}{2} \int_V \dot{\varepsilon}_{ij}^* \dot{\varepsilon}_{ij}^* dv - \int_{S_u} \dot{\varepsilon}_{ij}^* n_j \dot{u}_i ds \quad (1.2)$$

определенного для всех статически возможных распределений скоростей напряжений $\dot{\varepsilon}_{ij}^*$, отвечает действительному распределению скоростей $\dot{\varepsilon}_{ij}$. Здесь через $\dot{\varepsilon}_{ij}$ обозначены скорости деформаций, соответствующие статически возможным скоростям напряжений $\dot{\varepsilon}_{ij}$, n_i — единичный вектор внешней нормали к поверхности тела, суммирование производится по повторяющимся латинским индексам.

Рассмотрим решение краевой задачи в скоростях напряжений в линейно упругой постановке, то есть распределение скоростей упругих напряжений $\dot{\varepsilon}_{ij}^{(e)}$ при тех же скоростях изменения воздействий X_i , P_i и \dot{u}_0 .

Очевидно, что эти скорости в случае упрочняющихся материалов всегда, а в случае идеально-пластических материалов при соблюдении дополнительного условия (1.1) являются статически возможными. Следовательно, в качестве статически возможного распределения скоростей напряжений можно принимать поле скоростей упругих напряжений $\dot{\varepsilon}_{ij}^{(e)}$, при этом не забывая, что в случае идеально-пластических материалов это означает ограничиться классом задач, для которых условие (1.1) удовлетворяется.

Полагая $\dot{\varepsilon}_{ij}^* = \dot{\varepsilon}_{ij}^{(e)}$, согласно минимальному принципу для скоростей напряжений имеем

$$\frac{1}{2} \int_V \dot{\varepsilon}_{ij}^{(e)} \dot{\varepsilon}_{ij}^{(e)} dv - \int_{S_u} \dot{\varepsilon}_{ij}^{(e)} n_j \dot{u}_i ds \geq \frac{1}{2} \int_V \sigma_{ij} \dot{\varepsilon}_{ij} dv - \int_{S_u} \dot{\varepsilon}_{ij} n_j \dot{u}_i ds \quad (1.3)$$

где $\dot{\varepsilon}_{ij}$ и $\dot{\varepsilon}_{ij}^{(e)}$ — действительные поля скоростей напряжений и деформаций. Скорости деформаций $\dot{\varepsilon}_{ij}^{(e)}$ соответствуют статически возможным скоростям напряжений $\dot{\varepsilon}_{ij}^{(e)}$ и имеют вид

$$\dot{\varepsilon}_{ij}^{(e)} = A_{ijkl} \dot{\varepsilon}_{kl}^{(e)} + \dot{\varepsilon}_{ij}^{(p)} = \dot{\varepsilon}_{ij}^{(e)} + \dot{\varepsilon}_{ij}^{(p)} \quad (1.4)$$

где $\dot{\varepsilon}_{ij}^{(e)}$ — действительные скорости деформаций в идеально линейно-упругом теле при скоростях воздействий X_i , P_i и \dot{u}_0 , а $\dot{\varepsilon}_{ij}^{(p)}$ — скорости пластических деформаций, которые имели бы место, если бы действительные напряжения σ_{ij} изменялись бы со скоростями $\dot{\varepsilon}_{ij}^{(e)}$.

Уравнение виртуальных работ [1]

$$\int_V \dot{\varepsilon}_{ij}^* \dot{\varepsilon}_{ij} dv = \int_V X_i \dot{u}_i dv + \int_S P_i \dot{u}_i ds \quad (1.5)$$

справедливо для любого распределения скоростей напряжений $\dot{\varepsilon}_{ij}^*$, уравновешенного внешними нагрузками X_i , P_i , и для любого поля скоро-

ствя перемещений \ddot{u}_i с соответствующим ему распределением скоростей деформаций

$$\dot{\varepsilon}_{ij} = \frac{1}{2} (\dot{u}_{i,j} + \dot{u}_{j,i})$$

(заятая перед индексом i означает частную производную по координате x_i). В уравнении виртуальных работ (1.5) поля скоростей $\dot{\varepsilon}_{ij}$ и \dot{u}_{ij} , вообще говоря, не связаны между собой.

Заметим, что разность скоростей напряжений $[\dot{\varepsilon}_{ij}^{(e)} - \dot{\varepsilon}_{ij}]$ самоуравновешена и соответствует нулевым скоростям на S_p ; действительные скорости деформаций ε_{ij} совместны и соответствуют заданным на S_0 скоростям u_{ij} . Применяя уравнение виртуальных работ (1.5) для $[\dot{\varepsilon}_{ij}^{(e)} - \dot{\varepsilon}_{ij}]$ и ε_{ij} , находим

$$\int_{S_0} [\dot{\varepsilon}_{ij}^{(e)} - \dot{\varepsilon}_{ij}] n_i u_{ij} ds = \int_V [\dot{\varepsilon}_{ij}^{(e)} - \dot{\varepsilon}_{ij}] \varepsilon_{ij} dv \quad (1.6)$$

С помощью (1.5) и (1.6) неравенство (1.3) приводим к виду

$$\int_V \dot{\varepsilon}_{ij}^{(e)} \varepsilon_{ij}^{(e)} dv - J > 0 \quad (1.7)$$

где

$$J = \int_V [2 \dot{\varepsilon}_{ij}^{(e)} \dot{\varepsilon}_{ij} - \dot{\varepsilon}_{ij}^{(e)} \dot{\varepsilon}_{ij} - \dot{\varepsilon}_{ij} \dot{\varepsilon}_{ij}] dv \quad (1.8)$$

Минимальный принцип для скоростей напряжений для идеально линейно-упругого тела формулируется так же, как и для упруго-пластического тела, только с той разницей, что скорости деформаций $\dot{\varepsilon}_{ij}$, соответствующие статически возможным скоростям напряжений $\dot{\varepsilon}_{ij}$, определяются из соотношений упругости

$$\dot{\varepsilon}_{ij} = A_{ijkl} \dot{\sigma}_{kl} \quad (1.9)$$

В качестве статически возможного поля скоростей напряжений в рассмотренном "упругом" теле можно принять $\dot{\varepsilon}_{ij} = \dot{\sigma}_{ij}$, то есть действительное поле скоростей напряжений в реальном упруго-пластическом теле при тех же скоростях воздействий X_i , P_i и u_{ij} . При этом роль действительных скоростей напряжений и деформаций играют $\dot{\varepsilon}_{ij}^{(e)}$ и $\dot{\varepsilon}_{ij}$ — решение "упругой" задачи в скоростях.

Согласно минимальному принципу для скоростей напряжений "упругого" тела при $\dot{\varepsilon}_{ij} = \dot{\sigma}_{ij}$ имеем

$$\frac{1}{2} \int_V \dot{\varepsilon}_{ij} \dot{\varepsilon}_{ij} dV - \int_{S_0} \dot{\varepsilon}_{ij} n_j u_i ds > \frac{1}{2} \int_V \dot{\varepsilon}_{ij}^{(e)} \dot{\varepsilon}_{ij}^{(e)} dV - \int_{S_0} \dot{\varepsilon}_{ij}^{(e)} n_j u_i ds \quad (1.10)$$

Пользуясь уравнением виртуальных работ (1.5), для самоуравновешенных скоростей напряжений $[\dot{\varepsilon}_{ij} - \dot{\varepsilon}_{ij}^{(e)}]$ и действительных скоростей деформаций «упругого» тела $\dot{\varepsilon}_{ij}^{(e)}$, будем иметь

$$\int_V [\dot{\varepsilon}_{ij} - \dot{\varepsilon}_{ij}^{(e)}] n_j u_i ds = \int_V [\dot{\varepsilon}_{ij} - \dot{\varepsilon}_{ij}^{(e)}] \dot{\varepsilon}_{ij}^{(e)} dV \quad (1.11)$$

Учитывая (1.11), из (1.10) получим

$$\int_V |\dot{\varepsilon}_{ij} \dot{\varepsilon}_{ij} + \dot{\varepsilon}_{ij}^{(e)} \dot{\varepsilon}_{ij}^{(e)} - 2\dot{\varepsilon}_{ij} \dot{\varepsilon}_{ij}^{(e)}| dV > 0 \quad (1.12)$$

Как как [1]

$$\dot{\varepsilon}_{ij} = \dot{\varepsilon}_{ij}^{(e)} + \dot{\nu}_{ij}$$

где $\dot{\nu}_{ij}$ — скорости остаточных напряжений, из (1.9) для $\dot{\varepsilon}_{ij}^{(e)}$ имеем

$$\dot{\varepsilon}_{ij}^{(e)} = A_{ijkl} [\dot{\sigma}_{kl}^{(e)} + \dot{\gamma}_{kl}] = \dot{\varepsilon}_{ij}^{(e)} + \dot{\varepsilon}_{ij}^{(p)} \quad (1.13)$$

Здесь через $\dot{\varepsilon}_{ij}^{(p)}$ обозначены скорости упругих деформаций, соответствующие скоростям остаточных напряжений $\dot{\gamma}_{ij}$.

Подставляя (1.13) в (1.12), находим

$$\int_V [|\dot{\varepsilon}_{ij}^{(e)} \dot{\varepsilon}_{ij}^{(e)} - \dot{\varepsilon}_{ij} \dot{\varepsilon}_{ij} - \dot{\varepsilon}_{ij} \dot{\varepsilon}_{ij}^{(e)}|] dV > 0 \quad (1.14)$$

Из уравнения виртуальных работ (1.5) для самоуравновешенных скоростей $[\dot{\varepsilon}_{ij} - \dot{\varepsilon}_{ij}^{(e)}]$ и совместных скоростей деформаций $[\dot{\varepsilon}_{ij} - \dot{\varepsilon}_{ij}^{(e)}]$, которым отвечают скорости перемещений, равные нулю на S_0 , имеем

$$\int_V |\dot{\varepsilon}_{ij} - \dot{\varepsilon}_{ij}^{(e)}| |\dot{\varepsilon}_{ij} - \dot{\varepsilon}_{ij}^{(e)}| dV = 0 \quad (1.15)$$

Вычитая из (1.14) два раза (1.15) и имея в виду равенство

$$\dot{\varepsilon}_{ij} = \dot{\varepsilon}_{ij}^{(e)} + \dot{\varepsilon}_{ij}^{(p)} - \dot{\varepsilon}_{ij}^{(e)}$$

получим

$$J = \int_V \dot{\varepsilon}_{ij} \dot{\varepsilon}_{ij} dV > 0 \quad (1.16)$$

Как будет показано ниже, неравенства (1.7) и (1.16) позволяют дока-

вать некоторые теоремы об упруго-пластическом равновесии тела при переменных внешних воздействиях.

2. *Теорема о приспособляемости при произвольном упрочнении материала.* Известные теоремы Мелана и Койтера о приспособляемости тел к переменным нагрузкам относятся к идеально-пластическим материалам. Для упрочняющихся материалов в силу появляющейся деформационной неоднородности пластических свойств нельзя ожидать существования теорем о приспособляемости в обычном смысле. Вопрос о приспособляемости при упрочнении материала, разумеется, должен ставиться вполне конкретно, с указанием конкретной программы изменения внешних воздействий, предшествующей наступлению приспособляемости.

Пусть в момент времени $t = t_0$ в теле из упрочняющегося материала реализовано упруго-пластическое состояние

$$\sigma_{ij}^0 = \sigma_{ij}(t_0), \quad \epsilon_{ij}^0 = \epsilon_{ij}(t_0) \quad (2.1)$$

отвечающее значениям воздействия

$$X_i^0 = X_i(t_0), \quad P_i^0 = P_i(t_0), \quad u_{in}^0 = u_{in}(t_0)$$

при данной истории их изменения.

Допустим, что в дальнейшем в некотором интервале времени $t_0 < t < t_1$ воздействия на тело X_i , P_i и u_{in} изменяются таким образом, что ни в одной точке тела не появляются новые пластические деформации. Тогда будем говорить, что тело из упрочняющегося материала, имеющее при $t = t_0$ упруго-пластическое состояние (2.1), приспособилось к дальнейшим изменениям внешних воздействий в данном интервале времени $t_0 < t < t_1$. Термин „приспособляемость“ при упрочнении материала будем понимать именно в этом смысле. Тогда справедлива следующая теорема.

Теорема. Для того, чтобы тело из упрочняющегося материала, имеющее при $t = t_0$ упруго-пластическое состояние (2.1), приспособилось к дальнейшим изменениям внешних воздействий X_i , P_i и u_{in} в интервале времени $t_0 < t < t_1$, необходимо и достаточно, чтобы напряжения

$$\bar{\sigma}_{ij} = \sigma_{ij}^0 + \int_{t_0}^t \dot{\sigma}_{ij}^{(p)} dt, \quad t_0 < t < t_1 \quad (2.2)$$

ни в одной точке тела не вызывали бы новых пластических деформаций, то есть удовлетворялось бы условие

$$\int \dot{\sigma}_{ij}^{(p)} \dot{\epsilon}_{ij}^{(p)} dv = 0, \quad t_0 < t < t_1 \quad (2.3)$$

Необходимость условия (2.3) непосредственно вытекает из определения приспособляемости.

Заметим, что достаточное условие приспособляемости тела при устойчивых упрочняющихся материалах с помощью постулата Друккера можно представить в виде

$$\int_V \dot{\sigma}_{ij} \dot{\varepsilon}_{ij} dv = 0, \quad t_0 \leq t \leq t_1 \quad (2.4)$$

где $\dot{\sigma}_{ij}$ и $\dot{\varepsilon}_{ij}$ — действительные скорости напряжений и пластических деформаций.

Достаточность же условия (2.3) докажем путем установления неравенства

$$\int_V \dot{\sigma}_{ij}^{(e)} \dot{\varepsilon}_{ij}^{(e)} dv \geq \int_V \dot{\sigma}_{ij} \dot{\varepsilon}_{ij} dv \quad (2.5)$$

Нетрудно заметить, что, складывая (1.7) и (1.16), приходим к неравенству (2.5), чем и завершается доказательство сформулированной теоремы.

В качестве примера применения этой теоремы может служить задача об упруго-пластическом осесимметричном изгибе круглой заземленной пластинки под действием конусообразно распределенной нагрузки, которая при постоянной равнодействующей устремляется к равномерной нагрузке.

Заметим, что доказанная теорема о приспособляемости позволяет, в частности, выяснить вопрос о наступлении процесса разгрузки во всех точках тела.

3. Теорема о работе скоростей внешних нагрузок. Из (1.16) в силу постулата Друккера следует неотрицательность интеграла J (1.8), который при фиксированных перемещениях на S_u с помощью уравнения виртуальных работ (1.5) приводится к виду

$$J = \int_V [\dot{\sigma}_{ij} \dot{\varepsilon}_{ij} - \dot{\sigma}_{ij}^{(e)} \dot{\varepsilon}_{ij}^{(e)}] dv = \int_V \dot{X}_i [\dot{u}_i - \dot{u}_i^{(e)}] dv + \int_{S_p} \dot{P}_s [\dot{u}_i - \dot{u}_i^{(e)}] ds \geq 0$$

Таким образом, доказана следующая теорема.

Теорема. При фиксированных перемещениях на S_u работа скоростей внешних нагрузок X_i и P_s для упруго-пластического тела из упрочняющегося материала (или из идеально-пластического материала, но при соблюдении условия (1.1)) не меньше, чем в случае упругого материала.

Теорему в общем случае можно доказать и для идеально-пластических материалов, освобождаясь от ограничения, налагаемого условием (1.1). Однако, на этом останавливаться не будем.

4. Теорема о действительности статически возможных скоростей изменения упругих напряжений для тел из идеально-пластических материалов.

Для устойчивых идеально-пластических материалов, согласно постулату Друккера, имеем [1]

$$\dot{\epsilon}_{ij} \dot{\epsilon}_{ij} = 0 \tag{4.1}$$

для всех соответственных скоростей изменения напряжений и скоростей пластических деформаций.

Имея в виду это обстоятельство, для значения интеграла J (1.8) из неравенств (1.7) и (1.16), соответственно, получим

$$J \leq 0 \text{ и } J \geq 0 \tag{4.2}$$

Комбинируя эти неравенства, приходим к результату

$$J = 0 \tag{4.3}$$

В силу этого, в случае идеально-пластических материалов, значения выражения (1.2), определенные для статически возможных скоростей упругих напряжений $\dot{\epsilon}_{ij}^{(e)}$ и действительных скоростей $\dot{\epsilon}_{ij}$, совпадают. Согласно минимальному принципу это равносильно совпадению самих скоростей напряжений, то есть

$$\dot{\epsilon}_{ij} = \dot{\epsilon}_{ij}^{(e)} \tag{4.4}$$

Отсюда вытекает теорема. *В случае идеально-пластических материалов статически возможные скорости упругих напряжений являются действительными.*

Из этой теоремы, в частности, вытекает, что если в некотором интервале времени $t_0 < t < t_1$ скорости упругих напряжений обеспечивают приспособляемость упруго-пластического тела из идеально-пластического материала, то приспособляемость на самом деле будет обеспечена. Этот результат отличается от теоремы о приспособляемости Мелана тем, что предполагает наличие решения упруго-пластической задачи для некоторого момента времени t_0 , что позволяет существенно упростить вопрос выяснения приспособляемости тела к дальнейшим изменениям внешних воздействий при $t > t_0$.

Институт математики и механики
АН Армянской ССР

Поступила 9 IV 1971

Բ. Մ. ԿՐԱՆՈՒՅԱՆ

ՊԲՓՈՒՍԱԿԱՆ ԱՐՏԱՔԻՆ ԱԶԿԵՅՈՒԹՅՈՒՆՆԵՐԻ ԳԵՊԳՈՒՄ ԱՌԱԶԳԱՊԱՍՏԻ-
ԿԱԿԱՆ ՄԱՐԲՆԻ ՀԱՎԱՍՏԱՐԱԿԹՈՒԹՅԱՆ ՎԵՐԱԲԵՐՅԱԿ ՄԻ ՔԱՆԻ
ԹԵՈՐԵՄԱՆԵՐ

Ա մ փ ո փ ո ո մ

Առաձգա-պլաստիկական միջավայրի ընդհանուր թերևսնեկրի հիման վրա ապացուցվում են առաձգա-պլաստիկական համասարակչողոթյան վերա-

բերքայ մի բանի թեորեմներ՝ փոփոխական արտաքին ազդեցությունների դեպքում: Դիսարկեզում են Գրուկերի պոստուլատի իմաստով կաշտն իզեալական պլաստիկ և կամայական ամրապնդվող նյութեր:

SOME THEOREMS ON ELASTIC-PLASTIC EQUILIBRIUM OF A SOLID UNDER VARIABLE EXTERNAL EFFECTS

R. M. KIRAKOSIAN

S u m m a r y

On the basis of general theorems for elastic-plastic media some theorems on elastic-plastic equilibrium of a solid under variable external effects are proved.

Perfectly plastic and arbitrary hardening materials are considered in terms of Drucker's postulate.

Л И Т Е Р А Т У Р А

1. Коштер В. Т. Общие теоремы теории упруго-пластических сред. ИЛ, 1961.

Г. А. МОВСИСЯН

К ОПРЕДЕЛЕНИЮ КРИТИЧЕСКИХ УСИЛИЙ ПОТЕРИ УСТОЙЧИВОСТИ ПРЯМОУГОЛЬНЫХ ПЛАСТИН ПРИ СМЕШАННЫХ ГРАНИЧНЫХ УСЛОВИЯХ

Настоящая работа посвящена определению критического усилия потери устойчивости равномерно сжатой в одном направлении прямоугольной пластинки при следующих граничных условиях: стороны, к которым приложены усилия, свободно оперты, а на двух других сторонах заданы смешанные условия. Формы выпучивания пластинки ищутся в виде рядов Фурье. Для определения постоянных интегрирования получают парные ряды-уравнения, которые приводятся к бесконечной системе линейных алгебраических уравнений. Критические значения усилий определяются из условия приравнивания нулю определителя этой системы.

Доказывается сходимость процесса итераций.

Насколько нам известно, ранее были рассмотрены задача изгиба прямоугольной пластинки со смешанными условиями [1], а также задача свободных колебаний [2].

1. Уравнение устойчивости пластинки берем в виде

$$D \nabla^2 \nabla^2 w - N_x \frac{\partial^2 w}{\partial x^2} = 0 \quad (1.1)$$

где сохранены обозначения [3].

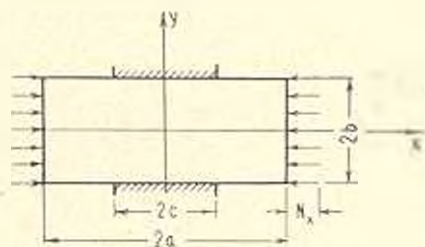
Имеем следующие граничные условия (фиг. 1):

$$w = \frac{\partial^2 w}{\partial x^2} = 0 \quad \text{при} \quad x = \pm a \quad (1.2)$$

$$\begin{aligned} w = \frac{\partial w}{\partial y} = 0 \quad \text{при} \quad -c < x < c & \quad \text{при} \quad y = \pm b \\ w = \frac{\partial^2 w}{\partial y^2} = 0 \quad \text{при} \quad a < x < -c & \quad c < x < a \end{aligned} \quad (1.3)$$

Решение (1.1) ищем в виде

$$w = \sum_{m=1}^{\infty} f_m(y) \sin \frac{m\pi(x+a)}{2a} \quad (1.4)$$



Фиг. 1.

удовлетворяющее условиям (1.2). Представляя (1.4) в виде

$$w = w_1 + w_2 \quad (1.5)$$

где

$$w_1 = \sum_{m=1}^{\infty} f_m(y) \sin \frac{m\pi}{a} x \quad (1.6)$$

$$w_2 = \sum_{m=1}^{\infty} f_m(y) \cos \frac{(2m+1)\pi}{2a} x \quad (1.7)$$

соответственно представляют два возможных случая формы потерь устойчивости относительно оси y : антисимметричный и симметричный, будем рассматривать каждый из них в отдельности.

2. *Антисимметричный случай.* Подставив (1.6) в уравнение (1.1), для определения функции $f_m(y)$ получим следующее дифференциальное уравнение:

$$f_m^{IV}(y) - 2\left(\frac{m\pi}{a}\right)^2 f_m''(y) + \left[\left(\frac{m\pi}{a}\right)^4 - N_x \left(\frac{m\pi}{a}\right)^2\right] f_m(y) = 0 \quad (2.1)$$

Общее решение (2.1) будет

$$f_m(y) = A_m^{(1)} \operatorname{ch} k_1 y + A_m^{(2)} \cos k_2 y + A_m^{(3)} \operatorname{sh} k_1 y + A_m^{(4)} \sin k_2 y \quad (2.2)$$

где

$$k_1 = \sqrt{\frac{m\pi}{a} \sqrt{\frac{N_x}{D} + \left(\frac{m\pi}{a}\right)^2}}, \quad k_2 = \sqrt{\frac{m\pi}{a} \sqrt{\frac{N_x}{D} - \left(\frac{m\pi}{a}\right)^2}} \quad (2.3)$$

Удовлетворяя граничным условиям (1.3), для коэффициентов $A_m^{(2)}$ и $A_m^{(4)}$ получим следующие системы уравнений:

$$\sum_{m=1}^{\infty} A_m^{(2)} (k_1 \operatorname{th} k_1 b \cos k_2 b + k_2 \sin k_2 b) \sin \frac{m\pi}{a} x = 0 \quad (0 < x < c) \quad (2.4)$$

$$\sum_{m=1}^{\infty} A_m^{(4)} (k_1^2 + k_2^2) \cos k_2 b \sin \frac{m\pi}{a} x = 0 \quad (c < x < a)$$

$$\sum_{m=1}^{\infty} A_m^{(4)} (k_1 \operatorname{cth} k_1 b \sin k_2 b - k_2 \cos k_2 b) \sin \frac{m\pi}{a} x = 0 \quad (0 < x < c) \quad (2.5)$$

$$\sum_{m=1}^{\infty} A_m^{(2)} (k_1^2 + k_2^2) \sin k_2 b \sin \frac{m\pi}{a} x = 0 \quad (c < x < a)$$

причем

$$A_m^{(1)} = -A_m^{(2)} \frac{\cos k_2 b}{\operatorname{ch} k_1 b}, \quad A_m^{(3)} = -A_m^{(4)} \frac{\sin k_2 b}{\operatorname{sh} k_1 b} \quad (2.6)$$

Учитывая, что наименьшее значение N_x получается в случае симметрии по отношению к оси x [3], в дальнейшем будем рассматривать систему (2.4). В то же время следует отметить, что все исследования, которые будут проведены для системы (2.4), совершенно аналогичным образом можно распространить на (2.5).

В системе (2.4) заменив

$$k_1^2 + k_2^2 = 2 \frac{m\pi}{a} \sqrt{\frac{N_x}{D}} \quad (2.7)$$

и введя обозначения

$$\begin{aligned} X_m &= A_m^{(2)} \sqrt{N_x} \cos k_2 b \\ \varphi &= \frac{\pi}{a} x, \quad \beta = \frac{\pi}{a} c \end{aligned} \quad (2.8)$$

получим

$$\begin{aligned} \sum_{m=1}^{\infty} X_m \frac{k_1 \operatorname{th} k_1 b - k_2 \operatorname{tg} k_2 b}{1 - N_x} \sin m\varphi &= 0 \quad (0 < \varphi < \beta) \\ \sum_{m=1}^{\infty} m X_m \sin m\varphi &= 0 \quad (\beta < \varphi < \pi) \end{aligned} \quad (2.9)$$

Производя некоторые преобразования, систему (2.9) приведем к виду

$$\begin{aligned} \sum_{m=1}^{\infty} X_m (1 - N_m) \sin m\varphi &= 0 \quad (0 < \varphi < \beta) \\ \sum_{m=1}^{\infty} m X_m \sin m\varphi &= 0 \quad (\beta < \varphi < \pi) \end{aligned} \quad (2.10)$$

где

$$N_m = 1 - \sqrt{\frac{D}{N_x}} (k_1 \operatorname{th} k_1 b + k_2 \operatorname{tg} k_2 b) \quad (2.11)$$

Имея в виду, что $\operatorname{tg} ix = i \operatorname{th} x$, можно показать, что при $m \rightarrow \infty$ N_m имеет порядок

$$N_m = \frac{\alpha}{m^2} + o\left(\frac{1}{m^2}\right) \quad (2.12)$$

где

$$\alpha = \frac{1}{8} \frac{\alpha^2}{\pi^2} \frac{N_x}{D} \quad (2.13)$$

Продифференцируем первое уравнение (2.10), умножим на $\cos \varphi/2 \times X (\cos \varphi - \cos \theta)^{-1/2}$, а затем проинтегрируем по φ от 0 до θ . Второе

уравнение (2.10) умножим на $\cos \varphi/2 (\cos \theta - \cos \varphi)^{-1/2}$ и проинтегрируем по φ от θ до π . После перечисленных преобразований, используя формулы для интегральных представлений полиномов Лежандра [4]

$$y_m(\cos \theta) - P_{m-1}(\cos \theta) - P_m(\cos \theta) = \frac{2\sqrt{2}}{\pi} \int_{\theta}^{\pi} \frac{\cos m\varphi \cos \varphi/2 d\varphi}{(\cos \varphi - \cos \theta)^{1/2}} =$$

$$= \frac{2\sqrt{2}}{\pi} \int_{\theta}^{\pi} \frac{\sin m\varphi \cos \varphi/2 d\varphi}{(\cos \theta - \cos \varphi)^{1/2}} \quad (2.14)$$

$$z_m(\cos \theta) = P_{m-1}(\cos \theta) - P_m(\cos \theta) = \frac{2\sqrt{2}}{\pi} \int_{\theta}^{\pi} \frac{\sin m\varphi \sin \varphi/2 d\varphi}{(\cos \varphi - \cos \theta)^{1/2}} =$$

$$= \frac{2\sqrt{2}}{\pi} \int_{\theta}^{\pi} \frac{\cos m\varphi \sin \varphi/2 d\varphi}{(\cos \theta - \cos \varphi)^{1/2}}$$

парные ряды уравнения приведем к следующему виду:

$$\sum_{m=1}^{\infty} m X_m (1 - N_m) y_m(\cos \theta) = 0 \quad (0 \leq \theta \leq \beta) \quad (2.15)$$

$$\sum_{m=1}^{\infty} m X_m y_m(\cos \theta) = 0 \quad (\beta < \theta \leq \pi)$$

Из (2.15) для определения коэффициентов X_m согласно [5] получим следующую бесконечную систему линейных алгебраических уравнений:

$$X_n = \sum_{m=1}^{\infty} a_{nm} X_m \quad (n = 1, 2, 3, \dots) \quad (2.16)$$

где введены следующие обозначения:

$$a_{mn} = \frac{mN_m}{2} \int_{\theta}^{\beta} y_m(\cos \theta) y_n(\cos \theta) \operatorname{tg} \frac{\theta}{2} d\theta =$$

$$= \frac{mN_m}{2} \frac{ny_m(\cos \beta) z_n(\cos \beta) - my_n(\cos \beta) z_m(\cos \beta)}{n^2 - m^2} \quad (2.17)$$

$$a_{nn} = \frac{nN_n}{2} \int_{\theta}^{\beta} y_n^2(\cos \theta) \operatorname{tg} \frac{\theta}{2} d\theta = \frac{N_n}{4} \left\{ 2 - 2P_{n-1}(\cos \beta) P_n(\cos \beta) + \right.$$

$$\left. + P_{n-1}^2(\cos \beta) - P_n^2(\cos \beta) - 4 \sum_{k=0}^{n-1} P_k(\cos \beta) [\cos \beta P_k(\cos \beta) - P_{k+1}(\cos \beta)] \right\}$$

Для существования ненулевых решений для коэффициентов X_n необходимо, чтобы определитель системы уравнений

$$X_n - \sum_{m=1}^{\infty} a_{nm} X_m = 0 \quad (n = 1, 2, 3, \dots) \quad (2.18)$$

равнялся нулю. Воспользовавшись этим условием, найдем критические значения N_1 .

Доказательство процесса итераций будет совершенно аналогичным доказательству [2].

3. *Симметричный случай.* Подставив (1.7) в (1.1), для $f_m(y)$ получим следующее выражение:

$$f_m(y) = B_m^{(1)} \operatorname{ch} s_1 y + B_m^{(2)} \cos s_2 y + B_m^{(3)} \operatorname{sh} s_1 y + B_m^{(4)} \sin s_2 y \quad (3.1)$$

где

$$s_1 = \sqrt{\frac{(2m+1)\pi}{2a} \sqrt{\frac{N_1}{D} - \frac{(2m+1)^2 \pi^2}{4a^2}}}$$

$$s_2 = \sqrt{\frac{(2m+1)\pi}{2a} \sqrt{\frac{N_1}{D} - \frac{(2m+1)^2 \pi^2}{4a^2}}} \quad (3.2)$$

Из граничных условий (1.3) получаем следующие системы уравнений:

$$\sum_{m=0}^{\infty} B_m^{(1)} (s_1 \operatorname{th} s_1 b \cos s_2 b + s_2 \sin s_2 b) \cos \frac{(2m+1)\pi}{2a} x = 0 \quad (0 < x < c) \quad (3.3)$$

$$\sum_{m=0}^{\infty} B_m^{(2)} (s_1^2 + s_2^2) \cos s_2 b \cos \frac{(2m+1)\pi}{2a} x = 0 \quad (c < x \leq a)$$

$$\sum_{m=0}^{\infty} B_m^{(3)} (s_1 \operatorname{cth} s_1 b \sin s_2 b - s_2 \cos s_2 b) \cos \frac{(2m+1)\pi}{2a} x = 0 \quad (0 \leq x < c) \quad (3.4)$$

$$\sum_{m=0}^{\infty} B_m^{(4)} (s_1^2 + s_2^2) \sin s_2 b \cos \frac{(2m+1)\pi}{2a} x = 0 \quad (c < x < a)$$

$$B_m^{(1)} = -B_m^{(2)} \frac{\cos s_2 b}{\operatorname{ch} s_1 b}, \quad B_m^{(3)} = -B_m^{(4)} \frac{\sin s_2 b}{\operatorname{sh} s_1 b} \quad (3.5)$$

Как и в антисимметричном случае, здесь также будем рассматривать систему (3.3).

Систему (3.3) можно привести к виду

$$\sum_{m=0}^{\infty} Z_m (1 - N_m^*) \cos \left(m + \frac{1}{2} \right) \varphi = 0 \quad (0 < \varphi < \beta)$$

$$\sum_{m=0}^{\infty} \left(m - \frac{1}{2} \right) Z_m \cos \left(m + \frac{1}{2} \right) \varphi = 0 \quad (\beta < \varphi < \pi) \quad (3.6)$$

где

$$Z_m = B_m^{(2)} | \overline{N_x} \cos s_1 b$$

$$\varphi = \frac{\pi}{a} x, \quad \beta = \frac{\pi}{a} c \quad (3.7)$$

$$N_m^* = 1 - \sqrt{\frac{D}{N_x}} (s_1 \operatorname{th} s_1 b + s_2 \operatorname{tg} s_2 b)$$

Заметим, что N_m^* будет иметь такой же порядок, что и N_m , то есть

$$N_m^* = \frac{a}{m^2} + O\left(\frac{1}{m^3}\right) \quad (3.8)$$

Согласно [6] решения парных рядов-уравнений (3.6) получают в следующем виде:

$$Z_n = -\frac{2n+1}{2} \sum_{m=0}^{\infty} Z_m N_m^* \int_0^{\beta} P_n(\cos \psi) P_m(\cos \theta) d \cos \theta +$$

$$+ \frac{2n+1}{-1} \frac{1}{2} \sum_{m=0}^{\infty} Z_m (-1)^m \int_0^{\beta} P_n(\cos \psi) \sin \theta d \theta \int_0^{\beta} \frac{d\varphi}{(\cos \theta - \cos \varphi)^{1/2}}$$

$$(n = 0, 1, 2, \dots) \quad (3.9)$$

Учитывая, что

$$\int_0^{\beta} \frac{d\varphi}{(\cos \theta - \cos \varphi)^{1/2}} = \frac{\pi \sqrt{2}}{2} P_{-1/2}(-\cos \theta) \quad (3.10)$$

а

$$\int_0^{\beta} P_n(\cos \theta) P_{-1/2}(-\cos \theta) \sin \theta d \theta = - \int_0^{\pi-\beta} (-1)^n P_n(\cos \psi) P_{-1/2}(\cos \psi) d \psi$$

решение (3.6) представится в виде

$$Z_n = -\frac{2n+1}{2} \sum_{m=0}^{\infty} d_{nm} Z_m \quad (n = 0, 1, 2, \dots) \quad (3.11)$$

где

$$d_{nm} = N_m^* \int_0^{\beta} P_n(\cos \theta) P_m(\cos \theta) d \cos \theta +$$

$$+ (-1)^{n+m} \int_0^{\beta} P_n(\cos \theta) P_{-1/2}(\cos \theta) d \cos \theta \quad (3.12)$$

Для вычисления интегралов можно воспользоваться формулами

$$\int P_n(x) P_m(x) dx = \frac{1-x^2}{(m-n)(m+n+1)} [P_n'(x) P_m(x) - P_m'(x) P_n(x)]$$

$$\int P_n^2(x) dx = \frac{1}{2n+1} \left[x P_n^2(x) - 2(1-x^2) \sum_{k=1}^{n-1} \frac{P_k(x) P_k'(x)}{k+1} \right] \quad (3.13)$$

причем

$$P_n'(x) = \frac{n+1}{1-x^2} [x P_n(x) - P_{n+1}(x)]$$

$$P_{-1/2}(\cos \theta) = \frac{2}{\pi} F\left(\frac{\pi}{2}, \sin \frac{\theta}{2}\right) \quad (3.14)$$

$$P_{1/2}(\cos \theta) = \frac{1}{\pi} \left[\frac{2\sqrt{2}}{\cos \theta} E\left(\frac{\pi}{2}, \sin \frac{\theta}{2}\right) - \sqrt{2} F\left(\frac{\pi}{2}, \sin \frac{\theta}{2}\right) \right]$$

где $F\left(\frac{\pi}{2}, \sin \frac{\theta}{2}\right)$ и $E\left(\frac{\pi}{2}, \sin \frac{\theta}{2}\right)$ — полные нормальные эллиптические интегралы Лежандра соответственно первого и второго рода.

Для определения критического значения усилий N_c воспользуемся условием существования ненулевых значений коэффициентов Z_n . Докажем сходимость процесса итераций.

Обозначая через

$$b = \sum_{m=0}^{\infty} (-1)^m Z_m$$

$$c_n = \int_0^{\pi/2} P_n(\cos \theta) P_{-1/2}(\cos \theta) d \cos \theta \quad (3.15)$$

$$a_{nm} = N_m^2 \int_0^{\pi/2} P_n(\cos \theta) P_m(\cos \theta) d \cos \theta$$

из (3.11) получим

$$Z_n = -\frac{2n+1}{2} \sum_{m=0}^{\infty} a_{nm} Z_m + (-1)^n c_n b \quad (3.16)$$

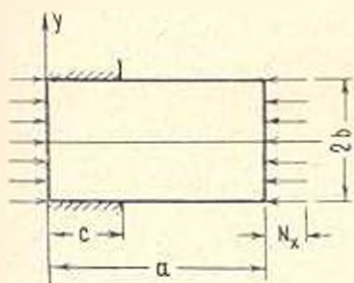
Следовательно, для неизвестных b и Z_n получим следующую систему уравнений:

$$b - \sum_{m=1}^{\infty} (-1)^m Z_m = 0 \quad (3.17)$$

$$(-1)^n c_n b - Z_n - \frac{2n+1}{2} \sum_{m=1}^{\infty} a_{nm} Z_m = 0 \quad (n = 0, 1, 2, \dots)$$

Учитывая (3.8) и что при больших n $P_n(x)$ стремится к нулю как $1/n^{1/2}$, легко проверить, что, начиная с некоторого n_0 ($n > n_0$, $m > m_0$), процесс итераций для определителя системы (3.17), а следовательно и для системы (3.11) будет сходящимся.

4. В качестве второй задачи определим критические значения потери устойчивости прямоугольной пластины при следующих граничных условиях (фиг. 2):



Фиг. 2.

$$w = \frac{\partial^2 w}{\partial x^2} = 0 \text{ при } x=0 \text{ и } x=a \quad (4.1)$$

$$w = \frac{\partial w}{\partial y} = 0 \text{ при } 0 \leq x < c \quad (4.2)$$

$$w = \frac{\partial^2 w}{\partial^2 y} = 0 \text{ при } c < x < a$$

$$\text{при } y = \pm b$$

Следовательно, решение (1.1) будем искать в виде

$$w = \sum_{m=1}^{\infty} f_m(y) \sin \frac{m\pi x}{a} \quad (4.3)$$

содержащем в себе все возможные формы потери устойчивости. Как видно, ход решения данной задачи полностью будет совпадать с решением первой задачи в случае антисимметрии относительно оси y . Критические значения N_x определяются также из определителя системы (2.18).

В заключение приведем результаты численного примера. Вычисления производились на ЭВМ „Раздан-3“ для пластины, у которых $\frac{h}{b} = \frac{1}{100}$ при различных значениях отношений сторон $\frac{a}{b}$ и $\beta = \frac{\pi}{a} c$.

В тех случаях, когда $\frac{a}{b} < 2$, были решены определители второго и третьего порядка, а при $\frac{a}{b} > 2$ — восьмого и десятого порядка. В

табл. 1 приводятся значения безразмерной величины $N_x \frac{h^2}{D} \cdot 10^6$, полученные из определителей третьего ($\frac{a}{b} < 2$) и десятого ($\frac{a}{b} > 2$) порядка.

Таблица 1

$\frac{a}{b}$	0	$\frac{1}{4}$	$\frac{1}{2}$	$\frac{3}{4}$	-
0.4 2	3594	3640	3717	3754	3758
0.5 2	2489	2553	2656	2708	2714
0.6 2	1907	1975	2108	2180	2187
1 2	1117	1225	1505	1707	1730
2	987	1137	1456	1833	1898
4	987	1075	1100	1393	1720
6	987	1025	1073	1171	1740
8	987	1007	1027	1099	1720

Значения $\beta = 0$ и $\beta = \infty$ означают, что стороны $y = \pm b$ полностью свободно оперты или полностью заделаны, следовательно, N_x можно вычислить по [3].

Следует отметить, что приведенные значения практически совпадают со значениями, полученными из определителей второго ($\frac{a}{b} < 2$) и восьмого ($\frac{a}{b} > 2$) порядка (наибольшее отклонение составляет всего лишь 0.06%). Как видно из таблицы, значение $N_x \cdot \frac{b^3}{D} \cdot 10^9$ вместе с возрастанием β увеличивается, оставаясь между известными из [3] пределами, причем это увеличение для разных отношений $\frac{a}{b}$ происходит не с одинаковой скоростью.

Ереванский политехнический институт
им. К. Маркса

Поступила 16 IV 1971

Գ. Ա. ՄԱՍԻՍՅԱՆ

ԿԱՐԵ ԵՊՐՈՅԻՆ ՊԱՅՄԱՆՆԵՐՈՎ ՈՐԸՂԱՆՆՅՈՒՆ ՍԱԼԻ ԿԱՅՈՒՆՈՒԹՅՈՒՆԸ
ԿՈՐՑՆԱՐԸ ԿՐԻՏԻՑՈՒԿԱՆ ՃԻՒՆԵՐԻ ՈՐՈՇՄԱՆ ՇՈՒՐՋԸ

Ա. Վ Փ Ո Փ Ո Վ

Պատարկում է ուղղանկյուն աալ, որի երկու հանդիպակաց կողմերը արժեքային հենված են, իսկ մյուս երկու կողմերի համար տրված են խառը պայմաններ:

Ուժերը կիրառված են լրիվ ազատ հենված կողմերի վրա: Սալի կայունությունը կարգնելու ձևերը վերցվում են ֆորմի շարքերի տեսքով: Ինտեգրման առատությունների համար եզրային պայմաններից ստացվում են գույք շարքավաասարումներ, որոնք բերվում են գծային հանրահաշվական հավասարումների անվերջ սխառումի: Ճիշդերի կրիտիկական արժեքները որոշվում են այդ սխառումի որոշի գրո լինելու պայմանից: Բերվում է թվային օրինակ:

ON DEFINITION OF CRITICAL INSTABILITY FORCES FOR A
RECTANGULAR PLATE WITH MIXED BOUNDARY
CONDITIONS

G. A. MOVSISIAN

S u m m a r y

The value of critical forces of instability for a rectangular plate with mixed boundary conditions is determined. It is supposed that forces are applied to those two opposite sides which are freely supported. The deflection forms are taken in the Fourier series. For the constants of integration dual trigonometrical series are obtained from the boundary conditions; these series are reduced to an infinite set of linear algebraic equations. The values of critical forces are defined equating the determinant of the set to zero. It is proved that the process of iteration converges. A numerical example is given.

Л И Т Е Р А Т У Р А

1. Минцян Р. С. Об одной смешанной задаче изгиба прямоугольной пластины. Докл. АН АрмССР, т. 22, № 1, 1956.
2. Мовсисян Г. А. К определению частот собственных колебаний прямоугольной пластины при смешанных граничных условиях. Изв. АН АрмССР, Механика, т. XXIV, № 5, 1971.
3. Тимошенко С. П. Устойчивость упругих систем. ГИТТЛ, М.-Л., 1946.
4. Лебедев П. Н. Специальные функции и их приложения. ГИТТЛ, М., 1953.
5. Баблоян А. А. Решение некоторых парных уравнений ПММ, т. 31, в. 4, 1967.
6. Баблоян А. А. Решение некоторых «парных» рядов. Докл. АН АрмССР, т. 30, № 3, 1964.

Ю. В. ТАТЕВОСЯН, В. Е. НАКОРЯКОВ, А. П. БУРДУКОВ

ИССЛЕДОВАНИЕ КАСАТЕЛЬНЫХ НАПРЯЖЕНИЙ В ВЕРТИКАЛЬНОМ ДВУХФАЗНОМ ПОТОКЕ

Исследование закономерностей изменения основных гидродинамических параметров, характеризующих течение газожидкостных смесей, имеет большое значение, так как без знания этих параметров невозможно создать единую теорию, описывающую двухфазное течение.

Одним из важных параметров является касательное напряжение на стенке τ . Прямых методов измерения τ при течении двухфазных сред практически нет. Измерение потерь на трение в двухфазных потоках проводится косвенным образом, через измерение среднего по сечению истинного газосодержания — β , методы измерения которого [2; 3] не дают надежных результатов при большом диапазоне газосодержания в потоке.

Простейшим приближением для расчета τ служит однородная модель, по которой

$$\tau = C_f \frac{\rho_m w_m^2 L}{2gd} \quad (1)$$

где w_m — приведенная скорость смеси,

C_f — коэффициент трения однородного потока [1],

d, L — диаметр и длина канала соответственно.

Широко известен также метод Локкарта-Мартинелли [4].

В работе описываются результаты измерения касательных напряжений на стенке канала при изотермическом неустановившемся течении двухфазного потока электрохимическим методом, который дает возможность получить действительное напряжение на стенке канала [5]. Метод заключается в измерении предельного диффузионного тока i в электролитической ячейке, состоящей из текущего в канале электролита, анода и поляризованного катода-датчика. В качестве электролита используется 0.001 — 0.15 N водный раствор ферри-ферроцианида с фоновым 0.5 N раствором $NaOH$. Связь между τ и i выражается зависимостью

$$\tau = \frac{1.87 \rho l^3 i^2}{F^2 F_H^2 D^2 C^2} \quad (2)$$

где C — концентрация $K_3Fe(CN)_6$ в объеме электролита,

D — коэффициент диффузии,

l — продольный размер датчика по потоку,

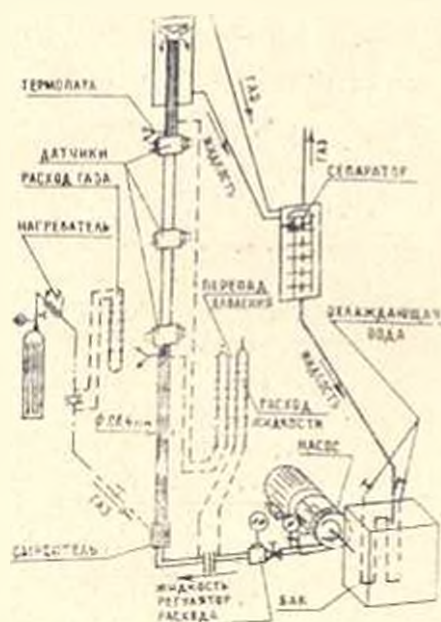
h — ширина датчика,

F — число Фарадея,

μ — коэффициент динамической вязкости.

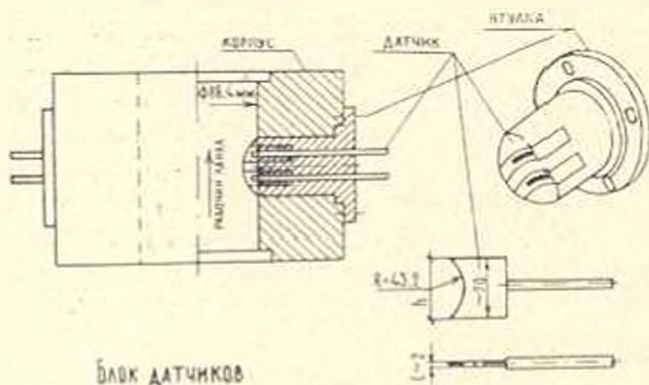
Формула (2) применима для двухфазного потока, если на стенке канала существует сплошная пленка жидкости. Опыты проводились

на вертикальной трубе диаметром $d = 86,4$ мм. Схема установки показана на фиг. 1.



Фиг. 1. Схема экспериментальной установки.

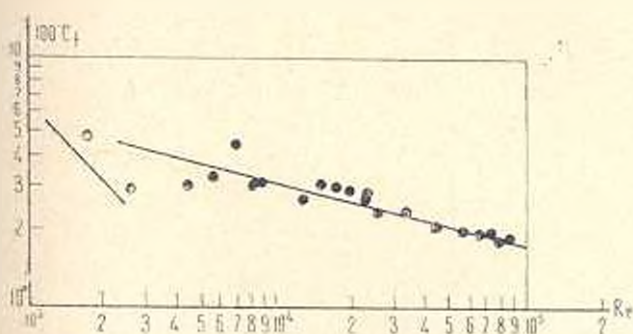
стоит из корпуса и 2-х оргстеклянных втулок с заделанными заподлицо никелевыми пластинками (фиг. 2).



Фиг. 2. Блок датчиков

Средний размер датчиков в исследуемых опытах равен $l = 2$ мм, $h = 20$ мм. Проверкой качества датчиков служило сопоставление данных измерений электрохимическим методом с расчетными значениями

по известным зависимостям для различных значений числа Рейнольдса Re для однофазной жидкости (фиг. 3).



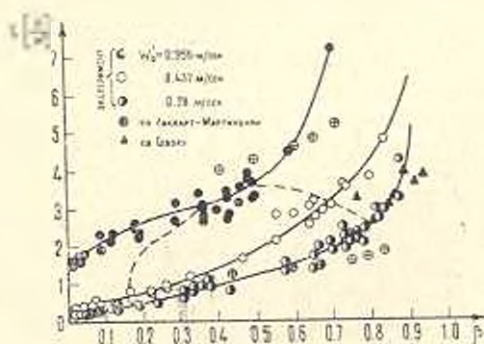
Фиг. 3. Тарировка датчиков (— расчет по Блазиусу, ● экспериментальные точки)

В качестве газовой фазы в опытах использовался чистый азот. Температура жидкости поддерживалась в пределах $22-25^\circ\text{C}$.

Значения кинематической вязкости были измерены нами в диапазоне изменения температуры от $15-30^\circ\text{C}$, а данные по коэффициенту диффузии были взяты из литературы [8]. Перед и после каждой серии опытов производился замер концентрации ионов феррицианида в растворе потенциометрическим титрованием. Газожидкостная смесь создавалась в смесителе на расстоянии 35 калибров от перного датчика, вдувом газа через сопло. Опыты проводились в диапазоне приведенных скоростей жидкости $w = 0.05 - 0.956$ м/сек; максимальные скорости газа w_0 достигали 2 м/сек. Во время каждой серии опытов расход жидкости поддерживался постоянным, а изменялся расход газа. В измерительной электрической цепи величина регулируемого напряжения измерялась ламповым вольтметром, а величина предельного диффузионного тока миллиамперметром и одновременно записывалась на осциллографе Н-700.

Для исследования течения режимов на участке визуализации проводилась киносъемка.

На фиг. 4 представлены результаты опытов для разных значений w_0 в виде зависимости τ от расходного объемного газосодержания β , а также расчетные данные по методу Локкарта-Мартинелли [4] и экспериментальные данные Говера [7]. Из графика видно, что при $w_0 = 0.956$ м/сек и $\beta > 0.6$ расчет по [4] даст заниженные значения τ , а при $\beta < 0.6$ — завышенные. С уменьшением



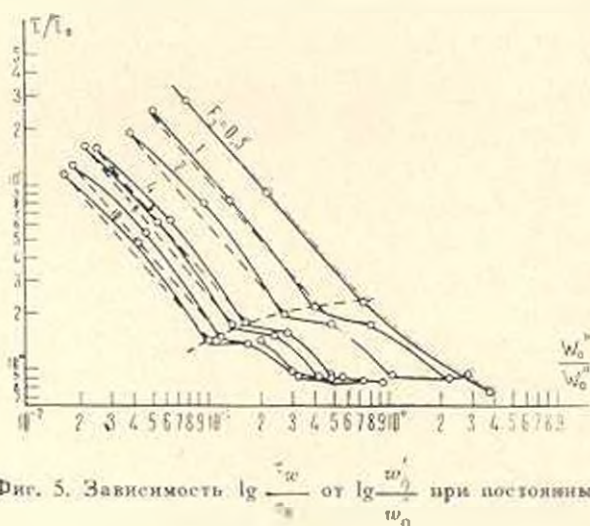
Фиг. 4. Обработка экспериментальных данных авторов в координатах τ и β

w_0 , расхождения наших экспериментальных данных от данных [4] начинаются при $\beta > 0.3$. Экспериментальные данные Гонера при $\beta > 0.65$ имеют хорошее совпадение с нашим экспериментом.

На фиг. 5 представлена обработка наших данных в координатах τ/τ_0 от w/w_0 при постоянных числах Фруда, где

$$F_r = \frac{w_{c0}^2}{g d^3} \quad (3)$$

Зону стержневого режима можно представить в виде степенной функции $\tau/\tau_0 = A (F_r)^m (w/w_0)^n$ (4), где m и n — угловые коэффициенты линий при $F_r = \text{const}$ и $w/w_0 = \text{const}$.



Фиг. 5. Зависимость $\lg \frac{\tau}{\tau_0}$ от $\lg \frac{w}{w_0}$ при постоянных числах Фруда.

Окончательно формула имеет вид

$$\tau/\tau_0 = 1.066 (F_r)^{-0.84} \left(\frac{w}{w_0} \right)^{-1.13} \quad (5)$$

где τ_0 — трение, вычисленное по гомогенной модели.

Визуальным наблюдением и киносъемкой отчетливо зафиксированы три режима течения потока: пузырьковый, снарядный, стержневой.

Границы этих режимов на фиг. 4 нанесены пунктирными линиями. Пузырьковый режим наблюдается при $\beta = 0.18 - 0.35$, причем с увеличением w граница перехода к снарядному режиму по β смещается в сторону больших β .

Снарядный режим наблюдался при $\beta = 0.18 - 0.75$ для малых расходов жидкости и $\beta = 0.35 - 0.5$ для больших расходов. Граница пе-

режима к стержневому режиму с увеличением w смещается в сторону меньших β .

Институт теплофизики
СО АН СССР

Поступила 3 V 1971

Յու. Վ. ԲԱԹԵՎՈՍԻԱՆ, Վ. Ե. ՆԱԿՈՐԻԱԿՈՎ, Ա. Պ. ԲՈՐԴՈՒԿՈՎ

ԵՆՇՍՓՈՎ ԼԱՐՈՒԳՆԵՐԻ ԼԵՏԱԶՈՏՈՒՄԸ ՈՆՂՂԱԶԱՅԱՑ ԵՐԿՅԱԶ ՀՈՒՔՈՒՄ

Ա Վ Փ Ո Փ Ո Ւ Մ

Աշխատանքում զետեղված են ուղղահայաց խողովակի պատի վրա դոյա-
յան շփման ուժի փորձնական եղանակով չափման արդյունքները, երբ խողո-
վակով հոսում է հեղուկ-գազ սխտեմ:

Չափումները կատարված են էլեկտրարիմիտիան եղանակով հեղուկի և
գազի տրրեքի բերված արադոսիցունների (ծախսի) ղեկարում:

STUDY OF WALL SHEAR STRESSES IN A VERTICAL TWO-PHASE FLOW

Yu. W. TATEVOSIAN, W. E. NAKORIAKOV, A. P. BURDUKOV

S u m m a r y

The work presents the results of experimental study of the wall shear stresses of a two-phase flow in a vertical channel at various liquid and gas velocities, using electrochemical method.

Л И Т Е Р А Т У Р А

1. Кутателадзе С. С., Стыркинович М. А. Гидравлика газожидкостных смесей. Гостехиздат, М., 1958.
2. Армонд А. А. Исследование механизма движения двухфазной смеси в вертикальной трубе. Изв. ВТИ, № 2, 1950.
3. Ishii H. S., Sher N. C., Eddy K. C. A. i. Chem. Eng. Journal, vol. 3, 1957.
4. Streetor V. L. Handbook of fluid dynamics. Mc Graw-Hill Book company W. Y., 1961, pp. 17-1.
5. Кутателадзе С. С., Накоряков В. Е., Бурдуков А. П., Кузьмин В. А. Применение электрохимического метода измерения трения в гидродинамике двухфазных сред. Тепло и массоперенос, т. II, Минск, 1968, стр. 367.
6. Кузьмин В. А., Покуснев Б. Г. Измерение трения в двухфазных потоках электрохимическим методом. Ж. ПМТФ, М., 1969.
7. Govier G. W. and Leigh W. Short. Can. J. Chem. Eng., vol. 36, p. 193, October, 1958.
8. Arvia A. I., Morchland S. L., Podesta I. I. Electrochimica Acta, 1967, vol. 12, p. 259. Pergamon Press td. Printed in Northern Ireland.

К. С. КАРАПЕТЯН, Р. А. КОТИКЯН

ВЛИЯНИЕ ДЛИТЕЛЬНОГО РАСТЯЖЕНИЯ НА ПРОЧНОСТЬ И ДЕФОРМАТИВНОСТЬ БЕТОНА

В процессе длительного нагружения бетона, вследствие развивающихся деформаций ползучести, изменяются прочность и деформативные свойства бетона. Из немногочисленных опытов известно, что в зависимости от различных факторов длительное нагружение может привести как к увеличению прочности и модуля деформации бетона, так и к их падению.

Вопрос о том, как влияет длительное растяжение на прочность и деформативность бетона, до сих пор мало исследован. Исследования А. В. Сатакниа и Б. А. Сенченко [1] показали, что при определенных условиях длительное растяжение бетона в раннем возрасте может привести к увеличению его прочности на растяжение. То же самое известно и из опытов Ф. А. Абасова [1].

Влияние длительного растяжения на прочность и деформативность бетона изучалось также одним из авторов настоящей статьи. Исследования позволили установить, что влияние длительного растяжения помимо величины напряжения в процессе длительного нагружения, в большой мере зависит и от направления растягивающей нагрузки по отношению к слоям бетонирования. Благодаря длительному растяжению влияние анизотропии на прочность и деформации бетона уменьшается [2].

Настоящая работа посвящена исследованию влияния длительного растяжения на прочность и деформативность бетона в зависимости от величины напряжения и возраста бетона к моменту нагружения.

Методика исследования

Для исследования влияния длительного растяжения на прочность и деформативность бетона были использованы образцы из большой серии опытов по изучению зависимости между напряжениями и деформациями ползучести при растяжении с учетом старения бетона.

Опыты были поставлены на больших восьмерках сечением 10·10 см, высотой 60 см, изготовленные из тяжелого бетона состава 1:1, 81:2, 19 (по весу), $V_{ц} = 0.485$. Материалами для приготовления бетона являлись базальтовый щебень, кварцевый песок и шлакопортландцемент марки 600.

Всего было приготовлено шесть замесов бетона и из каждого изготовлено по 20 восьмерок и необходимое количество кубиков с ребром 10 см. Восьмерки бетонировались в горизонтальном положении. Приготовление бетона производилось вручную, а уплотнение на вибро-

площадке — при продолжительности вибрации 30 сек. Образцы освобождались от форм через 48 час и далее находились в обычных лабораторных условиях.

На длительное растяжение образцы загружались в возрасте бетона: 3; 7; 14; 27; 84 и 280 сут. при относительных напряжениях: 0.2; 0.4; 0.6; 0.7 и 0.8 в каждом возрасте. Как правило, все образцы, загружаемые в одном возрасте, принадлежали одному замесу бетона. После разгрузки образцов и измерения их обратимых деформаций все они были испытаны под кратковременной растягивающей нагрузкой до разрушения. Одновременно испытывались и те образцы, на которых определялись усадочные деформации. Испытание образцов производилось ступенчатым повышением нагрузки и измерением деформаций до момента разрушения. Испытание каждого образца длилось не более 3-х минут.

Влияние длительного растяжения на прочность бетона при растяжении

В табл. 1 приведены прочностные показатели испытанных образцов.

Как видно из данных табл. 1, длительное растяжение привело к повышению прочности тех образцов, которые были загружены на длительное растяжение в возрасте 3 и 7 сут. Падение прочности тем существеннее, чем моложе бетон и больше относительное напряжение в момент длительного нагружения.

Таблица 1

Влияние длительного растяжения на прочность бетона при растяжении

Возраст бетона в момент длительного нагружения в сут.	Прочность бетона в момент длительного нагружения кг/см ²		Длительность нагружения в сут.	Возраст бетона в момент испытания на разрушение в сут.	Прочность бетона на растяжение в кг/см ² , когда относительное напряжение в момент длительного нагружения составляет					
	R ₁	R ₂			0	0.2	0.4	0.6	0.7	0.8
3	117	7.7	537	639	12.4 1.00	12.4 1.00	12.7 1.02	11.5 0.92	11.0 0.88	8.8 0.71
7	180	8.7	557	664	14.9 1.00	14.2 0.95	14.6 0.98	13.2 0.89	11.8 0.79	12.7 0.86
14	230	10.6	547	662	14.6 1.0	14.4 0.99	14.4 0.99	14.4 0.99	13.3 0.91	14.1 0.97
27	258	14.2	539	664	13.7 1.01	13.7 1.00	14.3 1.04	12.2 0.89	13.2 0.96	—
84	283	14.4	477	659	15.4 1.00	15.5 1.01	15.7 1.02	15.9 1.03	15.6 1.01	14.6 0.95
280	308	12.3	280	658	13.4 1.00	13.0 0.97	13.5 1.01	12.0 0.90	14.1 1.03	13.0 1.04

По данным испытаний образцов, нагруженных в возрасте бетона 14; 27; 84 и 280 сут. длительное растяжение уже практически не оказывает влияния на прочность бетона.

Влияние длительного растяжения на последующие деформации бетона под кратковременной растягивающей нагрузкой

Экспериментальные данные деформаций бетонных восьмерок под кратковременной растягивающей нагрузкой подвергались статистической обработке по методике [3], позволяющей одновременно учитывать все точки каждой экспериментальной кривой.

Экспериментальные кривые аппроксимировались по корреляционному уравнению

$$\varepsilon = \frac{a \frac{\varepsilon}{R_p}}{1 - b \frac{\varepsilon}{R_p}} \quad (1)$$

Между обратимыми значениями величин ε и ε/R_p этого уравнения существует линейная зависимость, что намного облегчило вычисление значений параметров a и b .

Для оценки линейности корреляционных уравнений вычислялся критерий $F = 1 - r^2$, и его основная ошибка $\varepsilon_f = 1/\sqrt{n}$, где r — коэффициент корреляции, n — число точек экспериментальной кривой. Связь между двумя статистическими величинами можно полагать линейной, если выполняется неравенство [3]

$$\varepsilon_f < 3 \quad (2)$$

Данные табл. 2 показывают, что корреляция между обратимыми значениями деформаций бетона и относительным напряжением является существенно линейной для всех возрастов и длительно действующих нагрузок.

В табл. 3 приведены деформации бетонных восьмерок под кратковременной растягивающей нагрузкой (при $P = 800$ кГ) и данные их статистической обработки. Как видим, показатель точности экспериментов в большинстве случаев не превышает 5–7%, что говорит о хорошей точности экспериментов.

На фиг. 1 для каждого возраста бетона τ на отдельном графике представлено семейство кривых кратковременных деформаций при растяжении тех образцов, которые ранее испытывали разные постоянные растягивающие напряжения в процессе длительного нагружения, а также для сравнения кривая деформаций усадочных образцов. Кривые деформаций рассчитаны по выражению (1) с использованием значений параметров a и b (табл. 2).

Исследования К.С. Каралетяна [4] показали, что, когда в процессе длительного сжатия бетон претерпевает линейную или скоропроходящую нелинейную ползучесть, то независимо от возраста бетона в момент длительного нагружения последующие деформации бетона под кратковременной сжимающей нагрузкой уменьшаются.

При нелинейной ползучести, когда нелинейность деформаций ползучести во времени увеличивается, последующие деформации бетона под кратковременной сжимающей нагрузкой увеличиваются и одновременно изменяется характер их зависимости от напряжений.

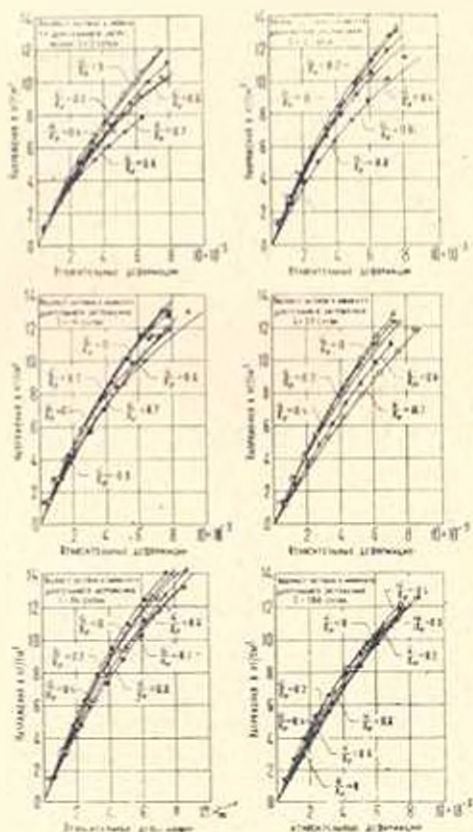
Таблица 2

Возраст бетона к моменту длительного нагружения и сут.	Относительное напряжение в момент длительного нагружения	Число экспериментальных точек	Параметры корреляционного уравнения		Коэффициент корреляции	$\frac{\sigma}{\sigma_0}$
			a	b		
3	0	36	5.26	0.42	0.995	0.30
	0.2	36	4.33	0.37	0.999	0.11
	0.4	18	5.92	0.36	0.999	0.11
	0.6	36	5.70	0.31	0.997	0.23
	0.7	54	5.25	0.48	—	—
	0.8	18	4.94	0.48	—	—
7	0	36	5.27	0.43	0.996	0.25
	0.2	36	5.29	0.44	0.997	0.23
	0.4	54	5.81	0.35	1.000	0.00
	0.6	54	4.96	0.46	0.992	0.36
	0.8	54	5.81	0.46	0.981	0.58
14	0	36	5.81	0.35	1.00	0.00
	0.2	36	5.20	0.43	—	—
	0.4	54	5.40	0.38	—	—
	0.6	54	5.80	0.52	0.998	0.10
	0.7	54	4.61	0.54	—	—
	0.8	36	6.34	0.35	0.995	0.30
27	0	36	5.63	0.38	—	—
	0.2	36	5.31	0.38	0.999	0.11
	0.4	36	5.66	0.35	—	—
	0.6	54	6.05	0.27	—	—
	0.7	36	7.45	0.26	—	—
84	0	36	4.35	0.44	—	—
	0.2	36	4.93	0.45	—	—
	0.4	54	5.55	0.41	—	—
	0.6	54	6.30	0.40	0.996	0.27
	0.7	36	5.88	0.47	0.997	0.23
280	0	18	5.78	0.38	1.00	0.00
	0.2	36	4.73	0.49	1.00	0.00
	0.4	54	5.70	0.36	—	—
	0.6	54	5.61	0.28	0.997	0.23
	0.7	36	6.34	0.35	1.000	0.00
	0.8	18	6.74	0.31	0.999	0.11

Таким образом, влияние длительного сжатия на последующие деформации бетона тесно связано с ползучестью, которая в зависимости от величины напряжения и возраста бетона к моменту нагружения может быть линейной и нелинейной.

Нет сомнения, что и влияние длительного растяжения на деформации бетона также связано с явлением ползучести.

На фиг. 1 обращает на себя внимание то обстоятельство, что длительное растяжение бетона даже в зрелом возрасте относительно высокими уровнями напряжений не приводит к изменению характера кривых деформаций, как это имеет место при длительном сжатии [4].



Фиг. 3.

С другой стороны, если длительное сжатие бетона в раннем возрасте приводит к уменьшению ее последующих деформаций под кратковременной сжимающей нагрузкой, то, как следует из верхних двух графиков фиг.1, длительное растяжение, наоборот, приводит к увеличению растяжимости бетона. На этих графиках ($t = 3$ и 7 сут.) все кривые деформаций длительно растянутых образцов расположились ниже кривой деформаций усадочных образцов, и деформации бетона получившие тем больше, чем больше было относительное напряжение в момент длительного нагружения.

Рассматривая остальные четыре графика фиг. 1 ($t = 14; 27; 84$ и 280 сут.), нетрудно заметить, что на этих графиках кривая деформаций длительно растянутых образцов, для которых $\varepsilon_{R_0} = 0.2$, лежа

Таблица 3

Данные статической обработки экспериментов

Время длительно-го за-гружения в сут.	Относительные напряжения и момент длительного за-гружения	Число из-мерений	Относитель-ные дефор-мации при $P = 800 \text{ кг}$ $\bar{\epsilon}_{cp} \cdot 10^3$	Среднее квадратич-ное откла-онение	Кoeffици-ент вариа-ции v^0_0	Показатель точности 0^0
3	0	4	4.22	0.6952	16.36	8.2
	0.2	4	4.97	0.6185	12.43	6.2
	0.4	4	4.40	0.4545	10.33	5.2
	0.6	4	5.22	1.4805	28.33	14.2
	0.7	6	5.28	1.2460	23.93	9.8
	0.8	2	6.50	0.7075	10.88	7.7
7	0	4	3.55	0.3700	10.42	5.2
	0.2	4	4.17	0.6655	15.93	7.7
	0.4	6	4.05	0.5090	12.57	5.1
	0.6	6	4.30	0.8365	19.45	7.2
	0.8	6	5.10	0.5750	11.57	4.7
14	0	4	4.00	0.1663	4.16	2.1
	0.2	4	3.85	0.3870	10.05	5.2
	0.4	6	3.93	1.1250	28.60	11.7
	0.6	6	4.87	0.4320	8.87	3.6
	0.7	4	4.10	0.0200	4.88	2.4
	0.8	4	4.35	0.6450	14.80	7.4
27	0	4	3.93	0.1500	3.82	1.9
	0.2	4	3.83	0.3860	10.07	5.0
	0.4	4	4.03	0.3200	7.97	4.0
	0.6	6	4.77	0.4590	9.62	3.9
	0.7	4	5.58	1.7290	30.80	15.5
84	0	4	3.65	0.4020	11.01	5.5
	0.2	4	3.32	0.4110	12.40	6.2
	0.4	6	3.53	0.3333	9.43	—
	0.6	6	3.90	0.2830	7.26	3.0
	0.7	4	4.15	0.0580	1.40	0.7
	0.8	4	4.25	0.9815	23.1	11.6
280	0	2	4.65	0.4990	10.64	7.5
	0.2	4	4.17	0.4180	10.34	5.0
	0.4	6	4.20	0.7320	17.42	7.1
	0.6	6	4.61	0.3333	7.16	2.9
	0.7	4	4.47	0.4990	11.16	5.6
	0.8	2	4.70	0.5590	11.70	8.3

выше кривой деформаций усадочных образцов, а все остальные кривые, соответствующие $\epsilon R_0 = 0.4; 0.6; 0.7$ и 0.8 — ниже.

Таким образом, при $\tau = 14$ сут., если в момент длительного нагружения $\epsilon R_0 < 0.2$, то длительное растяжение приводит к повышению модуля деформации бетона, а с дальнейшим повышением ϵR_0 имеет место обратное явление (табл. 4).

Таблица 4

Влияние длительного растяжения на модуль деформации бетона

Возраст бетона к моменту длительного нагружения в сут.	Относительное напряжение и момент длительного нагружения	Модуль деформации бетона по касательной в T см ² , когда относительное напряжение при кратковременном растяжении составляет				Модуль деформации образцов, подвергнутых длительному растяжению в % от модуля деформации усадочных образцов, когда относительное напряжение при кратковременном растяжении составляет			
		0	0.25	0.50	0.75	0	0.25	0.50	0.75
3	0	260	212	168	129	100	100	100	100
	0.2	209	173	141	111	80	82	84	86
	0.4	223	190	159	131	86	90	95	102
	0.6	241	182	132	90	93	86	79	69
	0.7	225	174	130	92	87	82	77	71
	0.8	218	169	126	89	84	79	75	69
7	0	282	225	174	122	100	100	100	100
	0.2	267	211	162	120	95	94	93	98
	0.4	251	209	171	137	89	93	98	112
	0.6	266	208	158	114	94	92	91	93
	0.8	210	172	130	94	78	76	75	77
14	0	251	209	171	137	100	100	100	100
	0.2	276	221	170	127	110	105	99	93
	0.4	267	219	175	136	106	105	102	99
	0.6	248	188	136	92	99	90	80	67
	0.7	289	216	154	102	115	103	90	74
	0.8	223	186	152	121	89	89	89	88
27	0	243	199	170	124	100	100	100	100
	0.2	258	211	190	132	106	106	106	106
	0.4	255	212	174	139	105	107	97	112
	0.6	202	176	151	129	83	88	84	103
	0.7	177	155	134	115	73	78	75	93
84	0	288	175	129	100	100	100	100	100
	0.2	314	247	180	138	109	108	108	107
	0.4	283	228	179	136	98	100	102	105
	0.6	252	204	161	123	88	89	92	95
	0.7	265	206	155	111	92	90	89	86
	0.8	251	201	157	118	87	88	90	91
280	0	232	190	152	119	100	100	100	100
	0.2	275	212	157	110	118	111	103	106
	0.4	237	196	159	126	102	103	104	106
	0.6	214	185	158	134	92	97	104	113
	0.7	222	185	151	121	96	97	99	102
	0.8	206	175	147	121	89	81	97	102

В ы в о д ы

1. Влияние длительного растяжения на прочность бетона на растяжение в большой мере зависит от возраста бетона τ и относительного напряжения σ/R_p в момент длительного нагружения. Если бетон подвергается длительному растяжению в молодом возрасте $\tau \leq 7$ сут., то прочность бетона понижается и притом тем чувствительнее, чем моложе бетон и больше σ/R_p в момент длительного нагружения. При $\tau = 3$ сут. и $\sigma/R_p = 0.8$ понижение прочности на растяжение составляет 28%.

С дальнейшим увеличением возраста бетона $\tau < 14$ сут. длительное растяжение практически не оказывает влияния на прочность бетона.

2. Влияние длительного растяжения на последующие деформации бетона под кратковременной растягивающей нагрузкой также в большой мере зависит от возраста бетона и относительного напряжения в момент длительного загрузения. В случае загрузения в молодом возрасте ($\tau > 7$ сут.) длительное растяжение приводит к уменьшению модуля деформации бетона. При $\tau = 3$ сут. и $\varepsilon R_p = 0.8$ уменьшение модуля деформации составляет до 30%.

Если же $\tau > 14$ сут, то при $\varepsilon R_p = 0.2$ длительное растяжение приводит к некоторому повышению модуля деформации бетона, а при $\varepsilon R_p = 0.4$ имеет место обратное явление.

Институт математики и механики
АН Армянской ССР

Поступила 22 IX 1970

Կ. Ի. ԿԱՐԱՊԵՏՅԱՆ, Ռ. Կ. ԿՈՏԻՅԱՆ

ԵՐԿԱՐՄԱՆԻՉ ԶԻՄԱՆ ԱԶԿԻՑՈՒԹՅՈՒՆԵՐ ԲԵՏՈՆԻ ԱՐԿՈՒՄԻՅԱՆ ԵՎ
ԴԵՖՈՐՄԱՆԻՉ շԼՏԿՈՒԹՅՈՒՆՆԵՐԻ ՎՐԱ

Ո Ւ Վ Ո Վ Ո Վ Ո Վ

Աշխատանքը նվիրված է բետոնի ամրության և զեֆորմատիվ հատկությունների վրա երկարատև ձգման ազդեցության հետազոտությանը կախված լարումների մեծություններից և բեռնափորման մոմենտում բետոնի հասակից:

Ուսումնասիրությունները ցույց են տվել, որ երկարատև ձգման ազդեցությունը բետոնի ամրության և զեֆորմատիվ հատկությունների վրա մեծադեպ կախված է բեռնափորման մոմենտում բետոնի հասակից և հարաբերական լարումների մեծություններից: Փոքր հասակների ղեպում ($\tau < 7$ օր) բետոնի ձգման ամրությունը և զեֆորմացիաների մոդուլը հարաբերական լարումների մեծացման հետ փոքրանում են: Երբ $\tau = 3$ օր և $\varepsilon R_p = 0.8$ ամրության անկումը կազմում է 28%, իսկ զեֆորմացիաների մոդուլինը՝ մինչև 30%:

Հասակի հետագա մեծացումը զործնականորեն չի ազդում բետոնի ամրության վրա:

Երբ $\tau > 14$ օր և $\varepsilon R_p = 0.2$, ապա երկարատև ձգումը բերում է զեֆորմացիաների մոդուլի որոշ մեծացման, իսկ երբ $\frac{\varepsilon}{R_p} = 0.4$, տեղի ունի հակառակ էրեոսիվը:

THE EFFECT OF CONTINUOUS TENSION ON DURABILITY
AND DEFORMATION OF CONCRETE

K. S. KARAPETIAN, R. A. KOTIKIAN

S u m m a r y

The paper deals with the effect of continuous tension on durability and deformation of concrete depending on the age and value of stress. The investigation shows that the effect of continuous tension on the durability and deformation of concrete depends largely upon the age at the moment of loading and on the strength of relative stresses. At small ages ($\tau \geq 7$ days) the durability of concrete and module of deformation decrease with the increase in relative stresses. When $\tau = 3$ days and $\sigma/R_0 = 0.8$ the decrease in durability is 28% while the module of deformation is 30%.

Subsequent increase in age has practically no effect upon the durability of concrete.

Л И Т Е Р А Т У Р А

1. Ситалкин А. В., Сенченко Б. А. Раннее нагружение бетона и железобетона в мостостроении. Ляотрансиздат. М., 1956.
2. Карапетян К. С. О влиянии длительного нагружения на прочность и деформативность бетона. Докл. АН АрмССР, т. LI, № 2, 1970.
3. Митропольский А. К. Техника статистического вычисления. М., 1961.
4. Карапетян К. С. Влияние длительного сжатия на прочность и деформативность бетона. Изв. АН АрмССР, сер. физ.-мат. наук, т. 12, № 6, 1964.

Р. А. МЕЛЬНИК, В. И. ФЕДОРЧУК

ДЕФОРМАЦИИ УСАДКИ И ПОЛЗУЧЕСТИ ВЫСОКОПРОЧНЫХ БЕТОНОВ И ИХ ВЛИЯНИЕ НА ПОТЕРИ ПРЕДНАПРЯЖЕНИЯ ЦЕНТРАЛЬНО ОБЖАТЫХ ЭЛЕМЕНТОВ

Экспериментальное исследование указанных в заголовке вопросов проведено авторами с 1967 по 1969 г. в ДИСИ по оригинальной программе, учитывающей отсутствие подобных исследований, особенно с учетом нелинейной ползучести бетона. Длительным испытаниям подвергнуты образцы размерами $100 \times 100 \times 1400$ мм: ЭУ — бетонные — для изучения усадки — 4 шт. из бетона М-600 и 3 шт. — М-700; ЭП — железобетонные преднапряженные — для исследования усадки и ползучести и их влияния на потери напряжений при центральном обжатии — 24 и 30 шт. соответственно из бетонов М-600 и 700. В каждой из 10 для каждой марки бетона групп было, как правило, два или три элемента, и лишь в двух группах — по одному. В нескольких группах были также близнецы с изолированной от влагопотерь поверхностью — по два образца, а в группе с проектным уровнем $\sigma_{\text{пр}} = \sigma_{\text{пр}} R_{\text{пр}} = 0.50$ было две подгруппы неизолированных образцов — по два (М-600) и три (М-700) элемента. Гамма уровней создавалась для изучения линейной (условно-линейной) и нелинейной ползучести бетонов марок 600 и 700.

Для получения бетонов применены: цемент — портландский Злодбуновского ЦШК, $R_{\text{т}} = 513$ кг/см²* по ГОСТ 10178 — 62, расход 440 и 595 кг соответственно для М-600 и 700; песок — кварцевый Просляновского карьера, $M_{\text{д}} = 3.2$, объемная и удельная массы 1420 и 2510 кг/м³; щебень — гранитный из карьера Пенизевичи, крупность до 20 мм, объемная и удельная массы 1390 (1420 для М-700) и 2590 кг/м³; вода — речная днепровская; пластификатор — ССБ, расход 1 л на 1 м³ смеси бетона. Для бетона М-600 применен номинальный состав смеси 1:1.09:2.97, полевой — 1:1.18:3.00. ВЦ = 0.4, удобоукладываемость 45 сек. То же для бетона М-700: 1:0.94:1.64; 1:1.02:1.68; 0.34; 60 сек.

Приготовление и виброукладку бетонной смеси осуществляли в производственных условиях Днепропетровского ЗМЖБК. Опытные образцы бетонируются на открытом стенде. Разреженные пучки арматуры с натяжением на упоры выполняли из высокопрочной проволоки класса Вр-11 (ГОСТ 8480-63) ϕ 5 мм, при этом обеспечено дис-

* Рекомендованная размерность, как и кг/см² ($\approx 10^{-1}$ Мн/м² по системе СИ).

первое армирование образцов ЭП. Контроль натяжения арматуры домкратами двойного действия ДП 55 — 300 выполняли по манометрам насосной станции и по динамометрам с помощью электронно-измерительной установки АИ-1, а также выборочно на ряде проволок — по датчикам сопротивления и электронным частотомером ИПН-6.

При достижении бетоном 70% прочности произведен мгновенный отпуск арматуры с упоров. Замеры деформаций по двум противоположным граням образцов (и уроне срединного слоя) выполняли на бляхах 500 мм переносным индикатором часового типа с ценой деления шкалы 0.01 мм. После отпуска арматуры часть образцов парализовали (слой 1—3 мм парафина, обмалка солидолом, обертка в два слоя калькой) и установили в вертикальном положении в стеллажи на 400 см. Температура воздуха в помещении лаборатории в период длительных наблюдений была на уровне 19.5 ± 5.5 С и 22.5 ± 7.5 С соответственно при испытаниях образцов из бетонов М-600 и 700, а влажность — $60 \pm 19\%$. Кроме основных образцов испытаны также контрольные кубы и призмы для определения прочности, модуля упругости и длительной деформативности бетонов при сжатии с разными уровнями постоянной нагрузки.

В момент отпуска арматуры образцов ЭП из бетона М-600 ($\tau_0 = 10$ сут.) его прочность в кубах с ребром 100 и 200 мм достигла 455 и 405 кгс/см², а в призмах размерами 100x100x400 мм — 360 кгс/см². Эти характеристики для бетона М-700 ($\tau_0 = 15$ сут.) составили соответственно 577, 495 и 470 кгс/см². В возрасте 28 сут. эти бетоны в указанных образцах набрали прочность (по порядку): 659, 588 и 494 кгс/см²; 763, 694 и 541 кгс/см². При этом модули упругости достигли 395000 и 398000 кгс/см², а к моментам обжатия составляли 312000 и 370000 кгс/см², соответственно. Во всех случаях средний опытный модуль упругости арматуры класса Вр-IE 2 $\cdot 10^6$ кгс/см².

Контролируемые напряжения, замеренные разными способами, оказались близко совпадающими, а неравномерность натяжения отдельных проволок в пучке составила $\pm 3.5\%$. Потери напряжений арматуры от релаксации τ_{nr} были близки к вычисленным по СНиП [4] (табл. 1), а от деформаций анкеров τ_{ad} — выше теоретических. Эти два вида потерь введены в общие потери напряжений.

Определение потерь напряжений арматуры производилось из условия совместности деформаций ее и бетона. Построенные таким образом графики потерь вызванных полными деформациями бетонов, приведены на фиг. 1 и 2. В изображенных графически процессах для образцов без изоляции отмечается наиболее интенсивное нарастание деформаций и потерь в первые 90 (для М-600) и 60 (для М-700) суток, а к 20 суткам они практически стабилизировались. Характер роста и стабилизации величин деформаций и потерь качественно совпадает для бетонов обеих марок. Некоторое превышение этих ха-

характеристик в образцах из бетона М-700 над таковыми для бетона М-600, очевидно, связано с большой разницей в расходе цемента на 1 м³ смеси.

Таблица 2

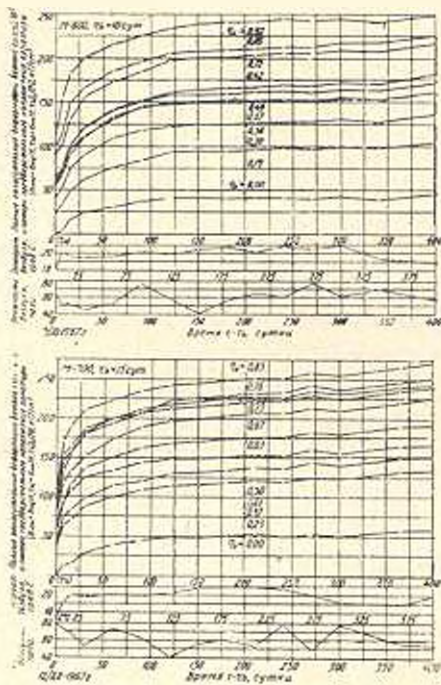
Марка бетона, вид образцов ЭП	Уровни обжатия бе- тона		Процент арми- рования, %	Примечание ссылка на табл. 1	Напряжения и потери напряже- ния, кгс/см ²					Начальное упругое N ₀
	про- цент	действ. тепловой			$\sigma_{\text{нп}}$	$\sigma_{\text{пр}}$ (σ_3)	$\sigma_{\text{пн}}$ (σ_4)	$\sigma_{\text{пл}}$	$\sigma_{\text{го}}$	
М-600, визуализированные	0.30	0.19	1.19	106.3	6450	0	380	6070	167	7140
	0.40	0.30	2.02	109.5	6450	0	380	6070	109	11900
	0.50	0.38	2.65	120.9	6450	0	380	6070	138	16600
	0.50	0.37	1.93	114.1	8570	274	542	7754	133	15200
	0.60	0.42	2.23	120.6	8570	274	542	7754	151	18200
	0.70	0.49	2.65	121.0	8570	274	542	7754	176	21300
	0.80	0.72	2.97	125.0	11470	915	187	10368	259	32600
	0.90	0.83	3.52	122.9	11470	915	187	10368	298	36600
1.00	0.92	3.96	124.1	11470	915	187	10368	329	40900	
М-600, изолированные	0.30	0.18	1.12	112.0	6270	0	242	6028	63	7100
	0.40	0.29	1.98	111.6	6270	0	242	6028	106	11800
	0.50	0.37	2.56	123.9	6270	0	242	6028	135	16500
М-700, визуализированные	0.30	0.23	1.81	118.8	6660	41	—	6619	109	12900
	0.40	0.32	2.61	120.1	6660	41	—	6619	151	18200
	0.50	0.41	3.44	121.8	6660	41	—	6619	192	23400
	0.50	0.50	2.20	115.5	12890	1355	—	11535	234	27000
	0.60	0.67	3.18	115.8	12890	1355	—	11535	313	36200
	0.70	0.73	3.53	119.2	12890	1355	—	11535	342	40700
	0.80	0.63	3.34	124.8	11300	904	—	10396	294	36700
	0.90	0.76	4.18	126.1	11300	904	—	10396	356	44800
1.00	0.83	4.96	125.8	11300	904	—	10396	390	49000	
М-700, изолированные	0.30	0.25	1.94	115.5	6660	41	—	6619	117	12900
	0.40	0.32	2.60	120.6	6660	41	—	6619	152	18200
	0.50	0.40	3.43	122.1	6660	41	—	6619	191	23400
	0.80	0.62	3.28	126.7	11300	904	—	10396	250	36700
	1.00	0.79	4.47	131.8	11300	904	—	10396	372	49000

Примечание: Контролируемые напряжения арматуры образцов (М-700) приняты за вычетом потерь напряжений от деформаций анкеров, величина которых не была зафиксирована.

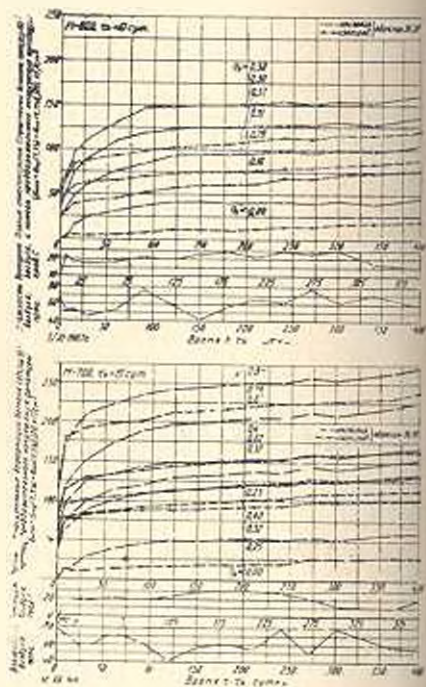
Расположение кривых в зависимости от величины уровня обжатия закономерно, хотя и отмечаются отклонения от нормы и позиции кривых (фиг. 1) для уровней 0.49 и 0.72 (бетон М-600) и 0.76 (М-700), опытные данные по которым получены на одном для каждого уровня образце.

Наибольшие величины полных потерь напряжений арматуры $\sigma_{\text{пл}}$ (табл. 2) по отношению к ее начальному напряжению $\sigma_{\text{нп}}$ в образцах из бетона М-600 для всей гаммы уровней составили 34.5—53.0%, или в среднем 44.1%. Для бетона М-700—33.1—52.3%, в среднем 44.2%. Из рассмотрения кривых для бетона М-600 при уровнях 0.37 и 0.38 видно, что большая разница в проценте армирования об-

разцов этих двух подгрупп (проектный уровень обжатия 0.50) практически не влияет на величины полных деформаций бетона и обусловленных ими потерь напряжений арматуры.



Фиг. 1. Опытные графики полных (средних по группе образцов) относительных деформаций неизолированных бетонов М-600 и 700 и вызванных ими потерь напряжений арматуры, совмещенные с кривыми температуры и влажности воздуха.



Фиг. 2. Опытные графики полных (средних по группе образцов) относительных деформаций изолированных и неизолированных бетонов М-600 и 700 и вызванных ими потерь напряжений арматуры, совмещенные с кривыми температуры и влажности воздуха.

Сопоставление опытных данных для бетонов с изоляцией и без нее показывает (фиг. 2), что процессы нарастания во времени рассматриваемых величин заметно различны. Если и первые 7 сут. полные деформации и потери напряжений изолированных образцов были равны (или близки), либо выше, чем неизолированных близнецов, то затем эти величины оказались намного меньше аналогичных для бетонов без изоляции. Однако затухания процессов деформирования не обнаружено даже к концу наблюдений. Изоляция поверхности бетонов М-600 вызвала снижение исследуемых характеристик к 400 суткам действия обжатия при низких и средних уровнях и среднем на 27.2% (что значительно превышает соответствующие цифры для бетона М-400 [7]). В образцах из бетона М-700 такое снижение достигло 23.3%, а при самом высоком уровне обжатия составило лишь 11.7%. Наибольшие величины полных потерь напряжений арматуры изолированные

образцов из бетона М-600 по отношению к начальным ее напряжениям составили по порядку увеличения уровней (табл. 2): 25.3, 28.9, 40.0%, и для бетона М-700 — 30.8, 34.3, 39.8, 31.5, 46.2%. В этом смысле различие между бетонами М-600 и 700 мало.

Таблица 2

Марка бетона, вид опытных образцов ЭП	Деформативные уровни обжатия бетона ϵ_0	Потери предварительного напряжения арматуры, кгс/см ²						Отноше- ние в % $\frac{\sigma_{\text{пот}}}{\sigma_{\text{об.п}}}$	Установив- шиеся на- пряжения (кгс/см ²) и усадка (μ) арматуры	
		$\sigma_{\text{пред}}$	$\sigma_{\text{у1}}$ (ϵ_1)	$\sigma_{\text{у2}}$ (ϵ_2)	$\sigma_{\text{у3}}$ + $\sigma_{\text{уп}}$	$\sigma_{\text{упп}}$	$\sigma_{\text{об.п}}$		$\sigma_{\text{п}}$	μ
М-600, чеканованные	0.19	466	912	714	1626	2092	2472	38.3	3978	4670
	0.30	324	912	1002	1914	2738	3118	48.3	3332	6530
	0.37	1100	912	1224	2136	3236	4052	47.3	4518	8860
	0.38	1164	912	1140	2052	3216	3596	55.8	2854	7800
	0.42	1240	912	1498	2410	3650	4466	52.1	4114	9660
	0.49	1320	912	1210	2122	3442	4258	49.7	4312	11800
	0.72	1840	912	1598	2510	4350	5452	47.6	6018	18900
	0.83	1966	912	1642	2556	4520	5622	45.0	5848	20600
0.92	2210	912	1650	2564	4772	5874	51.2	5596	22300	
М-600, экранированные	0.18	480	398	648	1046	1526	1768	28.2	4502	5300
	0.27	740	398	804	1202	1712	1984	31.6	4286	8400
	0.37	980	398	1030	1428	2408	2650	42.2	3620	9920
М-700, чеканованные	0.23	748	1188	748	1936	2684	2725	41.0	3935	7710
	0.32	930	1188	1022	2210	3140	3181	47.7	2369	6520
	0.41	1120	1188	1018	2206	3326	3367	50.5	2193	7740
	0.50	1326	1188	1320	2508	3834	5189	40.3	7701	18020
	0.63	1650	1188	1698	2886	4536	5440	48.2	5760	20300
	0.67	1922	1188	1700	2888	4810	6165	47.8	6725	21100
	0.73	1978	1188	1710	2898	4876	6231	48.4	6659	23500
	0.76	2000	1188	1856	3044	5044	5948	52.5	5352	23050
	0.83	2206	1188	2042	3230	5436	6340	56.1	4960	23400
М-700, экранированные	0.25	812	560	672	1232	2044	2085	31.3	4575	8550
	0.32	966	560	746	1306	2272	2313	34.7	4347	11910
	0.40	1230	560	848	1408	2638	2679	40.2	3981	14060
	0.62	1560	560	1154	1714	3274	4178	37.0	7122	25150
	0.79	2400	560	1840	1714	4800	5704	50.5	5596	26300

Потери напряжений арматуры от деформаций упругого обжатия бетонов $\epsilon_{\text{об.п}}$ (табл. 2) почти линейно зависели от величины уровней обжатия. Некоторое отклонение от линейной связи обнаружено при высоких уровнях, что вызвано интенсивным неупругим деформированием бетона в первые минуты после создания обжатия. Эта почти линейная связь определяется начальными напряжениями в бетоне (табл. 1) и начальным его модулем упругости.

Средние отношения потерь напряжений от упругого обжатия к начальным напряжениям и к соответствующим полным потерям $\sigma_{\text{упп}}$ к концу периода наблюдений соответственно составили: 14.3 и 36.8% (М-600), 15.1 и 39.3% (М-700). И здесь различие между бетонами двух смежных марок незначительно.

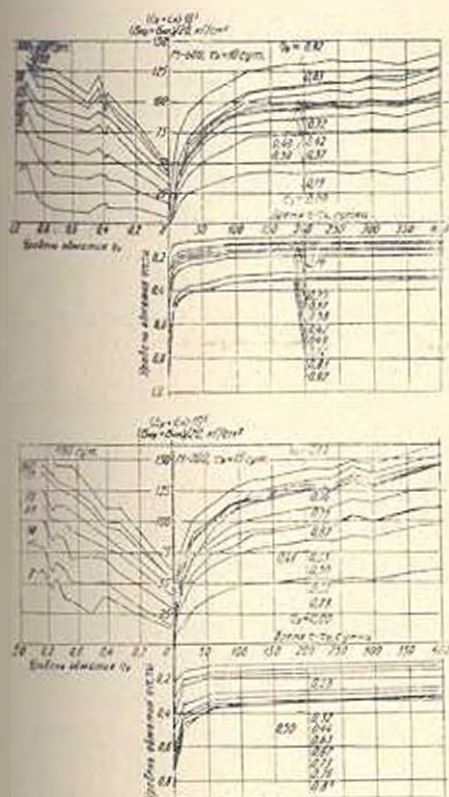
Из рассмотрения семейства кривых суммарных деформаций (и потерь $\varepsilon_{\Sigma} - \varepsilon_{\Sigma 0}$) в функции времени (фиг. 3) видно, что усадка бетона без изоляции ощутимо влияет на характер длительных процессов. Наиболее интенсивно деформации бетона во времени и вызванные ими потери напряжений нарастают в первые 60—90 сут., а затем — к 120 суткам стабилизируются, особенно в образцах из бетона М-600, и в дальнейшем изменения их величины вызывались колебаниями температурно-влажностного режима воздуха. Сближение рядов кривых при высоких уровнях обжатия вызвано резким падением притяжения арматуры, особенно в первые минуты и часы после от пуска ее с упоров. Этим можно объяснить также сближение соответствующих ветвей семейства кривых текущих уровней обжатия $\varepsilon(t, \tau_0)$, при рассмотрении которых видно, что с точки зрения относительного минимума величины потерь напряжений оптимальными начальными уровнями обжатия для бетонов обеих марок следует считать $\tau_0 = 0.7 - 0.8$. Это согласуется с данными для бетона М-400 [7].

Характер семейства кривых суммарных деформаций и вызванные ими потери напряжений в функции уровня обжатия τ_0 образцов из бетона М-600 указывает на наличие нелинейной связи, особенно при $\tau_0 > 0.50$, причем со временем нелинейность полностью затухает в образцах без изоляции. Для бетона М-700 нелинейная зависимость четко отмечается в начале наблюдений при уровнях $\tau_0 > 0.40$. Заметно, что к концу наблюдений при высоких уровнях обжатия появляется даже нелинейность обратного знака — кривые (фиг. 3) располагаются выпуклостью вверх. Это происходит из-за резкого спада во времени напряжений обжатия. Такое явление отмечается нами впервые.

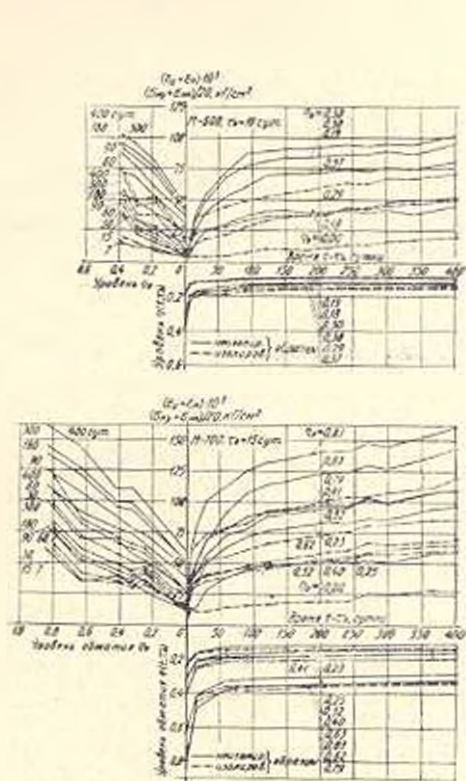
Наибольшие величины суммарных потерь напряжений арматуры по отношению к полным составили 54.4—77.8% для бетона М-600 и 59.4—72.2% — М-700. Эти отношения снижаются при повышении уровня обжатия. Средние значения отношений этих потерь к начальным напряжениям арматуры составили 31.2 (М-600) и 28.7% (М-700). Как видно, указанные показатели для обеих марок близки.

Из рассмотрения графиков на фиг. 4 можно заключить, что высказанные выше замечания по полным деформациям бетона с изоляцией и без нее и вызванным ими потерям напряжений арматуры в полной мере справедливы и в данном случае. В конце наблюдений в образцах из бетона М-600 с изоляцией потери напряжений арматуры от суммарных деформаций усадки и ползучести бетона оказались ниже, чем в близнецах без изоляции в среднем на 37.6%. Отношения наибольших величин потерь напряжений к полным выразились в среднем 65.6%, а к начальным напряжениям арматуры — 20.3%. Для бетона М-700 отношения, аналогичные только что указанным, составили соответственно: 36.0, 54.8, 19.8%. Следует особо отметить, что для бетонов М-600 и 700 при самых низких уровнях обжатия разница между суммарными деформациями неизолированных и изолиро-

ванных элементов ЭП и любой момент периода наблюдений равно разности между деформациями усадки образцов без изоляции и с изоляцией. Это, как и ранее [7], указывает на аддитивность деформаций усадки и ползучести бетонов при относительно низких уровнях обжатия, когда усилия снижаются во времени по закону релаксации. В этом случае убедительно подтверждаются выводы К. С. Карапетяна и П. А. Котикина [6]. Отмеченное явление (фиг. 4, а также фиг. 2) отсутствует при более высоких уровнях обжатия, что согласуется с выводами С. В. Александровского [1], исключая, естественно, низкие уровни, на которые эти выводы также распространялись.



Фиг. 3. Опытные графики суммарных (средних по группе образцов) относительных деформаций усадки и ползучести неизолированных бетонов М-600 и 700 и вызванных ими потерь напряжений арматуры в функции времени и начального уровня обжатия, совмещенные с кривыми текущих уровней обжатия.



Фиг. 4. Опытные графики суммарных (средних по группе образцов) относительных деформаций усадки и ползучести изолированных и неизолированных бетонов М-600 и 700 и вызванных ими потерь напряжений арматуры в функции времени и начального уровня обжатия, совмещенные с кривыми текущих уровней обжатия.

Из графиков (фиг. 4) рассматриваемых деформаций видно, что нелинейная зависимость имеет место даже при низких уровнях обжатия, хотя со временем и имеет тенденцию к полному затуханию. Характер снижения текущих уровней обжатия в изолированных элементах

тах ЭП сходен с таковым в неизолированных. Однако установившиеся к концу наблюдений значения оказались из-за влияния изоляции несколько выше соответствующих при отсутствии изоляции (фиг. 3). Оптимальные уровни обжатия можно принять равными выше отмеченным, то есть 0.7 — 0.8.

Характер кривых усадки бетонов (фиг. 1—4) в определенной мере зависит от наличия изоляции поверхности образцов. При отсутствии изоляции графики имеют три характерных участка: до 30 сут. интенсивное нарастание деформаций, с 30 до 120 сут. — более замедленное, со 120 сут. и до конца наблюдений — стабилизация процесса с наличием определенных колебаний, вызванных изменениями температуры и влажности воздуха. В изолированных образцах ЭУ характер самопроизвольного деформирования таков, что его можно отнести всецело за счет деформаций геля цементного камня, в противоположность бетону М-400 с таким же типом изоляции [7].

Потери напряжений арматуры от усадки неизолированного бетона к концу наблюдений $\epsilon_{\text{ар}}$ (табл. 2) оказались гораздо выше вычисленных по СНиП [4] (табл. 3), при этом для бетона М-700 они превысили соответствующую величину в бетоне М-600 на 30.3%. Это связано с повышенным содержанием цемента в высокопрочном бетоне по сравнению с обычными бетонами.

К концу наблюдений усадка изолированного бетона М-600 составила $19.9 \cdot 10^{-3}$, что в два с лишним раза меньше, чем в бетоне без изоляции. Соответствующее значение в бетоне М-700 оказалось на 40.8% выше указанной величины усадки бетона М-600, и примерно в два раза ниже, чем при отсутствии изоляции. Опытные потери напряжений арматуры от усадки бетона также отличаются от вычисленных (табл. 3).

Деформации ползучести бетонов и вызванные ими потери преднатяжения арматуры $\epsilon_{\text{п}}$ получены путем вычитания деформаций усадки и обусловленных ими потерь напряжений из соответствующих суммарных деформаций и потерь. Кривые рассматриваемых характеристик для бетонов без изоляции (фиг. 5) располагаются, как правило, в соответствии с начальными уровнями обжатия. К концу наблюдений некоторые из кривых незначительно сблизились, что, очевидно, вызвано (исключая данные испытаний при одном опытном образце) несовершенством приема получения деформаций ползучести в условиях неаддитивности их и деформаций усадки бетона при высоких уровнях обжатия, на что указывает также факт заметного влияния колебаний температурно-влажностного режима воздуха на характер кривых ползучести.

Из рассмотрения семейства кривых (фиг. 5), определяющих зависимость исследуемых величин от уровня обжатия, видно, что резко выраженная нелинейность имеет место при $\epsilon_{\text{об}} > 0.50$ и 0.40 соответственно для бетонов М-600 и 700, однако со временем она заметна

смягчается. Это подтверждает ранее сделанные выводы А. А. Гвоздева [3], К. С. Карапетяна [5], И. И. Улицкого [8]. Весьма характерным в данном случае является то, что нелинейность полностью затухает и даже переходит при высоких уровнях в полную качествен-

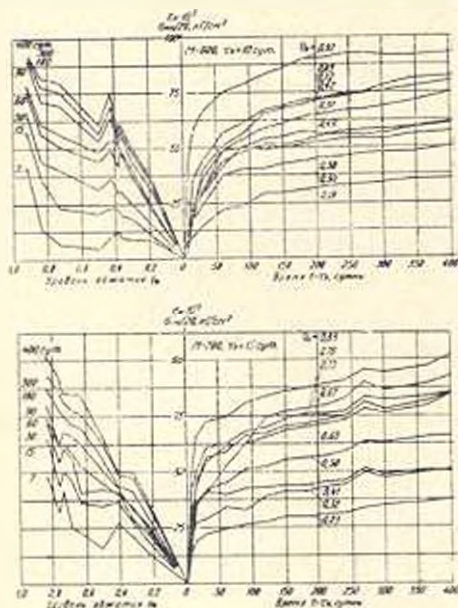
Таблица 3

Марка бетона, вид образцов ЭУ и ЭП	Уровень обжатия	Вычисленные согласно СНиП II-V. 1-62 [4] потери преднапряжения арматуры ($\sigma_{\text{ср}} \text{ см}$) от усадки и ползучести высокопрочных бетонов и расхождение в % по отношению к опытными величинами за время (в сутках) действия обжатия $t-t_0$				
		15	30	90	180	400
М-600, испаривающиеся	0.00	166/ 47.5	300/ 40.0	389/ 48.3	428/ 47.3	492/ 46.0
	0.19	258/ 22.9	468/ 55.0	608/ 28.8	702/ 14.0	768/ 7.6
	0.30	419/ 16.4	759/ 54.3	985/ 22.2	1139/ 30.0	1243/ 24.1
	0.37	514/ 30.5	930/ 51.5	1209/ 20.9	1396/ 22.2	1525/ 21.6
	0.38	523/ 15.7	947/ 61.0	1230/ 20.8	1422/ 38.9	1553/ 36.3
	0.42	582/ 25.4	1055/ 45.7	1370/ 27.2	1482/ 23.8	1730/ 15.5
	0.49	679/ 66.4	1230/ 97.1	1597/ 66.4	1845/ 72.8	2018/ 66.8
	0.72	1646/ 256.8	2982/ 271.0	3870/ 244.0	4470/ 222.0	4890/ 205.6
	0.83	2250/ 212.5	4075/ 361.0	5290/ 333.0	6110/ 329.0	6690/ 307.0
0.92	2735/ 137.2	4950/ 274.0	6420/ 308.0	7415/ 358.0	8110/ 337.0	
М-600, испаривающиеся	0.00	166/ 80.1	300/ 257.5	389/ 156.0	428/ 114.0	492/ 23.0
	0.18	244/ 14.0	442/ 52.4	574/ 36.7	664/ 20.7	724/ 11.7
	0.29	408/ 14.6	738/ 65.9	959/ 83.1	1108/ 96.5	1212/ 100.1
	0.37	521/ 16.5	945/ 36.6	1226/ 45.3	1418/ 48.3	1550/ 50.5
М-700, испаривающиеся	0.00	166/ 42.1	300/ 47.4	389/ 57.0	428/ 58.4	492/ 58.7
	0.23	341/ 9.8	617/ 39.6	802/ 51.7	925/ 55.2	1011/ 35.2
	0.32	475/ 13.3	860/ 49.3	1117/ 69.7	1290/ 57.0	1410/ 37.9
	0.41	602/ 17.5	1091/ 33.4	1418/ 66.8	1637/ 87.0	1789/ 75.9
	0.50	723/ 4.5	1328/ 57.8	1722/ 68.8	1990/ 77.3	2178/ 65.0
	0.63	1320/ 89.8	2475/ 205.0	3210/ 157.9	3715/ 165.5	4055/ 138.9
	0.67	1592/ 74.3	2885/ 156.2	3745/ 167.9	4335/ 210.0	4740/ 178.9
	0.73	1955/ 90.3	3540/ 192.5	4595/ 215.0	5305/ 249.0	5800/ 239.0
	0.76	2130/ 144.0	3860/ 256.0	5005/ 301.5	5790/ 270.5	6330/ 241.0
0.83	2565/ 95.5	4650/ 220.0	6030/ 274.0	6970/ 299.5	7620/ 273.0	
М-700, испаривающиеся	0.00	166/ 23.3	300/ 35.1	389/ 21.6	428/ 12.6	492/ 12.1
	0.25	366/ 28.2	664/ 10.3	862/ 39.0	996/ 56.5	1092/ 62.5
	0.32	475/ 12.0	860/ 74.8	1117/ 98.7	1290/ 102.2	1413/ 89.4
	0.40	600/ 22.4	1089/ 90.4	1411/ 119.0	1631/ 117.5	1785/ 110.7
	0.62	1309/ 111.0	2365/ 187.2	3070/ 241.0	3550/ 236.3	3880/ 236.0
	0.79	2315/ 113.8	4230/ 237.0	5490/ 311.5	6340/ 302.8	6960/ 278.0

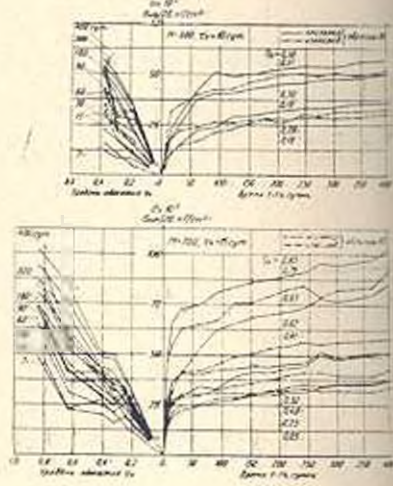
Примечание: Вычисленные значения приведены в числителе, в знаменателе — процент расхождения по отношению к опытными величинами потерь, принятым за 100%.

ную форму — участки кривых располагаются выпуклостью вверх. Такой кажущийся парадоксальным эффект вполне закономерен, так как нелинейность рассматривается относительно начального уровня снижающихся во времени по закону релаксации сжимающих напряжений. Картина оказывается подобной ранее отмеченной К. С. Карапетяном [5] и др. для условий постоянных напряжений, если деформации ползучести отнести к текущим напряжениям или к их относительным уровням.

Наибольшие величины потерь напряжений арматуры от ползучести бетона М-600 без изоляции по отношению к полным потерям и начальным напряжениям составляют в среднем 33,8 и 16,3%, соответственно. Аналогичные значения для бетона М-700 выражаются 34,2 и 14,2%. Как видно из табл. 2, величины потерь напряжений арматуры от ползучести бетона М-700 несколько выше, чем для бетона М-600, что определяется расходом цемента.



Фиг. 5. Опытные графики средних по группе образцов относительных деформаций ползучести неизолированных бетонов М-600 и 700 и вызванных ими потерь напряжений арматуры и функции времени и начального уровня обжатия.



Фиг. 6. Опытные графики средних по группе образцов относительных деформаций ползучести изолированных бетонов М-600 и 700 и вызванных ими потерь напряжений арматуры [в функции времени и начального уровня обжатия].

Из рассмотрения графиков исследуемых процессов и функций уровня обжатия (фиг. 6) видно, что имеет место нелинейная зависимость даже при самом низком из испытанных уровней ϵ_0 и образцах с изоляцией, чего нельзя сказать о бетонах с неизолированной поверхностью. К концу наблюдений потери напряжений в изолированных образцах из бетона М-600 были в среднем на 12,8% ниже, чем в неизолированных, составив от величины полных потерь и начальных напряжений в среднем 43,8 и 13,7%, соответственно. Аналогичные значения для бетона М-700 выразились 19,2; 34,3 и 22,6%.

Изменение влажности воздуха практически не влияет на ползучесть бетона с изоляцией. Так, например, резкое снижение влажности воздуха к 270 суткам наблюдений (с 79 до 49%) и некоторое падение

температуры (на 8 С) вызвало заметное уменьшение ползучести в бетоне М-700 с изоляцией, и повышение ее — при отсутствии изоляции.

Общие потери напряжений арматуры неизолированных образцов ЭП относительно более высоки, чем в соответствующих близнецах с изоляцией (табл. 2).

Сопоставление опытных величин потерь напряжений арматуры от усадки и ползучести бетонов с вычисленными по СНиП [4] показывает (табл. 3), что методика расчета по нормам не обеспечивает надлежащей точности применительно к высокопрочным бетонам, особенно при высоких уровнях обжатия, так как эти бетоны обладают сравнительно умеренной нелинейностью, а это не учитывается формулами норм. В этом смысле хороший результат обеспечивают формулы теории старения [8], выведенные на основе функции напряжений Н. Х. Арутюняна [2], а также новые формулы, полученные первым из авторов статьи с применением предложенной им функции напряжений в виде одночленной параболической зависимости степени $n = 2$ или 1.5.

Днепропетровский инженерно-строительный институт

Поступила 3 XI 1970

И. И. ИВАНОВ, Д. Е. ЗВЯНЦОВА

ԲԱՐՁՐ ԱՄՐՈՒԹՅԱՆ ԲԵՏՈՆՆԵՐԻ ԿՐԻՄԱՆ, ՈՒ ՍՈՂՔԻ ԳԵՅՈՐԾԱՑՈՒՄՆԵՐԸ
ԵՎ ՆՐԱՆՑ ԱԶԳԻՑՈՒԹՅՈՒՆԸ ԿՈՆՏՐՈՆԱԿԱՆ ՇՐՋԱՍԵՂՄԱՍՏ ՏԱՐՐԵՐԻ
ՆԱԽՆԱԿԱՆ ԼՈՐՎԱԾՔԻ ԿՈՐՈՒՄՏՆԵՐԻ ՎՐԱ

И л и ф а и н с т и т

Հողվածում լուսարանվում են բարձր ամրության М-600 և 700 բետոնների (մեկուսացումով և առանց մեկուսացման) կծկման և սողքի (զծային, ս, զծային) լրիվ ու զուամարային զեֆորմացիաների փորձնական հետազոտության արդյունքները և Եր-Մ դասի արձատուրայի նախնական լարվածքի նշանցով պայմանավորված կորուսաները երկաթբետոնյա տարրերի կենտրոնական չորասեղման դածր, միջին և բարձր մակարդակների դեպքում:

Ստացված են լրացուցիչ սեղիկություններ բետոնի կծկման և սողքի զեֆորմացիաների ադիաթիվության մասին սեղմման դածր մակարդակի դեպքում ոչ ադիաթիվության մասին՝ միջին և բարձր մակարդակների դեպքում: Ինքզում են սեղմման մակարդակների օպտիմալ փորձնական մեծությունները, որոնք կազմում են բետոնի պրիդմային ամրության 70—80%:

Համաձայն СНиП 11-В. 1-62 հաշված М-600 և 700 բետոնների լարումների կորուսաները կծկումից և սողքից խիստ տարբերվում են փորձնականից, որ էջում է սոյլ փաստի հաշվածման անհրաժեշտությունը նոր նորմաների կազմման մամտնակ:

THE DEFORMATIONS OF SHRINKAGE AND CREEP OF HIGH-STRENGTH CONCRETES AND THEIR INFLUENCE ON THE LOSSES OF THE PRESTRESSING OF AXIALLY PRESTRESSED ELEMENTS

R. A. MELNIK, V. I. PHEDORCHUK

S u m m a r y

The article deals with the results of research high-strength low and high portland cement concretes M—600 and 700 of two distinctive compositions with 440 and 595 kg of the cement in $1 m^3$ of the concrete mixture. The peculiarity of the experiments is the study of deformation of shrinkage and creep (linear, conditionally-linear and nonlinear) of high-strength concretes in axially prestressed elements uninsulated and insulated from moisture losses measuring $100 \times 100 \times 100 mm$ as well as the influence of these deformations on the losses of prestressing under the conditions of prolonged influence of low, mean and high levels of prestressing, created by high tensile steel wire of periodical type with different percentages of reinforcement of cross-sections.

Sharp distinction in consumption of portland cement M—500 in high-strength concretes of two adjacent marks 600 and 700 results in certain qualitative and quantitative peculiarities of prolonged deformation. Thus, the shrinkage of concrete M—700 is higher than that of concrete M—600, and the extent of the nonlinear creep in the function of the initial level of prestressing is lower.

It is noted that in due course nonlinearity of creep fades and turns at high levels into new qualitative form: the proper sections of curves are disposed with convexity upwards relative to the axis of abscissa. This effect is natural, because nonlinearity of the creep is examined in the function of initial level of prestressing, coming down according to the law of relaxation such effect will be absent, if the deformation of the creep is taken to the current levels of stresses.

The insulation of the surface of the concrete noticeably brings down its shrinkage and creep, and unelastic deformation of the concrete one can liken to its behaviour in a large massive.

In these experiments the additivity of deformations of shrinkage and creep of concretes under low levels of prestressing and the non-additivity—under mean and high—are noted. The experimental quantities of optimum levels of prestressing, making up to 70–80 percent of prism strength of concretes, are found. The loss of stresses due to shrinkage and creep calculated by current rates sharply differs from experimental, especially at high levels of prestressing, because these concretes possess moderate nonlinearity, and the formulas of rates don't take it into account. In this respect a good result was obtained

by the well-known formula of the theory of ageing, deduced by I. I. Ulitsky with the use of the function of stresses of N. Kh. Arutunian, and also by new formulas, deduced by the first of the authors of this article with the use of his function of stresses, in the form of a monomial parabolical dependence of exponent 2 or 1.5.

ЛИТЕРАТУРА

1. Александровский С. В. О влиянии длительного действия внешней нагрузки на режим высыхания и усадку бетона. Сб. трудов НИИЖБ „Исследование свойств бетона и железобетонных конструкций“, вып. 4. Госстройиздат, М., 1959.
2. Арутунян Н. Х. Некоторые вопросы теории ползучести. Гостехтеориздат, М.—Л., 1952.
3. Гвоздев А. А. Ползучесть бетона и пути ее исследования. Сб. статей ЦНИИС „Исследование прочности, пластичности и ползучести строительных материалов“. Госстройиздат, М., 1955.
4. Госстрой СССР. Строительные нормы и правила, ч. II, раздел В, гл. 1, Бетонные и железобетонные конструкции, Нормы проектирования (СНиП II—В. 1—62). Госстройиздат, М., 1962.
5. Карапетян К. С. Влияние старения бетона на зависимость между напряжениями и деформациями ползучести. Изв. АН АрмССР, серия физ.-мат. наук, т. 12, № 4, 1959.
6. Карапетян К. С., Котикян Р. А. Влияние масштабного фактора на усадку бетона и зависимости от влажности среды. Изв. АН АрмССР, серия физ.-мат. наук, т. 17, № 2, 1964.
7. Медвиль Р. А. Экспериментальное исследование влияния нелинейной ползучести бетона на потери предварительного напряжения. Сб. „Строительные конструкции“, вып. 5. Изд. Будівельник, К., 1967.
8. Улицкий И. И., Фансталь И. В. Определение потерь предварительного напряжения в железобетонных элементах при нелинейной ползучести бетона. Изв. вузов МВО СССР. „Строительство и архитектура“, № 9, Новосибирск, 1959.

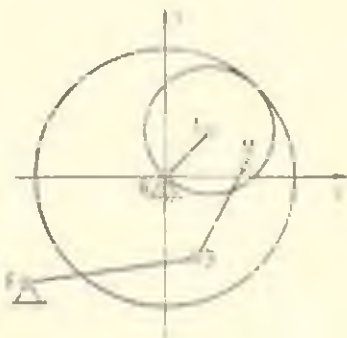
Р. В. АМБАРՇՄՅԱՆԸ

СИНТЕЗ ПЯТИЗВЕННОГО ЗУБЧАТО-РЫЧАЖНОГО МЕХАНИЗМА С ОСТАНОВКОЙ ВЕДОМОГО КОРОМЫСЛА

В современных машинах-автоматах часто требуется получить качательное движение рабочего звена механизма на заданный угол и, кроме того, его остановку на заданном угле поворота ведущего кривошипа. В связи с изменением технологического процесса возникает необходимость регулировать как угол качания рабочего звена механизма, так и время его остановки. В существующих механизмах, которые в настоящее время применяются в машинах-автоматах, это достигается изменением профиля кулачка, а также длин подвижных звеньев. Для рычажных и зубчато-рычажных механизмов эти вопросы еще не исследованы.

Рассмотрим решение задачи синтеза пятизвенного зубчато-рычажного механизма с остановкой ведомого коромысла с учетом регулирования как его угла размаха, так и времени его остановки.

Базисным выбираем трехзвенную планетарную передачу (фиг. 1) с длиной подида, равной начальному радиусу сателлита. При таком условии любая точка сателлита, не лежащая на начальной окружности, описывает эллипс*. К сателлитной точке M и точке F' стойки механизма присоединим трехшарнирную двухповодковую группу MDF .



Фиг. 1.

Известно, что эллипс является симметричной кривой относительно своих центральных осей.

Отнесем механизм к неподвижной декартовой системе координат с центром в точке O и с осью OX , совпадающей с большой осью эллипса, описываемого сателлитной точкой M (фиг. 1). Причем большая ось указанного эллипса совпадает с положением кривошипа OA , когда он образует прямую линию с отрезком AM . Примем следующие обозначения: $OA = 1$,

l — расстояние точки M сателлита от точки A ,

l — длина шатуна MD ,

f — длина ведомого коромысла DF ,

Φ — угол выстоя.

* Базисным могут быть и рычажные механизмы, точка шатуна которого описывает эллипс.

Известно [1], что отдельные участки эллипса аппроксимируются дугами окружностей с центрами на центральных осях эллипса. В работе автора [2] было доказано, что в случае расположения центра аппроксимирующей окружности на большой оси эллипса получить качательное движение ведомого звена механизма невозможно. Поэтому для решения поставленной задачи располагаем центр аппроксимирующей окружности D_0 на малой оси эллипса, то есть на оси OY . Параметры этой окружности при заданной величине угла выстоя определим по формулам [3]

$$d = - \frac{2\lambda(1 + \sin \varphi_1)}{1 - \lambda} \quad (1)$$

$$r = \frac{1 - (1 - \lambda^2)^2 + 4\lambda^2(1 + \sin \varphi_1)^2 - 0.5\lambda(1 - \lambda) \cdot [(1 + \sin \varphi_1)^2 + 4 \sin^2 \varphi_1]}{1 - \lambda} \quad (2)$$

$$\varphi_1 = \frac{1}{2}(\pi - \Phi) \quad (3)$$

Величину λ определим из уравнения

$$\lambda^2 \cos(\varphi_1 - \alpha) + 2\lambda \sin \alpha + \cos(\varphi_1 + \alpha) = 0 \quad (4)$$

Значением угла α задаемся, исходя из неравенств

$$\sin \alpha > \frac{1}{2} \cos \varphi_1 \quad \text{и} \quad \alpha > \frac{1}{2} \mu,$$

где μ — допускаемый угол передачи между звеньями MD и DF , соответствующий началу движения последнего (после его периодической остановки).

α — угол, образованный отрезком, соединяющим начальную или конечную точку участка приближения и точку D_0 с осью OY .

В уравнениях (1), (2), (3) обозначены:

d — ордината точки D_0 ,

r — радиус аппроксимирующей окружности.

Если принять, что $l = r$, а центр вращения ведомого звена (точка F') выбрать таким, чтобы траектория центра шарнира D проходила через центр аппроксимирующей окружности D_0 , то при движении точки M по участку приближения ведомое звено остается приблизительно неподвижным. Характер движения ведомого звена, то есть будет ли оно совершать полный оборот или качаться, зависит от положения его центра вращения.

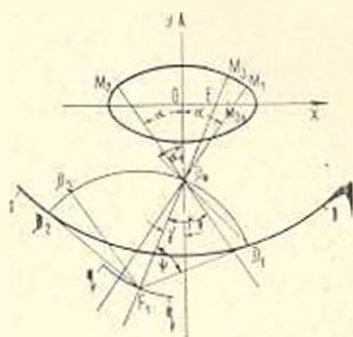
Пусть участок M_1M_2 траектории точки M мало отличается от дуги окружности радиуса r с центром D_0 (фиг. 2). Проводим эллипс $1-1$, эквидистантным* траектории точки M с эквидистантом, равным

* На фиг. 2 показана только часть этого эллипса.

радиусу r . Совершенно очевидно, что возможные положения шатуна MD находятся внутри кривой 1—1. Соединим точки M_1 и M_2 с точкой D_0 и продолжим их. В зависимости от выбранного положения центра вращения ведомого звена возможны следующие три случая расположения траектории центра шарнира D относительно кривой 1—1:

- траектория центра шарнира D находится внутри кривой 1—1,
- траектория центра шарнира D соприкасается с кривой 1—1,
- траектория центра шарнира D пересекает кривую 1—1.

В первых двух случаях ведомое звено является кривошипом [2, 4], а в третьем случае оно является только коромыслом. Поэтому в



Фиг. 2.

дальнейшем рассматриваем только такие положения точки F_1 , при которых траектория центра шарнира D пересекает кривую 1—1. Определим длину ведомого звена механизма из условия обеспечения заданного его угла размаха ψ . Пусть центр вращения этого звена находится в точке F_1 (в области, ограниченной прямыми M_1D_0 , M_2D_0 и ниже от точки D_0), и сателлитная точка M движется против часовой стрелки. Ведомое звено будет неподвижным только в том случае, если оно занимает положение F_1D_0 (в дальнейшем называемым исходным), а точка M движется по участку M_1M_2 (фиг. 2). Поскольку угол ψ_2 нам известен, то, как следует из фиг. 2, точка F_1 должна находиться на прямой, проведенной через точку D_0 под углом $\gamma = \psi_2 - \alpha$.

Как выше отмечали, траектория центра шарнира D не выходит за пределы кривой 1—1. Следовательно, точка пересечения указанных кривых является одним из крайних положений точки D , а другое крайнее положение совпадает с точкой D_0 . Через точку F_1 проведем прямую под углом ψ к прямой F_1D_1 . Точка D_1 , полученная на пересечении этой прямой с эллипсом 1—1, будет крайним [положением точки D , то есть положение F_1D_1 является вторым крайним положением ведомого звена. При этом $F_1D_0 = F_1D_1 = f$, так как F_1D_0 и F_1D_1 являются радиусами одной и той же окружности. Из равнобедренного треугольника $F_1D_0D_1$ (фиг. 2) найдем

$$f = \frac{D_0D_1}{2 \sin \frac{1}{2} \psi} \quad (5)$$

Величина

$$D_0D_1 = \sqrt{x_{D_1}^2 + (y_{D_1} - d)^2}$$

Координаты точки D_1 в выбранной системе координат определим совместным решением уравнения прямой, проходящей через точки

D_0 и D_1 (угловой коэффициент которой $\operatorname{ctg} \alpha_1 = \operatorname{tg} \left(\frac{1}{2} \psi + \gamma \right)$), с уравнением эллипса $1 - 1$, то есть

$$\begin{aligned} y_{D1} &= x_{D1} \operatorname{ctg} \alpha_1 - d \\ \frac{x_{D1}^2}{(1 - \lambda - l)^2} + \frac{y_{D1}^2}{(1 - \lambda + l)^2} &= 1 \end{aligned} \quad (6)$$

В результате решения системы (6) получаем

$$\left| \left(\frac{1 - \lambda + l}{1 - \lambda - l} \right)^2 - \operatorname{ctg}^2 \alpha_1 \right| x_{D1}^2 - 2d x_{D1} \operatorname{ctg} \alpha_1 - [(1 - \lambda + l)^2 - d^2] = 0$$

откуда

$$(x_{D1})_{1,2} = \frac{d(1 - \lambda + l) \operatorname{ctg} \alpha_1 \pm (1 - \lambda - l) \sqrt{(1 - \lambda + l)^2 \operatorname{ctg}^2 \alpha_1 + (1 - \lambda - l)^2 - d^2}}{(1 - \lambda - l)^2 - (1 - \lambda + l)^2 \operatorname{ctg}^2 \alpha_1}$$

Значения x_{D1} будут действительными, если

$$(1 - \lambda + l)^2 \operatorname{ctg}^2 \alpha_1 - (1 - \lambda - l)^2 > d^2 \quad (7)$$

Поскольку $1 - \lambda > 0$, а l всегда больше d , неравенство (7) обеспечивается при всех значениях λ . Определение координат точки D_1 упрощается, если участок эллипса $1 - 1$ (на котором находится точка D_1) заменить дугой окружности [2] с уравнением

$$x_{D1}^2 + (y_{D1} - d)^2 = 4l^2 \quad (8)$$

Подставляя значение y_{D1} из первого уравнения системы (6) в уравнение (8), находим

$$x_{D1}^2 - 2d x_{D1} \sin \left(\frac{1}{2} \psi + 2\gamma \right) + 4(d^2 - l^2) \cos^2 \left(\frac{1}{2} \psi + \gamma \right) = 0$$

откуда

$$(x_{D1})_{1,2} = 2 \sin \alpha_1 (d \cos \alpha_1 \pm \sqrt{l^2 - d^2 \sin^2 \alpha_1}) \quad (9)$$

Из дискриминанта выражения (8) видно, что все корни x_{D1} действительны, так как всегда $l > d$.

После определения величины f (по выражению 4), координаты центра вращения ведомого звена находим по формулам (фиг. 2)

$$x_{F1} = -f \sin \gamma, \quad y_{F1} = d - f \cos \gamma$$

Рассмотрим возможность регулирования угла размаха коромысла $D_1 F_1$ при неизменной величине угла выстоя.

Из вышесказанного следует, что величина угла размаха ведомого звена зависит как от положения центра вращения этого звена,

так и от положения точки D_1 . Изменим положение этих точек таким образом, чтобы длина звена F_1D оставалась неизменной. Для этого переместим точку F_1 по дуге окружности $q-q$ (фиг. 2) радиуса f , проведенной из точки D_0 . Совершенно очевидно, что при таком условии угол выстоя остается неизменным (сателлитная точка движется против часовой стрелки), а угол размаха изменяется, потому что точка D_1 принимает другие положения. Величину нового угла размаха легко определить из выражения (5), если известны новые координаты точки D_1 . Координаты точки D_1 находим совместным решением уравнений траектории центра шарнира D и эллипса $1-1$, то есть

$$\begin{aligned} (x_{F_1} - x_{D_1})^2 + (y_{F_1} - y_{D_1})^2 &= f^2 \\ \frac{x_{D_1}^2}{(1-l+D)^2} + \frac{y_{D_1}^2}{(1-l-D)^2} &= 1 \end{aligned} \quad (10)$$

Систему уравнений (10) можно привести к более простому виду, заменив второе уравнение в ней уравнением (8).

Исследуем теперь характер движения ведомого звена механизма (при прежнем положении его центра вращения), когда сателлитная точка M движется по часовой стрелке. Тогда началу движения ведомого коромысла (после его остановки) соответствует положение M_1D_0 шатуна MD . Проследим за последовательностью движения звена F_1D . Поскольку угол передачи $\alpha_1 D_0 F_1$ острый, то, как следует из фиг. 2, звено F_1D начинает вращаться против часовой стрелки и занимает второе крайнее положение F_1D_2 (точка D_2 получена на пересечении кривых траектории центра шарнира D и эллипса $1-1$), причем угол размаха отличается от угла φ . При дальнейшем движении точки M , звено F_1D начинает вращаться по часовой стрелке и когда точка M принимает положение M_2 (начало приближения), ведомое коромысло принимает положение F_1D_3 . Совершенно очевидно, что остановка звена F_1D в этом положении невозможна. Ведомое коромысло будет останавливаться, если оно принимает исходное положение F_1D_0 . Это произойдет тогда, когда точка M совпадет с положением M_3 , которое находится на пересечении прямой F_1D_0 с дугой M_1M_2 . Сказанное следует из того, что окружность центра шарнира D и окружность радиуса l , проведенная из точки M_1 , имеют общую нормаль в точке их соприкосновения D_0 . Следовательно, остановка ведомого коромысла происходит при движении точки M участка M_2M_3 эллипса. Обозначим через φ_2 угол, образуемый ведущим кривошипом OA с осью OX в момент совпадения сателлитной точки M с точкой M_3 . В положении M_1 сателлитной точки M кривошип OA образует угол φ_1 с осью OX [2], величину которого определим из выражения (3). Тогда угол выстоя коромысла F_1D

$$\Phi_m = |\varphi_2 - \varphi_1|$$

Из прямоугольного треугольника EM_3M_{32} (фиг. 2) определим

$$\operatorname{ctg} \gamma = \frac{y_{M3}}{x_{M3} - d \operatorname{tg} \varphi} \quad (11)$$

где x_{M3} , y_{M3} — координаты точки M_3 .

Поскольку [2] $x_{M3} = (1 + i) \cos \varphi_0$; $y_{M3} = (1 - i) \sin \varphi_0$, с учетом уравнения (1) выражение (10) принимает вид

$$\operatorname{ctg} \gamma = \frac{(1 - i^2) \sin \varphi_0}{(1 - i^2) \cos \varphi_0 - 2i(1 + \sin \varphi_0) \operatorname{tg} \varphi}$$

откуда

$$(\operatorname{tg} \varphi_0)_2 = \frac{(1 + i^2) \cos \gamma \pm 2i}{(1 - i^2) \sin \gamma}$$

Ясно, что с увеличением длины дуги M_3M_1 увеличится время выстоя коромысла F_1D , что можно достичь изменением положения центра вращения коромысла. Совершенно очевидно, что при этом, как и в предыдущем случае, изменяется угол размаха коромысла. В случае необходимости оставить угол φ неизменным надо сделать переменной также длину коромысла.

Таким образом, в зависимости от направления вращения ведущего звена механизма изменяется характер движения ведомого коромысла. Если центр вращения ведомого коромысла выбрать вне области, ограниченной прямыми M_1D_0 , M_2D_0 , ниже от точки D_0 , то изменение направления вращения ведущего кривошипа не влияет на характер движения коромысла.

Поскольку участок эллипса приближенно заменяется дугой окружности, то в период останки ведомое звено отклоняется от положения выстоя. Величины этих отклонений определим по методу, изложенному в работе [5].

Пример: Определить параметры пятизвенного зубчато-рычажного механизма, если угол выстоя $\Phi = 100^\circ$, угол размаха $\varphi = 90^\circ$, допустимый угол передачи $\mu = 60^\circ$.

По формулам (4), (1), (2) находим

$$i = 0.2085, \quad d = 0.8506, \quad l = 1.6460$$

в

$$f = 1.1342, \quad x_{F1} = -0.47897, \quad y_{F1} = -1.02804$$

Величина максимального отклонения ведомого коромысла в период выстоя $\approx 12'$.

В ы в о д ы

- В силу вышеизложенного можно сделать следующие выводы:
1. На основе одного и того же базисного механизма можно получить пятизвенные зубчато-рычажные механизмы, удовлетворяющие другим заданным условиям.
 2. Перемещением центра вращения ведомого звена механизма по дуге окружности достигается регулировка как времени остановки ведомого звена, так и его угла размаха.
 3. Изменение направления вращения ведущего кривошипа влияет на характер движения ведомого звена, причем это зависит от того, где выбран центр вращения ведомого звена.

Одесский технологический институт
пищевой промышленности
им. М. В. Ломоносова

Поступила 24 XI 1970

Թ. Վ. ԱՄԲԱՐՇՈՒՄՅԱՆՑ

ՏՐՐԻՍԿ ՃՈՃՈՂԱԿԻ ԿԱՆԳՈՒԹՈՒ ԸՆԳՈՂԱԿ ԱՏՈՒՐՆԱ-ԼՈՍԱԼՅԻՆ ՄԵՆԱԿՆԵՉՄԻ ՍԵՆՅԵՉԸ

Ս. մ թ ը թ ը թ ը

Հոդվածում դիտարկվում է տարրիկ ճոճողակի կանգառով հնգոյակ ատամնալծակային մեխանիզմի սինթեզը: Սեխանիզմի անհայտ պարամետրերը (բացի տարրիկ ճոճողակի երկարությունից) որոշվում են սատելիտային կորի տրված մասի լայնություն մոտեցումով շրջանազմային աղեղին: Տարրիկ ճոճողակի երկարությունը որոշվում է նրա հսկման անկյան ապահովման պայմանից: Ճոճողակի կանգնման անկյան մեծությունը, ինչպես նաև նրա հսկման անկյունը կարգավորվում է շրջանազմի աղեղով տարրիկ ճոճողակի պտտման կենտրոնի տեղափոխմամբ:

SYNTHESIS OF A GEARED FIVE-BAR MACHANISM WITH INTERMITENT MOTION OF OUTPUT ROCKER

R. V. AMBARTSUMIANTS

S u m m a r y

The synthesis is presented for the geared five-bar mechanism with intermittent motion of the output rocker. The unknown parameters of the mechanism (except the length of the output rocker) are found by the method of best approximation of the given satellite curve section to the circumference arc. The length of the output rocker is determined from the condition to guarantee its angle oscillation. The value

of the stop angle as well as the output rocker oscillation angle are regulated by displacement of the output rocker revolution centre along the circumference are.

Л И Т Е Р А Т У Р А

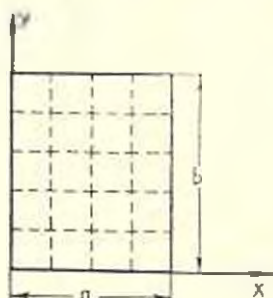
1. Левитский Н. И. Синтез механизмов по Чебышеву. Изд. АН СССР, 1946.
2. Амбарцумян Р. В. Синтез шестизвенного рычажного механизма периодического поворота с регулируемой величиной угла выстоя. Изв. АН Арм.ССР, Механика, т. 23, № 4, 1970.
3. Амбарцумян Р. В. Синтез пятизвенного зубчато-рычажного механизма с периодической остановкой ведомого кривошипа. Изв. АН Арм.ССР, Механика, т. 23, № 3, 1970.
4. Амбарцумян Р. В. Синтез пятизвенного зубчато-рычажного механизма периодического поворота с регулированием величины угла выстоя. Тезисы доклада „Расчет, конструирование и исследование оборудования производства источников тока“. Изд. Энергия, М., 1970.
5. Зинovieв В. А. Курс по теории механизмов и машин. Физматгиз, 1960.

Ю. М. ПОЧТМАН

ПРОЕКТИРОВАНИЕ РЕБРИСТЫХ ПЛАСТИН
 МИНИМАЛЬНОГО ВЕСА, ИМЕЮЩИХ ЗАДАННЫЕ
 СОБСТВЕННЫЕ ЧАСТОТЫ

При проектировании упругих пространственных систем в авиа- и судостроении и строительстве часто ставится требование, чтобы частоты собственных колебаний конструкций не были ниже некоторого предельно допустимого значения (например, с целью предотвращения резонанса, флаттера и т. д.) и, одновременно, полная масса (или нес) конструкции была бы минимальной. Такая постановка задачи применительно к одномерным конструкциям обсуждалась в работе [1]. В данной работе проблема выбора оптимальных параметров для некоторых континуальных систем (пластин, усиленных ребрами жесткости) при колебаниях рассматривается, насколько нам известно, впервые и в самой общей постановке, как задача математического программирования [2]. В качестве аппарата для исследования с помощью ЭЦВМ применяется один из современных методов оптимизации — метод случайного поиска [3], который постепенно находит свое применение в задачах механики деформируемых тел [4, 5, 6].

1. Рассмотрим прямоугольную пластину (фиг. 1), подкрепленную перекрестными ребрами и свободно опертую по контуру. Известны размеры пластины в плане, характеристики материала пластины: модуль упругости E , коэффициент Пуассона ν , плотность на единицу поверхности ρ . Нужно найти такие размеры поперечных сечений ребер h_{r_1} , h_{r_2} , h_{c_1} и h_{c_2} (параллельных соответственно координатным осям x и y), количество их r и p , а также толщину плиты h , чтобы основная частота собственных колебаний ω не превышала заданного значения ω_* , а полная масса пластины G достигала минимума. Описанная



Фиг. 1.

проблема математически сводится к нахождению минимума функции массы всей плиты

$$G_{\min} = \rho (abh + r^2 h_{r_1} a + p^2 h_{r_2} b) \tag{1}$$

при условиях:

$$\frac{B_1 z^4}{\omega^2 b^2 q_2} \frac{1 + \frac{r+1}{p+1} \mu^2 \frac{B}{B_1} + \frac{aD}{B(p+1)} (\mu^2 + 1)^2}{1 + \frac{r+1}{p+1} \frac{q}{q_1} \frac{G_{пл.}}{(p+1)q_1}} \geq 1 \quad (2)$$

$$z_2^{\min} \leq b_2 \leq z_2^{\max}, \quad z_y^{\min} \leq z_y \leq z_y^{\max}, \quad h_{p_x}^{\min} \leq h_{p_x} \leq h_{p_x}^{\max} \quad (3)$$

$$h_{p_y}^{\min} \leq h_{p_y} \leq h_{p_y}^{\max}, \quad h^{\min} \leq h \leq h^{\max} \quad (4)$$

r и p — целые числа,

где D — цилиндрическая жесткость плиты; $B = \frac{Eh_{p_x}^3 z_2}{12}$ и $B_1 =$

$\frac{Eh_{p_y}^3 z_y}{12}$ — жесткости ребер, параллельных осям x и y соответственно; $q = \rho a h_{p_x} z_2$, $q_1 = \rho b h_{p_y} z_y$ — массы этих ребер; $G_{пл.} = \rho a b h$ — масса плиты; $\mu = \frac{b}{a}$ и $\nu = \left(\frac{\omega}{\omega_x}\right)^2$. Условие (2) — ограничение по частоте

основного тона собственных колебаний [7], условие (3) ограничивает габариты плиты и ребер, а условие (4) — требование целочисленности.

Задача (1)–(4) выбора оптимальных параметров ребристой пластины может быть поставлена как задача частично целочисленного нелинейного программирования, которая, как известно, в общем виде состоит в отыскании вектора и n -мерном евклидовом пространстве

$$X = (x_1, x_2, \dots, x_n) \in R \quad (5)$$

минимизирующей некоторую функцию:

$$\Phi = \Phi(x_1, x_2, \dots, x_n) \quad (6)$$

и удовлетворяющей ограничениям

$$g_k(X) \geq, =, < b_k \quad (k = 1, 2, \dots, m) \quad (7)$$

$$x_1 \geq 0; x_2 \geq 0; \dots; x_n \geq 0; x_i — \text{целые числа, } i \in R_1$$

где R — допустимое множество, а множество R_1 содержит не все i . Нелинейные функции $g_k(X)$ известны, b_k — заданные постоянные величины, а m и n между собой не связаны.

Используя обозначения: $h = x_1$, $h_{p_x} = x_2$, $h_{p_y} = x_3$, $z_2 = x_4$, $z_y = x_5$, $r = x_6$, $p = x_7$, $\frac{Ez^4}{12 b^2 \omega^2} = A$, $\frac{a(p^2 + 1)^2}{1 - \nu^2} = C$ и подставляя их в (1)–(4), получаем задачу, аналогичную задаче (5)–(7) нелинейного программирования (для $n = 7$): найти неотрицательные значения переменных $x_1, x_2, x_3, x_4, x_5, x_6$ и x_7 , которые минимизируют функцию

$$G_{\min} = \rho (a b x_1 + a x_2 x_4 x_6 + b x_3 x_5 x_7) \quad (8)$$

и удовлетворяют наложенным ограничениям:

$$Ax_3^2 \frac{1 + \mu^3 \frac{x_6 + 1}{x_7 + 1} \frac{x_2^2 x_4}{x_3^2 x_5} + C \frac{x_1^3}{x_3^2 x_5 (x_7 + 1)}}{1 + \frac{a}{b} \frac{x_6 + 1}{x_7 + 1} \frac{x_2 x_4}{x_3 x_5} + a \frac{x_1}{x_3 x_5 (x_7 + 1)}} > i,$$

$$a_x^{\min} \leq x_4 \leq a_x^{\max}, \quad a_y^{\min} \leq x_5 \leq a_y^{\max}, \quad h_{p_x}^{\min} \leq x_2 \leq h_{p_x}^{\max} \quad (9)$$

$$h_{p_x}^{\min} \leq x_3 \leq h_{p_x}^{\max}, \quad h^{\min} \leq x_1 \leq h^{\max}, \quad x_6 \text{ и } x_7 - \text{целые числа.}$$

2. Задачи математического программирования подобного типа, с нелинейными ограничениями, могут быть успешно решены только одновременными методами оптимизации, с использованием ЭЦВМ. Будем применять один из наиболее эффективных методов случайного поиска — пропорциональный алгоритм покоординатного самообучения с забыванием [3]. Реализация на ЭЦВМ этого алгоритма начинается с обстраивания равномерного поиска. Из некоторой точки $X_i \in R$ в пространстве параметров делается шаг в случайном направлении. В том случае, если в новом состоянии $\Phi(X_{i+1}) < \Phi(X_i)$, то следующий случайный шаг производится из состояния X_{i+1} ; в противном случае следующий случайный шаг система поиска делает из первоначального состояния. Координаты вектора X меняются так:

$$x_{i+1} = x_j - \Delta x_{i+1}$$

$$\Delta x_{i+1} = c \bar{\xi}_i \quad (10)$$

$$x_i = x_j, \quad \text{если } \Phi(x_j) < \Phi_j^*$$

где c — длина рабочего шага по параметру; $\bar{\xi}$ — реализация случайного вектора; x_j — оптимальное значение параметров за j предыдущих шагов; Φ_j^* — минимальное значение целевой функции за j предыдущих шагов.

В процессе поиска его вероятностные характеристики перестраиваются, то есть на вектор $\bar{\xi}$ оказывается целенаправленное воздействие. Вектор $\bar{\xi}$ уже перестает быть равновероятным и в результате самообучения приобретает определенное преимущество в направлении наилучшего шага. Составляющая вектора $\bar{\xi}$ определяется из соотношения

$$\bar{\xi}_i = z_i + (\beta_i - z_i) x_{i-1} \quad (11)$$

где z_i — случайное число, равномерно распределенное на отрезке $[z_i, \beta_i]$; x_{i-1} — псевдослучайное число, равномерно распределенное на отрезке $[0, 1]$. Пусть вероятность выбора положительного шага вдоль i -ой переменной p_i является линейной функцией некоторого параметра w_i^N , который назовем параметром памяти по i -й координате на N -ом шаге поиска:

$$p_i^{(N)} = 0.5 (w_i^{(N)} + 1) \quad (12)$$

тогда

$$\alpha = \begin{cases} -1 & , \text{ если } p_i < 0.5 \\ -1 + (p_i - 0.5) \cdot 2, & \text{ если } p_i < 0.5 \end{cases} \quad (13)$$

$$\beta = \begin{cases} 1 & , \text{ если } p_i \geq 0.5 \\ 1 - (p_i - 0.5) \cdot 2, & \text{ если } p_i < 0.5 \end{cases}$$

Алгоритм обучения с забыванием можно представить в виде следующей рекуррентной зависимости [3]:

$$w_i^{(N+1)} = K w_i^{(N)} - \psi \Delta x_i^{(N)} \Delta \Phi_N; \quad (|w_i^{(N)}| < 1) \quad (14)$$

где $\psi > 0$ — величина, определяющая скорость обучения; $0 < K \leq 1$ — параметр забывания. Смысл выражения (14) состоит в следующем: увеличение вектора памяти $w_i^{(N+1)}$ возможно при положительной величине $\Delta x_i^{(N)}$ (успех поиска определяется отрицательным значением приращения $\Delta \Phi_N$). В свою очередь, увеличение $w_i^{(N)}$ приводит к увеличению вероятности удачного шага ($p_i > 0.5$), а значит и вероятности того, что приращение по координате $\Delta x_i^{(N)}$ будет положительным. При значениях $\psi \gg 0$ в начале поиска вектор памяти будет приобретать значение, равное 1 (в течение нескольких первых шагов), затем поиск детерминируется и в течение нескольких шагов спуск к цели осуществляется с максимальной вероятностью. В районе цели или возле ограничения система самонастраивается: шаг поиска и величины $\Delta \Phi_N$ и $\Delta x_i^{(N)}$ уменьшаются, а влияние второго члена в (14) становится незначительным. Это приводит к тому, что система „теряет опыт“, вектор памяти начинает уменьшаться до нуля, то есть до равновероятного состояния. Уменьшение вероятности сделать положительный шаг в том же направлении, что и раньше, позволяет системе перестроить направление поиска на лучшее. Вдоль этого лучшего направления система вновь начинает обучаться до тех пор, пока позволяет значение вектора памяти. Учет целочисленности части переменных в (9) при использовании описанного алгоритма состоит в том, что округление целочисленной компоненты вектора X_i осуществляется в момент, предшествующий собственно решению задачи, до проверки принадлежности точки X_i области допустимых решений. В дальнейшем поиск выполняется с учетом целочисленности переменных.

3. В качестве иллюстрации рассмотрим определение оптимальных размеров пластины по фиг. 1, для различных значений параметра i при следующих данных: $E = 2.1 \cdot 10^4 \text{ кг/м}^2$; $\nu = 0.167$; $\rho = 244.0 \text{ кг/сек}^2 \cdot \text{м}^3$; $\omega_1 = 186.0 \text{ 1/сек}$; $a = 5.0 \text{ м}$; $b = 9.0 \text{ м}$. Ограничения на варьируемые параметры принимались следующими (в м): $0.05 \leq h \leq 0.1$; $0.1 \leq h_{01} \leq 0.5$; $0.1 \leq h_{02} \leq 0.5$; $0.05 \leq r_1 \leq 0.25$; $0.05 \leq r_2 \leq 0.25$, а $1.0 \leq r \leq 10.0$

DESIGN OF MINIMUM WEIGHT RIB PLATES WITH SPECIFIED NATURAL FREQUENCIES

Yu. M. POCHTMAN

S u m m a r y

The optimal design of elastic plates, crossed with rigidity ribs at vibration is considered. The problem is formulated in terms of partly whole numbers of nonlinear programming, where the minimum weight of plates is the purpose function, and the restrictions are the condition, at which the basic frequency of natural vibration of plates will not exceed a certain quantity, as well as geometrical restrictions on sizes. The random search, as the mathematical medium for investigation by means of a digital computer is used. The numerical examples are given.

Л И Т Е Р А Т У Р А

1. Turner M. J. Design of Minimum Mass Structures with Specified Natural Frequencies. AIAA Journal, vol. 5 № 3, 1967
2. Корбут А. А., Финкельштейн Ю. Ю. Дискретное программирование. Изд. Наука, 1968.
3. Растринин А. А. Статистические методы поиска. Изд. Наука, 1968.
4. Шрайнт М. Я. Применение метода случайного поиска к задачам оптимального проектирования. Строительная механика и расчет сооружений. № 1, 1970.
5. Почтман Ю. М., Филатов Г. В. Исследование деформаций гибких стержней методом статистических испытаний. Строительная механика и расчет сооружений. № 5, 1970.
6. Почтман Ю. М., Филатов Г. В. Розрахунок циліндричних оболонок мінімальної ваги методом випадкового пошуку з самонавчанням. Докл. АН УРСР, сер. А. № 12, 1970.
7. Филиппов А. П. Колебания деформируемых систем. Изд. Машиностроение, 1970.